

بسم الله الرحمن الرحيم

الله عاصي

الميكانيكا النظرية كما نعلم هي العلم الذي يدرس ابسط الأشكال الميكانيكية للحركة والتفاعلات بين الأجسام المادية وهي لم تأخذ في الحسبان كثير من الخواص الحقيقة و تستعمل مفهوم النقطة المادية ومجموعة النقط المادية كفرض تجريبية .

والمجموعة المادية من الممكن أن تكون غير متصلة وهي المكونة من نقط مادية منفصلة أو تكون متصلة مكونة من أشياء موزعة توزيعاً متصلًا بمعنى أن الوسط المتصل هو ذلك الوسط الذي فيه توزيع دوال الكثافة والكتلة وجميع الخواص الطبيعية للوسط تكون دوالاً متصلة كلها وتسمى الميكانيكا النظرية في هذه الحالة بميكانيكا الوسط المتصل وهي العلم الذي يدرس حركة الأجسام الصلبة والتي تملأ الفراغ بصورة متصلة بدون انقطاع والمسافات بين النقط أثناء الحركة سوف تتغير .

ومن ابسط الأمثلة على الوسط المتصل هو الوسط الغير متغير أو الجسم المتماسك وكمثال أكثر عمومية للوسط المتصل في الميكانيكا هي الأجسام القابلة للتشكل (اللدنة أو المرنة) وكذلك الأجسام المائعة والغازية . فرع الميكانيكا النظرية الذي يدرس حركة مثل هذه الصور من الأوساط المتصلة يسمى بميكانيكا الأوساط المتصلة (Continuum Mechanics).

وميكانيكا الموائع (Fluid Mechanics) وهو تخصص فرعي من ميكانيكا الأوساط المتصلة هو العلم الذي يدرس ميكانيكا السوائل والغازات أو بمعنى آخر هو العلم الذي يدرس الموائع في الحركة والسكون ويعتمد أساساً على نفس المبادئ المستخدمة في ميكانيكا المواد الصلبة وهذا

التعبير في الفترة الأخيرة أصبح أكثر شيوعا ثم بدل بالتعبير المستعمل " هيدروديناميكا " شاملا كلًا من ميكانيكا الماء و ميكانيكا الغازات وبالخصوص الهواء وكلمة هيدروديناميكا مشتقة من الكلمة Hydro اليونانية التي تعني الماء . و يدرس هذا التخصص السلوك الفيزيائي الخاص بالماء مثل السرعة والضغط والكثافة و درجة الحرارة والتزوجة ومعدل التدفق الخ. .

والتطور الكبير الذي حدث في مجال الطيران ولد شغفًا كبيرًا بمسائل التأثير المتبادل بين الهواء والأجسام المتحركة فيه (وهي نظرية المراوح والأجنحة).

و حركة الأجسام في الهواء في وجود هذا التأثير المتبادل وهو علم ديناميكا الطيران وهذا ظهر علم الأيروميكانيكا Aeromechanics .

و التعمق في دراسة حركة الماء القابلة للانضغاط (الغازات) اوجد في حيز الوجود علم ديناميكا الغازات و بتطبيق نتائج هذا الفرع الجديد على علم الطيران والصواريخ وضع أساس لعلم جديد هو الأيروشيرموديناميكا Aerothermodynamics والذي من خلاله الآن تفهم الميكانيكا والميكانيكا الحرارية للغازات التي تسير بسرعات فوق صوتية (كبيرة) وهيرصوتية (الفضائية) .

و قد ظهرت تطبيقات حسابية حديثة لإيجاد حلول للمشاكل المتعلقة بميكانيكا الماء و يسمى التخصص المعنى بذلك بديناميكا الماء الحسابية Computational Fluid Dynamics .

إن أهمية ميكانيكا الماء تتضح تماما عندما نفكر في الدور الذي تلعبه في حياتنا اليومية . ففي مجال التكييف والتبريد هناك الماء المنتج الذي يضخ خلال المواسير . والهواء البارد الذي يدفع بواسطة المراوح خلال مجاري الهواء لتكييف المنازل والكهرباء التي نستخدمها وطرق توليدها من المساقط المائية التي تدفع الماء خلال التوربينات والتي تولد الطاقة الكهربائية . أو من الطاقة الحرارية من البخار الذي يدفع خلال التوربينات البخارية لتوليد الطاقة الكهربائية وسياراتنا التي

نقودها الإطارات الهوائية تعطي التعليق ، الوقود يضخ عبر أنابيب ... بل أن حياتنا اليومية تعتمد على المواقع . فسريان الدم في أورادتنا وشرائيننا هو عملية ميكانيكا المواقع .

وهكذا نرى الأهمية الكبرى والخاصة بدراسة علم ميكانيكا المواقع
والله الموفق،،،،

د/ رمضان عبد الله محمد

الباب الأول

كينماتيكا المائع

Kinematics of Fluid

مقدمة :

يعتبر علم الهيدروديناميكا من العلوم النظرية ومن العلوم التطبيقية معاً ويختص هذا العلم بدراسة حركة المائع . وفي دراسة الهيدروديناميكا لابد من توضيح الخواص التي تلعب دوراً مهماً والخواص الأقل أهمية والخواص التي لا تؤثر على الإطلاق على الحركة وهذا ضروري للحصول على أبسط الحلول للمشاكل التطبيقية .

ومن المعروف أن جميع المواد تحمل تشوهات **Deformations** تحت تأثير القوي وهذا التشويه يسمى من **Elastic** إذا اختفي بعد إزالة تأثير القوي ويسمى صلب **Plastic** إذا احتفظ بنفسه بعد إزاحة القوي ويسمى انسياب **Flow** إذا استمر التشويه يزداد بدون حد تحت تأثير القوي مهماً كانت صغيرة . وتعرف المائع بأنها مواد قادرة على الانسياب وعلى التشكيل بشكل الأوعية المحتوية لها ولا تظل المائع سائبة إذا أثرت عليها قوي مماسية ولجميع المائع قابلية ولو ضئيلة للانضغاط ولكنها جميعها لا تقاوم أي تغيير في الشكل .

وتنقسم المائع إلى غازات وسوائل و المائع قد تكون مؤينة أو غير مؤينة والسوائل عملياً غير قابلة للانضغاط أما الغازات فهي قابلة للانضغاط وإن كانت في بعض الأحيان يمكن اعتبارها في

السرعات الصغيرة غير قابلة للانضغاط وتمدد أي كتلة غازية لتتماًكفة أجزاء الوعاء المحتوي لها.

(٢) مجالات الدراسة في ديناميكا المواقع :-

توجد أعداد هائلة من المشاكل يهتم بها العاملون في مجال ديناميكا المواقع في الوقت الحاضر وفيما يلي بعض هذه المشاكل :

- ١- تحديد الشغل الأمثل لأجسام الطائرات فائقة السرعة والسفن بكافة أنواعها وإشكالها والصواريخ والقذائف والغواصات .
- ٢- مسائل تحديد الشكل الأمثل لمكونات المحركات النفاثة والتوربينات .
- ٣- التصميم الأمثل لخطوط نقل الماء والبترول وغيرها من المواد السائلة وكذلك أيضا نقل الحبوب والأربطة ومساحيق المواد الصلبة الداخلة في الصناعة في مواسير باستخدام الشفط .
- ٤- خصائص الحركة المعتمدة على الزمن للغازات المصحوبة بتفاعلات كيميائية كذلك التي تحدث عند الاحتراق في الهواء أو داخل المحركات والآلات .
- ٥- الانفجارات وما تصاحبها من تغير في خواص الوسط الذي يحدث فيه الانفجار سواء كان الانفجار عاديا أو نوريا .
- ٦- خصائص الحركة الموجية في الأنهر والبحار وكيف يمكن الاستفادة من طاقة أمواج البحار .
- ٧- خصائص حركة المواقع في الأوساط المسامية وكيفية الاستفادة منها عند تصميم السدود أو البحث عن البترول أو المياه الجوفية .

- ٨- خصائص حركة الهواء في الغلاف الجوي وكيف يمكن استخدامها في إجراء التنبؤات الجوية لمدة قصيرة وطويلة بأكبر قدر ممكن من الدقة .
- ٩- تفسيرات أدق للكثير من الظواهر الكونية مثل تكوين الضباب والسحب الكونية وانفجار واحتراق النجوم وتركيب وتطور الكون .
- ١٠- تحديد الوسائل التي يمكن التحكم بها في الأعاصير وتغيير اتجاه الريح .
- ١١- مشاكل حصر البلازما والتي قد تصل درجة حرارتها إلى عدة ملايين .
- ١٢- مشاكل التحكم في التفاعلات النووية وطريقة الانتفاع من الطاقة النووية .
- ويهتم الباحثون في مجال ديناميكا المواقع بدراسة المشاكل السابقة دراسة نظرية في حدود التطبيق العملي .

(٣) المدخل المختلفة لوصف المواقع :

يوجد مدخلان أساسيان للنظر إلى حركة المواقع وهما :

- ١- اعتبار المواقع أوساطاً متصلة وفيها تهمل الفراغات بين جزيئات المائع ويسمى هذا الفرض بفرض الاتصال وتسمى الميكانيكا في هذه الحالة بـميكانيكا الأوساط المتصلة .
 - ٢- اعتبار المواقع مكونة من جسيمات منفصلة تتحرك حركة انتقالية و دورانية وتذبذبية في الفراغات بين جزيئات المائع ويسمى هذا المدخل بالمدخل الإحصائي .
- ومن الناحية العملية وجد أن المدخل الإحصائي يكون فقط في حالة الأوساط المخلدة بينما يكون من المناسب استخدام ميكانيكا الأوساط المتصلة لوصف الحركة في الحالات الأخرى وذلك لشدة تعقيد المدخل الإحصائي . وسوف نعتبر الفصول القادمة حركة المواقع كأوساط متصلة .

(٤) تعاريف :**١- جسيم المائع : Fluid Particle**

يعرف الجسيم في مائع بأنه ذلك العنصر الحجمي الصغير جداً إذا ما قورن بحجم المائع المتحرك والكبير نسبياً إذا ما قورن بحجم الجزيء ويشغل نقطة في الفراغ.

٢- الكثافة عند نقطة ما في المائع : Density

لإيجاد كثافة مائع عند نقطة ما مثل A . نعتبر عنصراً صغيراً جداً من المائع يحيط بالنقطة A ولتكن حجم هذا العنصر $\Delta\tau$ وكتلته Δm في لحظة ما. تسمى النسبة $\frac{\Delta m}{\Delta\tau}$ بالكثافة المتوسطة (أو متوسط الكثافة) عند A في هذه اللحظة. أما النهاية فتسمى الكثافة عند A ونرمز لها بالرمز ρ . ونلاحظ أن الكثافة ρ دالة في إحداثيات النقطة A وفي الزمن كذلك فإذا كانت إحداثيات A هي النقطة (x, y, z) بالنسبة لمحاور ثابتة في الفراغ ، t الزمن فان :

$$\lim_{\Delta\tau \rightarrow 0} \frac{\Delta m}{\Delta\tau} = \rho(x, y, z, t)$$

٣- المائع الغير قابل للانضغاط : Incompressible Fluid

في حالة المائع الغير قابل للانضغاط يكون ثابتة عند جميع نقط المائع ولا تتغير بمرور الزمن .

$$\frac{d\rho}{dt} = 0$$

أي أن الكثافة عندئذ تكون ثابتة عند جميع

٤- المائع المثالى : Ideal Fluid

يعرف المائع المثالى بأنه مائع غير لزج أي لا يوجد بين جزيئاته قوى مماسية Shearing Forces مهما كانت صغيرة أو بعبارة آخرى فان بين جزيئاته سواء أثناء الاتزان أو أثناء الحركة لا توجد سوى قوى الضغط العمودي .

أما المائع اللزج Viscous Fluid فهو المائع الذي أثناء حركته فان جزيئاته تؤثر على بعضها البعض ليس فقط بقوى الضغط العمودي بل أيضا بقوى مماسية والتي تسمى بالاحتكاك الداخلى .

٥- القوى الحجمية والقوى السطحية : Volume and Surface Forces

تؤثر على جسيم المائع نوعان مختلفان من القوى :

- ١- قوي تؤثر في نقطة مثل الوزن وتسمى قوي حجمية أو جسمية .
- ٢- قوي تؤثر على السطح لأى عنصر من المائع وتسمى قوي سطحية وتمثل القوى التي تؤثر بها باقى المائع على سطح الجسم الذى ندرسه ، هذه القوة تكون عمودية على سطح العنصر في

حالة سكون المائع بينما تكون لها مركبتان إحداهما عمودية على السطح والثانية مماسية تظهر فقط حينما يكون المائع متحركا.

٦- الضغط عند نقطة ما في المائع : Pressure

لإيجاد ضغط مائع عند نقطة ما A . نفرض أن ΔS هو عنصر مساحة يحيط بالنقطة A ولنفرض أن محصلة القوى المؤثرة عليه هي Δf نتيجة تأثير بقية المائع أو الوسط الخارجي.

تسمى النسبة $\lim_{\Delta S \rightarrow 0} \frac{\Delta f}{\Delta S}$ بالضغط المتوسط عند النقطة A أما النهاية إذا وجدت فتسمى بالضغط عند A ويرمز لها بالرمز f ويلاحظ أن f دالة في إحداثيات A وفي الزمن أي أن :

$$f = f(x, y, z, t)$$

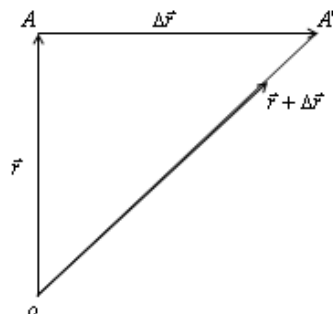
وفي حالة المائع المثالي يكون الضغط عموديا على المساحة ΔS . فإذا كان \vec{n} متجه وحدة عمودي على السطح والي الخارج فان :

$$\vec{f} = -P\vec{n}$$

وذلك في حالة المائع المثالي فقط.

٧- متجه السرعة لجسم المائع :

بفرض أن في اللحظة t كان أحد الجسيمات في الموضع A حيث \vec{r} ، نقطة ثابتة في الفراغ وليس في المائع وفي اللحظة $t + \Delta t$ أصبح الجسم عند A' حيث $\vec{oA}' = \vec{r} + \Delta\vec{r}$ تعرف سرعة المائع عند A في اللحظة t والتي سوف نرمز لها بالرمز \vec{q} كالتالي :



$$\vec{q} = \lim_{\Delta t \rightarrow 0} \frac{\Delta\vec{r}}{\Delta t}$$

ومن الواضح أن متجه السرعة \vec{q} دالة في متجه الموضع \vec{r} والزمن t أي أن :

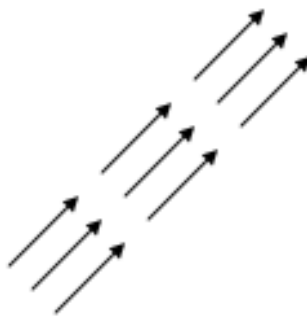
$$\vec{q} = q(r, t) = q(x, y, z, t)$$

حيث x, y, z إحداثيات النقطة A بالنسبة لمحاور ثابتة في الفراغ . إذا كانت (u, v, w) هي مركبات السرعة في اتجاه المحاور الكرتيزية فان :

$$\begin{aligned}\vec{q} &= u\vec{i} + v\vec{j} + w\vec{k} \\ \vec{r} &= x\vec{i} + y\vec{j} + z\vec{k} \\ \vec{q} &= \frac{dx}{dt}\vec{i} + \frac{dy}{dt}\vec{j} + \frac{dz}{dt}\vec{k}\end{aligned}$$

ومن ثم يكون

$$u = \frac{dx}{dt} \vec{i} \quad , \quad v = \frac{dy}{dt} \vec{j} \quad , \quad w = \frac{dz}{dt} \vec{k}$$



وإذا أخذ متجه السرعة q قيمة ثابتة عند كل نقطة من نقط المائع قيل أن المتجه q يعرف مجالا يسمى مجال السرعة . وللحصول على معنى طبيعي لمجال السرعة الاتجاهي نتصور وجود دقائق صغيرة من مادة مضيئة تتحرك في المائع وبأخذ صور فوتografية للمائع خلال فترة زمنية قصيرة فنجد أن مسار النقطة مضيئة خلال فترة التصوير و للمواطن الحقيقية نجد أن هذه المسارات الصغيرة هي أجزاء لخطوط منتظمة وتسمى الحركة عند حركة خطية انسيابية Streamline Motion أما إذا كانت المسارات الصغيرة موزعة توزيعا غير منظم فان حركة المائع توصف في هذه الحالة بأنها حركة اضطرابية Turbulent .

٨- الحركة اللازمنية : Steady Motion

في الحالة العامة لحركة مائع فان كلا من مركبات السرعة والضغط والكثافة للمائع القابل للانضغاط تكون دوالا في الموضع وفي الزمن أي أن :

$$\begin{aligned} u &= f_1(x, y, z, t), v = f_2(x, y, z, t) \\ w &= f_3(x, y, z, t), \rho = f_4(x, y, z, t) \\ P &= f_5(x, y, z, t) \end{aligned}$$

أي انه لنقطة ثابتة في الفراغ إحداثياتها (x, y, z) فان مركبات السرعة والكثافة والضغط تكون دوالا في الزمن أي إنها تتغير مع مرور الزمن مثل هذه الحركة تسمى بالحركة الزمنية Unsteady motion أما إذا كانت مركبات السرعة والضغط والكثافة لا تتغير عند نقطة ما مع مرور الزمن فان هذه الحركة تسمى بالحركة اللازمنية Steady motion وعندئذ يكون :

$$\begin{aligned} u &= f_1(x, y, z), v = f_2(x, y, z) \\ w &= f_3(x, y, z), \rho = f_4(x, y, z) \\ P &= f_5(x, y, z) \end{aligned}$$

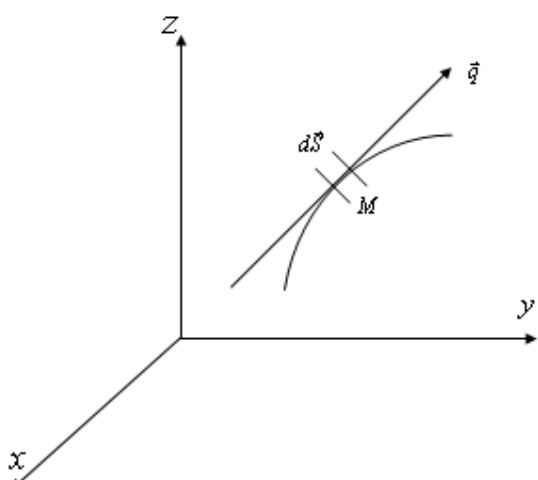
أي انه في حالة الحركة اللازمنية يكون :

$$\frac{\partial u}{\partial t} = \frac{\partial v}{\partial t} = \frac{\partial w}{\partial t} = \frac{\partial \rho}{\partial t} = \frac{\partial P}{\partial t} = 0$$

٩- الخطوط الانسيابية : Streamlines

يعرف الخط الانسيابي بأنه منحني مرسوم في المائع بحيث أن المماس له عند أي نقطة عليه ينطبق على اتجاه حركة المائع (اتجاه السرعة) عند نفس النقطة .
ولإيجاد الدالة التفاضلية للخط الانسيابي نفرض أن $d\vec{s}$ عنصر طولي منه عند النقطة M عليه حيث متجه السرعة عند M هو \vec{q} .

من تعريف نلاحظ أن متجه السرعة \vec{q} ينطبق على المماس للخط الانسيابي عند M أي أن :



$$\vec{q} \wedge d\vec{s} = 0$$

$$\begin{vmatrix} \vec{i} & \vec{j} & \vec{k} \\ u & v & w \\ dx & dy & dz \end{vmatrix} = 0$$

$$\therefore (vdz - wdy)\vec{i} + (wdx - udz)\vec{j} + (udy - vdx)\vec{k} = 0$$

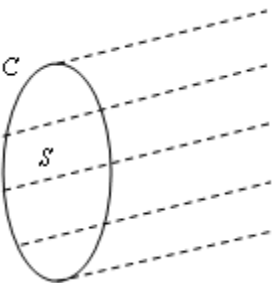
وعلي ذلك يكون :

$$\frac{dx}{u} = \frac{dy}{v} = \frac{dz}{w}$$

وتسمى المعادلات الأخيرة بالمعادلات التفاضلية للخطوط الانسيابية . وعندما تعتمد سرعة أي نقطة من المائع على موضع هذه النقطة وعلى الزمن فان الخطوط الانسيابية عند أي لحظة تكون ما يسمى بالحزمة الانسيابية Flow Pattern عند نفس اللحظة .

١٠ - الأنابيب الانسيابية :

برسم الخطوط الانسيابية خلال المنحني C الذي يحد السطح S نحصل على ما يعرف باسم الأنبوة الانسيابية وعندما يكون مقطع الأنبوة الانسيابية صغير جداً فان الأنبوة الانسيابية تعرف باسم الأنبوة الشعرية Stream Filament وعندما تكون حركة المائع لازمية فإن الأنابيب الانسيابية تكون ك الأنابيب العادي ينساب المائع خلالها ومن التعريف فإن المائع لا ينساب خلال السطح المنحني للأنبوة الانسيابية وهذه السطوح المنحنية ثابتة في الفراغ وعلى ذلك فان حركة المائع داخل الأنبوة الانسيابية لا تتغير لو استبدلت السطوح المنحنية المرسومة (تصوراً) في المائع بسطح من مادة صلبة .



١١ - الخطوط المسارية : Path lines

تعرف الخطوط المسارية بأنها المنحنيات التي ترسمها نقط المائع أثناء حركته فان المعادلة التفاضلية للخطوط المسارية هي :

$$\frac{dx}{u} = \frac{dy}{v} = \frac{dz}{w} = dt$$

وحيث أن اتجاه حركة نقطة من المائع يكون دائماً في اتجاه السرعة عند هذه النقطة أي في اتجاه المسار فان الخطوط المسارية تمثل الخطوط الانسيابية عند نفس الموقع الحظي لنقط المائع وعندما تكون حركة المائع لازمني Steady فان الخطوط الانسيابية تتطبق على الخطوط المسارية.

أما إذا كانت حركة المائع زمنية Unsteady فان الخطوط الانسيابية لا تتطبق على الخطوط المسارية.

١٢ - المسائل الداخلية والمسائل الخارجية :

السائل الداخلية هي التي يتحرك فيها المائع داخل الأجسام أما المسائل الخارجية فهي المسائل التي يتحرك فيها المائع حول الأجسام .

(٥) طرق دراسة حركة المواقع :

من المعروف انه لتحديد حركة الأجسام لابد أن ننسبها إلى مجموعة من المحاور ولتكن مثلاً المحاور x_1, x_2, x_3 هذه المجموعة إما أن تكون محاور كرتيزية متعامدة مثلاً (x, y, z) أو أي مجموعة أخرى من المحاور المتعامدة أو المحاور المتعامدة المنحنية. وتتحرك النقطة المادية أو

جزء السائل بالنسبة إلى هذه المحاور إذا كانت إحداثياتها x_i (حيث $i = 1, 2, 3, \dots$) تتغير بتغير الزمن أي أن هذه الإحداثيات دالة في الزمن . ويمكن معرفة حركة الجسم إذا عرف العلاقة بين x_i والزمن ، أي بمعلومية القانون :

$$x_i = f_i t$$

وهذا القانون يعرف بقانون الحركة . ولدراسة حركة المائع عموما هناك طريقتان لهذه الدراسة هما : طريقة أويلر ، طريقة لاجرانج .

١- طريقة أويلر : Euler's Method

هذه الطريقة الأساسية لدراسة حركة المائع والتي سوف نستخدمها في هذا المقرر . وهذه الطريقة تتلخص ليس في دراسة حركة المائع نفسه بل في دراسة الفراغ (أو جزء منه) المشغول بالمائع المتحرك لذلك نختار نقطة ما في الفراغ المشغول بالمائع إحداثياتها مثل (x, y, z) بالنسبة لمحاور ثابتة في الفراغ وندرس التغيرات التي تحدث لعناصر الحركة (الضغط - السرعة ... وغيرها) عند الانتقال من نقطة في الفراغ إلى نقطة أخرى وكذلك التغيرات في هذه العناصر عند نقطة ثابتة في الفراغ مع مرور الزمن .

وعلي هذا فالسرعة مثلا يمكن اعتبارها دالة لأربع متغيرات هي (x, y, z, t) حيث t الزمن وهذه المتغيرات تسمى متغيرات أويلر وعلى ذلك إذا كان لدينا مجموعة من المحاور الكرتيزية المتعامدة وكانت مركبات السرعة بالنسبة لها هي (u, v, w) فان :

$$\begin{aligned} u &= u(x, y, z, t) = f_1(x, y, z, t), \\ v &= v(x, y, z, t) = f_2(x, y, z, t), \\ w &= w(x, y, z, t) = f_3(x, y, z, t), \end{aligned}$$

وباعتبار حركة المائع منفصلة فان الدوال f_1, f_2, f_3 تكون دوالاً متصلة ووحيدة القيمة .

وفي هذه الحالة لإيجاد مسار نقطة من المائع نكتب المعادلات السابقة بالصورة :

$$\begin{aligned} \frac{dx}{dt} &= f_1(x, y, z, t), \\ \frac{dy}{dt} &= f_2(x, y, z, t), \\ \frac{dz}{dt} &= f_3(x, y, z, t), \end{aligned}$$

حيث تأخذ الصور الآتية بعد التكامل :

$$\begin{aligned} x &= \Phi_1(a, b, c, t), \\ y &= \Phi_2(a, b, c, t), \\ z &= \Phi_3(a, b, c, t), \end{aligned}$$

و هذه المعادلات تشتمل على ثلاثة ثوابت اختيارية هي a, b, c يمكن تعينها من الشروط الابتدائية وبحذف t من هذه المعادلات الثلاث الأخيرة نحصل على معادلة المسار . وتعرف مركبات عجلة جسيم من المائع في متغيرات أويلر كالتالي :

$$f_x = \frac{du}{dt} \quad , \quad f_y = \frac{dv}{dt} \quad , \quad f_z = \frac{dw}{dt}$$

و على ذلك يكون :

$$\begin{aligned} f_x &= \frac{\partial u}{\partial t} + u \frac{\partial u}{\partial x} + v \frac{\partial u}{\partial y} + w \frac{\partial u}{\partial z} \\ f_x &= \frac{\partial u}{\partial t} + u \frac{\partial u}{\partial x} + v \frac{\partial u}{\partial y} + w \frac{\partial u}{\partial z} \\ f_y &= \frac{\partial v}{\partial t} + u \frac{\partial v}{\partial x} + v \frac{\partial v}{\partial y} + w \frac{\partial v}{\partial z} \\ f_z &= \frac{\partial w}{\partial t} + u \frac{\partial w}{\partial x} + v \frac{\partial w}{\partial y} + w \frac{\partial w}{\partial z} \end{aligned}$$

٢- طريقة لجرانج : Lagrange's Method

وتلخص هذه الطريقة في تتبع حركة جزء من المائع كل على حدة . فإذا كانت إحداثيات نقطة من المائع عند اللحظة $t = 0$ هي (ξ, η, ζ) فإن إحداثيات هذه النقطة في أي لحظة t هي (x, y, z) ستكون دوالا في (ξ, η, ζ, t) في الزمن t وتسمى المتغيرات الأربع (x, y, z, t) بمتغيرات لجرانج وعلى ذلك فان :

$$\begin{aligned} x &= \psi_1(\xi, \eta, \zeta, t) \\ y &= \psi_2(\xi, \eta, \zeta, t) \\ z &= \psi_3(\xi, \eta, \zeta, t) \end{aligned}$$

وبينما نحصل على معادلات المسار في طريقة أويلر بالتكامل فإننا في طريقة لجرانج نحصل عليها من المعادلات الأخيرة ولكن مركبات السرعة والعجلة في طريقة لجرانج :

$$u = \frac{\partial x}{\partial t}, \quad v = \frac{\partial y}{\partial t}, \quad w = \frac{\partial z}{\partial t}$$

$$f_x = \frac{\partial u}{\partial t} = \frac{\partial^2 x}{\partial t^2}, \quad f_y = \frac{\partial v}{\partial t} = \frac{\partial^2 y}{\partial t^2}, \quad f_z = \frac{\partial w}{\partial t} = \frac{\partial^2 z}{\partial t^2}$$

ومن الأمثلة على وجهتي نظر لجرانج وأويلر هي حركة أو انسياب المائع في قناة فإذاً نتبع حركة جزئ من السائل من المنبع للقاء حتى المصب وهذه وجهة نظر لجرانج أو عند أي موضع من القناة ون تتبع ماذا يحدث عند هذا الموضع في لحظات متتالية من الزمن وهذه وجهة نظر أويلر. والحركة سواء من وجهة نظر لجرانج أو وجهة نظر أويلر تعتبر معلومة إذا علم متغيرات هذه الحركة ومتغيرات الحركة هي كل المتغيرات التي تتعلق بخواص السائل مثل السرعة والعجلة والكتافة والضغط ودرجة الحرارة) بدلالة متغيرات كل طريقة .

(٦) معادلة الاتصال : Equation of Continuity

من القوانين الهامة في ميكانيكا نيوتن هو قانون بقاء الكتلة m لأي حجم معزول من السائل (أو المادة)

(المقصود بالحجم المعزول هو أي حجم يحتوي على نفس النوع من جزيئات المادة) . وهذا القانون يعطي معادلة من أهم المعادلات في ميكانيكا الوسط المتصل وهو انه لأي حجم معين فان الكتلة m تكون :

$$m = \text{constant}, \dots \dots \dots (1)$$

وهذه يمكن كتابتها في الصورة :

$$\frac{dm}{dt} = 0, \dots \dots \dots \quad (2)$$

ومن تعريف الكثافة وجد أن الكثافة المتوسطة للكتلة Δm التي تحتوي الحجم $\Delta\tau$ هي ' ρ'

$$\rho' = \frac{\Delta m}{\Delta\tau}$$

وعلي ذلك تكون الكثافة الحقيقة هي :

$$\rho = \frac{dm}{d\tau}$$

إذا كان لدينا حجم محدود V متحرك من السائل فتكون الكتلة m التي بداخل هذا الحجم هي :

$$m = \iiint_V \rho d\tau, \dots \dots \dots \quad (3)$$

حيث التكامل الحجمي مأخوذ على الحجم V المتحرك من السائل.

بذلك يكون قانون بقاء الكتلة هو القانون (2) بالنسبة لحجم معزول من السائل V ويمكن كتابته في الصورة :

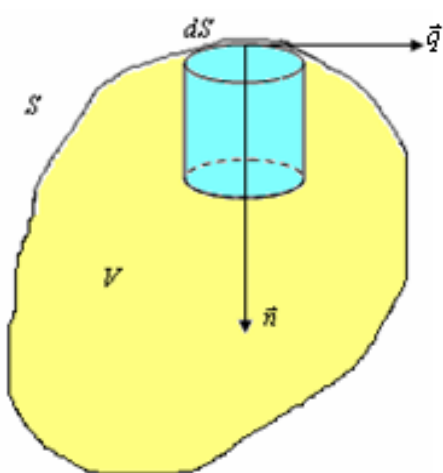
$$\frac{d}{dt} \iiint_V \rho d\tau = 0, \dots \dots \dots \quad (4)$$

المعادلة (4) هذه هي احدى صيغ ما يسمى بمعادلة الاتصال للمائع ولكنها ليست في صورتها النهائية التي سوف نستنتجها فيما بعد .

ملحوظة :

نلاحظ أن إذا كان حجم السائل صغير ويساوي $d\tau$ فقط فان المعادلة (4) تصبح في الصورة :

$$\frac{d}{dt}(\rho d\tau) = 0$$



نعتبر الان حجم معين من السائل V متحركا ذات السطح S الذي يحد الحجم V . نفرض أن \bar{n} هو متوجه الوحدة العمودي على عنصر المساحة dS من السطح S والي داخل السطح ونفرض أن \bar{q} هي سرعة عنصر المساحة dS .

سوف نحسب كمية السائل التي سوف تدخل خلال وحدة الزمن في الحجم V من خلال السطح. خلال وحدة الزمن سوف يدخل جزء من السائل في الاتجاه العمودي على السطح إلى الداخل عبارة عن اسطوانة قائمة طولها هو

مقدار مركبة السرعة في الاتجاه العمودي على السطح (إذ أن السرعة هي المسافة المقطوعة في وحدة الزمن) إما قاعدة الاسطوانة فهي العنصر dS من السطح S وعلى ذلك يكون حجم هذا السائل هو حجم الاسطوانة الصغيرة هذه وهو يساوي $(\bar{n} \cdot \bar{q})dS$ وذلك لأن مركبة السرعة \bar{q} في الاتجاه العمودي \bar{n} هي $\bar{q} \cdot \bar{n}$ حيث \bar{n} متوجه وحدة عمودي وبالتالي على السطح S ينتج أن حجم السائل الكلي الذي يدخل الحجم V من السائل في وحدة الزمن هو :

$$\iint_S (\bar{n} \cdot \bar{q})dS$$

وقد عرفنا أن كتلة السائل الموجودة داخل الحجم V المحدود بواسطة السطح S هو $\iiint_V \rho d\tau$.

إذا فرضنا انه لا يوجد داخل الحجم V من السائل أي منبع يمكن أن ينتج عنه زيادة في السائل أو أي مصب يمكن أن ينتج عنه فقد في السائل فان الكتلة داخل الحجم V نتيجة لتغير الزمن بالكتلة التي تدخل هذا الحجم في وحدة الزمن . أي سوف نحصل على :

$$\frac{\partial}{\partial t} \left(\iiint_V \rho d\tau \right) = \rho \iint_S (\vec{n} \cdot \vec{q}) dS, \dots \dots \dots \quad (5)$$

نلاحظ أن عالمة التفاضل للزمن في الطرف الأيسر هي تفاضل جزئي وذلك لأننا نريد التغيير في الكتلة الناتج عن تغير الزمن فقط . وبتطبيق نظرية جاوس لتحويل التكامل السطحي إلى حجمي :

$$\iiint_V (\nabla \cdot \vec{X}) d\tau = - \iint_S (\vec{n} \cdot \vec{X}) dS$$

وبأخذ $\vec{X} = \rho \vec{q}$ فان :

$$\iint_S (\vec{n} \cdot \rho \vec{q}) dS = - \iiint_V [\nabla \cdot (\rho \vec{q})] d\tau$$

بالتعويض في معادلة (5) نحصل على :

$$\begin{aligned} \iiint_V \frac{\partial \rho}{\partial t} d\tau + \iiint_V (\nabla \cdot \rho \vec{q}) d\tau &= 0 \\ \therefore \iiint_V \left[\frac{\partial \rho}{\partial t} + (\nabla \cdot \rho \vec{q}) \right] d\tau &= 0 \end{aligned}$$

: الحجم $d\tau$ اختياري فان معادلة الاتصال تكون هي :

$$\frac{\partial \rho}{\partial t} + (\nabla \cdot \rho \vec{q}) = 0, \dots \dots \dots \dots \dots \dots \dots \quad (6)$$

المعادلة الأخيرة يمكن وضعها على الصورة الآتية :

$$\nabla \cdot \rho \vec{q} = \rho (\nabla \cdot \vec{q}) + (\vec{q} \cdot \nabla) \rho = \rho \operatorname{div} \vec{q} + (\vec{q} \cdot \vec{\nabla}) \rho$$

لذلك فان معادلة الاتصال تأخذ الصورة :

$$\begin{aligned} \frac{\partial \rho}{\partial t} + \rho \operatorname{div} \vec{q} + (\vec{q} \cdot \vec{\nabla}) \rho &= 0, \dots \dots \dots \dots \dots \dots \dots \quad (7) \\ \therefore \frac{d\rho}{dt} = \frac{\partial \rho}{\partial t} + (\vec{q} \cdot \vec{\nabla}) \rho & \end{aligned}$$

بذلك يمكن كتابة معادلة الاتصال في الصورة :

$$\frac{d\rho}{dt} + \rho \operatorname{div} \vec{q} = 0, \dots \dots \dots \dots \dots \dots \dots \quad (8)$$

في المواقع الغير قابلة للانضغاط تكون الكثافة ρ ثابتة وفي هذه الحالة إذا استخدمنا طريقة اويلر
لوصف حركة المواقع فان معادلة الاتصال تأخذ الصورة :

$$\operatorname{div} \vec{q} = 0, \dots \quad (9)$$

$$\frac{\partial u}{\partial x} + \frac{\partial v}{\partial y} + \frac{\partial w}{\partial z} = 0, \dots \quad (10)$$

(٧) جهد السرعة : Velocity Potential

نفرض أن سرعة المائع عند اللحظة t هي q ومركباتها في اتجاه المحاور الكرتيزية (u, v, w) .
إذا نظرنا في المقدار :

$$udx + vdy + wdz$$

فإننا نعرف من الرياضة البحتة انه لكي يمثل المقدار التفاضلي الكلي لدالة ما ولتكن $\Phi(x, y, z)$
فإن الشرط الضروري والكافي لذلك هو أن يكون :

$$\left. \begin{aligned} \frac{\partial u}{\partial y} &= \frac{\partial v}{\partial x} \\ \frac{\partial v}{\partial y} &= \frac{\partial w}{\partial z} \\ \frac{\partial w}{\partial x} &= \frac{\partial u}{\partial z} \end{aligned} \right\}, \dots \quad (1)$$

إذا أمكن تعريف الدالة القياسية $\Phi(x, y, z)$ بحيث يكون :

$$udx + vdy + wdz = +d\Phi$$

فإن الدالة القياسية Φ تسمى بدالة جهد السرعة وهي دالة قياسية ولكن :

$$d\Phi = \frac{\partial \Phi}{\partial x} dx + \frac{\partial \Phi}{\partial y} dy + \frac{\partial \Phi}{\partial z} dz$$

ومن ثم فان :

$$\left. \begin{array}{l} u = +\frac{\partial \Phi}{\partial x}, \\ v = +\frac{\partial \Phi}{\partial y}, \\ w = +\frac{\partial \Phi}{\partial z}, \end{array} \right\}, \dots \dots \dots \quad (2)$$

العلاقات (2) يمكن كتابتها على الصورة :

$$\vec{q} = +\vec{\nabla}\Phi, \dots \dots \dots \quad (3)$$

أي إذا أمكن وضع مركبات السرعة q على صورة مركبات الانحدار السابقة فإنه يقال أن الحركة هي حركة جهدية للمائع وأيضا يمكن كتابة الشرط اللازم والكافي (1) في الصورة :

$$\vec{\nabla} \wedge \vec{q} = +\vec{\nabla} \wedge \vec{\nabla}\Phi = (\vec{\nabla} \wedge \vec{\nabla})\Phi = 0$$

أي أن الحركة الجهدية تسمى بالحركة الغير دورانية.

: Vortex (٨) الدوامة

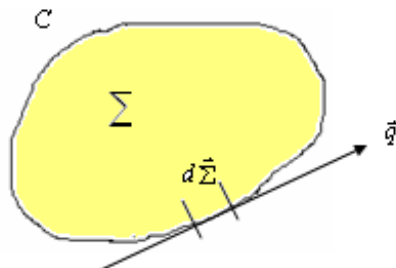
المتجه $\bar{q} = \vec{\nabla} \wedge \bar{q}$ يسمى بمتوجه الدوامة وعلى ذلك تكون الحركة الجهدية أو غير دورانية إذا كان $0 = \bar{q}$ أما إذا كان $0 \neq \bar{q}$ فان الحركة تكون دورانية (Rotational).

(٩) الخط الدوامي : Vortex Line

في حالة الحركة الدورانية يعرف الخط الدوامي بأنه المنحني المرسوم في المائع الذي يكون المماس له عند أي نقطة هو المتجه الدوامي عند هذه النقطة . وإذا كانت ξ_x, ξ_y, ξ_z هي مركبات متجه الدوامة \bar{q} فان المعادلات التفاضلية للخطوط الدوامية هي :

$$\frac{dx}{\xi_x}, \frac{dy}{\xi_y}, \frac{dz}{\xi_z}$$

(١٠) الدوران : Circulation



إذا كان C منحني مغلق موضوع كليا في مائع متحرك ونفرض أن السرعة عند أي نقطة على المنحني هي \bar{q} وان Σ هي مساحة السطح داخل المنحني المغلق C فان الدوران Γ لسرعة المائع \bar{q} يعرف كالتالي :

$$\Gamma = \oint_C \bar{q} \cdot d\bar{S} = \iint_{\Sigma} (\vec{\nabla} \wedge \bar{q}) d\bar{S}, \dots \dots \dots (1)$$

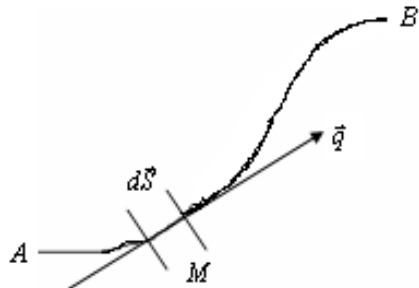
حيث dS عنصر طولي من المنحني C ، $d\Sigma$ عنصر مساحة من المساحة Σ .

$$\vec{\xi} = \vec{\nabla} \wedge \vec{q} = \text{Curl } \vec{q}$$

$$\therefore \Gamma = \iint_{\Sigma} \xi d\vec{\Sigma} = \iint_{\Sigma} \xi \cdot \vec{n} d\Sigma, \dots \dots \dots \quad (2)$$

حيث \vec{n} متجه وحدة في الاتجاه العمودي للخارج للعنصر d من السطح Σ .

ومن المعادلة (1) نجد أن :



وإذا كان المنحني غير مغلق، فان الدوران من النقطة A إلى النقطة B على المنحني يعرف كالتالي :

$$\Gamma = \int_A^B \vec{q} \cdot d\vec{S} = \int_A^B u dx + v dy + w dz$$

وفي كلا الحالتين يكون الدوران موجبا إذا بقيت المساحة على الشمال أثناء الدوران.

وفي الحالة التي تكون الحركة جهدية فان :

$$u = + \frac{\partial \Phi}{\partial x}, \quad v = + \frac{\partial \Phi}{\partial y}, \quad w = + \frac{\partial \Phi}{\partial z}$$

حيث Φ دالة جهد السرعة وعندها يكون الدوران :

$$\Gamma = + \int_A^B \left(\frac{\partial \Phi}{\partial x} dx + \frac{\partial \Phi}{\partial y} dy + \frac{\partial \Phi}{\partial z} dz \right) = + \int_A^B d\Phi = -\Phi_A + \Phi_B$$

و هذا معناه أن الدوران على أي منحني (AB) في حالة الحركة الجهدية لا يتوقف على شكل المنحني ويساوي الفرق بين قيمتي الجهد عند النقطتين النهايتين . ومن ثم إذا كان المنحني مغلق فإن الدوران يساوي الصفر إذا كانت Φ دالة وحيدة القيمة .

أمثلة :

مثال (١) :

إذا كانت مركبات السرعة لنقطة ما في مائع هي $u = -Ky$ ، $v = Kx$ ، $w = 0$ حيث K ثابت فما هي خطوط الانسيابية .

الحل :

واضح أن مركبات السرعة لا تتوقف على الزمن وبذلك تكون حركة المائع لازمنية Steady ومن ثم نستنتج أن معادلة المسار تتطبق على معادلة الخطوط الانسيابية كذلك فان هذه الحركة مستوية لأن $w = 0$. المعادلة التفاضلية للخطوط الانسيابية هي :

$$\begin{aligned} \frac{dx}{u} &= \frac{dy}{v} \\ \therefore \frac{dx}{-Ky} &= \frac{dy}{Kx} \\ \therefore xdx &= -ydy \end{aligned}$$

وبالتكمال نجد أن :

$$x^2 + y^2 = C$$

حيث C ثابت.

وعلى ذلك عندما تكون $C > 0$ فان الخطوط الانسيابية تكون عبارة عن مجموعة الدوائر متحدة المركز ومركزها هو نقطة الأصل.

مثال (٢):

إذا كانت مركبات سرعة نقطة ما في مائع متحرك في اتجاهات المحاور هي $u = x + t$ ،

$w = 0$ ، $v = -y + t$ فاوجد :

(i) معادلة الخطوط الانسيابية ثم معادلة الخط الانسيابي المار بالنقطة $A(-1, -1)$ عند اللحظة

$t = 0$

(ii) مسار النقطة M التي كانت تشكل الموضع $A(-1, -1)$ عند اللحظة $t = 0$.

الحل:

واضح أن الحركة مستوية زمنية . المعادلة التفاضلية للخطوط الانسيابية هي :

$$\frac{dx}{x+t} = \frac{dy}{-y+t}$$

بالتكامل واعتبار t ثابت نجد أن :

$$\ln(x+t) = -\ln(-y+t) + \ln C$$

حيث C ثابت التكامل

$$(x+t)(-y+t) = C, \dots \dots \dots \dots \dots (1)$$

أي أن مجموعة الخطوط في كل لحظة تمثل مجموعة من القطوع الزائدات ولإيجاد الخط الانسيابي الذي يمر بالنقطة $(-1, -1)$ عند اللحظة $t=0$ بالتعويض في (1) :

$$(-1)(1) = C \Rightarrow C = -1, \dots \dots \dots \dots \dots (2)$$

وعلي ذلك فمعادلة الخط الانسيابي المطلوب هو :

$$xy = 1$$

وهي تمثل معادلة قطعا زائدا .

ولإيجاد معادلة المسار :

$$\frac{dx}{dt} = x + t \quad , \quad \frac{dy}{dt} = -y + t, \dots \dots \dots \dots \dots (3)$$

$$\frac{dx}{dt} - x = t$$

وهي معادلة تفاضلية خطية من الرتبة الأولى وعامل تكاملاها :

$$\begin{aligned}\mu &= e^{-\int dt} = e^{-t} \\ \therefore e^{-t} \frac{dx}{dt} &= -xe^{-t} = te^{-t} \\ \frac{d}{dt} [xe^{-t}] &= te^{-t} \\ xe^{-t} &= \int te^{-t} dt = -\int t d(e^{-t}) = -te^{-t} + \int e^{-t} d \\ \therefore xe^{-t} &= -te^{-t} - e^{-t} + C_1 \\ x &= -t - 1 + C_1 e^{-t}, \dots \dots \dots (4)\end{aligned}$$

ولكن عندما $t = 0$ كانت $x = -1$

$$\begin{aligned}\therefore C_1 &= 0 \\ \therefore x &= -t - 1 + C_1 e^{-t}, \dots \dots \dots (5)\end{aligned}$$

وبالمثل

$$\frac{dy}{dt} + y = t$$

وبحل هذه المعادلة ينتج أن :

$$y = t - 1, \dots \dots \dots (6)$$

وبحذف t بين (6) و (5) نحصل على :

$$x + y = -2, \dots \dots \dots (7)$$

و هذه هي معادلة المسار المطلوب . واضح إنها تمثل معادلة خط مستقيم .
ومن هذا المثال يتضح انه إذا كانت الحركة زمنية أي إنها تعتمد على الزمن فان معادلات الخطوط الانسيابية تختلف عن معادلات خطوط المسار .

مثال (٣) :

إذا كان متجه السرعة لحركة مائع غير قابل للانضغاط يعطي بالصورة :

$$\vec{q} = -\frac{2xyz}{(x^2 + y^2)^2} \vec{i} + \frac{(x^2 - y^2)z}{(x^2 + y^2)^2} \vec{j} + \frac{y}{x^2 + y^2} \vec{k}$$

فأثبت أن هذه الحركة ممكنة وإنها غير دورانية .

الحل :

معادلة الاتصال هي :

$$\frac{d\rho}{dt} + \rho \operatorname{div} q = 0$$

.. المائع غير قابل للانضغاط

$$\begin{aligned} \frac{d\rho}{dt} &= 0 \\ \therefore \operatorname{div} q &= 0 \end{aligned}$$

$$\operatorname{div} q = \frac{\partial u}{\partial x} + \frac{\partial v}{\partial y} + \frac{\partial w}{\partial z} = \frac{\partial}{\partial x} \left[\frac{-2xyz}{(x^2 + y^2)^2} \right] + \frac{\partial}{\partial y} \left[\frac{(x^2 - y^2)z}{(x^2 + y^2)^2} \right] + \frac{\partial}{\partial z} \left[\frac{y}{x^2 + y^2} \right]$$

$$\begin{aligned} \operatorname{div} q &= \frac{(x^2 + y^2)^2(-2yz) + 2xyz(x^2 + y^2)4x}{(x^2 - y^2)^4} + \frac{(x^2 + y^2)^2(-2yz) - (x^2 - y^2)k(x^2 + y^2)(4y)}{(x^2 - y^2)^4} + 0 \\ \therefore \operatorname{div} q &= \frac{-2yz[x^2 + y^2 - 4x^2 + x^2 + y^2 + 2x^2 - 2y^2]}{(x^2 - y^2)^3} \\ \therefore \operatorname{div} q &= 0 \end{aligned}$$

أي أن معادلة الاتصال للمائع الغير قابل للانضغاط تحقق وبذلك تكون الحركة ممكنة.

كذلك فان :

$$\begin{aligned} \operatorname{curl} q &= \left| \begin{array}{ccc} \vec{i} & \vec{j} & \vec{k} \\ \frac{\partial}{\partial x} & \frac{\partial}{\partial y} & \frac{\partial}{\partial z} \\ \frac{-2xyz}{(x^2 + y^2)^2} & \frac{(x^2 - y^2)z}{(x^2 + y^2)^2} & \frac{y}{(x^2 + y^2)} \end{array} \right| \\ \operatorname{curl} q &= \left[\frac{\partial}{\partial y} \left(\frac{y}{(x^2 + y^2)} \right) - \frac{\partial}{\partial z} \left(\frac{(x^2 - y^2)z}{(x^2 + y^2)^2} \right) \right] \vec{i} + \left[\frac{\partial}{\partial z} \left(\frac{-2xyz}{(x^2 + y^2)^2} \right) - \frac{\partial}{\partial x} \left(\frac{y}{(x^2 + y^2)} \right) \right] \vec{j} \\ &+ \left[\frac{\partial}{\partial x} \left(\frac{(x^2 - y^2)z}{(x^2 + y^2)^2} \right) - \frac{\partial}{\partial z} \left(\frac{-2xyz}{(x^2 + y^2)^2} \right) \right] \vec{k} \end{aligned}$$

وعلي ذلك فان الحركة تكون غير دورانية .

$$\therefore \operatorname{curl} q = 0$$

مثال (٤) :

استنتاج معادلة الاتصال لمانع بالإحداثيات القطبية الكروية .

الحل :

معادلة الاتصال بالإحداثيات الكرتيزية :

$$\frac{d\rho}{dt} + \operatorname{div} \rho \vec{q} = 0$$

وفي الإحداثيات المنحنية نعلم أن :

$$\operatorname{div} \vec{F} = \frac{1}{h_1 h_2 h_3} \left[\frac{\partial}{\partial u_1} (F_1 h_2 h_3) + \frac{\partial}{\partial u_2} (F_2 h_1 h_3) + \frac{\partial}{\partial u_3} (F_3 h_1 h_2) \right]$$

وفي الإحداثيات القطبية الكروية يكون :

$$\begin{aligned} h_1 &= 1 & h_2 &= r & h_3 &= r \sin \theta \\ u_1 &= r & u_2 &= \theta & u_3 &= \psi \end{aligned}$$

$$\vec{F} = \rho \vec{q}$$

وعلي ذلك ففي الإحداثيات الكروية يكون :

$$\operatorname{div}(\rho \vec{q}) = \frac{1}{r^2 \sin \theta} \left[\frac{\partial}{\partial r} (\rho q_r r^2 \sin \theta) + \frac{\partial}{\partial \theta} (\rho q_\theta r^2 \sin \theta) + \frac{\partial}{\partial \psi} (\rho q_\psi r) \right]$$

$$\therefore \operatorname{div}(\rho \vec{q}) = \frac{1}{r^2} \frac{\partial}{\partial r} (\rho q_r r^2) + \frac{1}{r \sin \theta} \frac{\partial}{\partial \theta} (\rho q_\theta \sin \theta) + \frac{1}{r \sin \theta} \frac{\partial}{\partial \psi} (\rho q_\psi)$$

معادلة الاتصال هي :

$$\frac{d\rho}{dt} + \frac{1}{r^2} \frac{\partial}{\partial r} (\rho q_r r^2) + \frac{1}{r \sin \theta} \frac{\partial}{\partial \theta} (\rho q_\theta \sin \theta) + \frac{1}{r \sin \theta} \frac{\partial}{\partial \psi} (\rho q_\psi) = 0$$

مثال (٥) :

تتحرك عناصر مائع متماثل في الفراغ بالنسبة لمركز ثابت أثبت أن معادلة الاتصال هي :

$$\frac{\partial \rho}{\partial t} + u \frac{\partial \rho}{\partial r} + \frac{\rho}{r^2} \frac{\partial}{\partial r} (r^2 u) = 0$$

حيث u السرعة على بعد r من مركز الثابت .

الحل :

.. الحركة متماثلة بالنسبة لمركز ثابت . فلو رمنا للبعد عن هذا المركز بالرمز r فإن :

$$u = u(r, t)$$

حيث u السرعة على بعد r .

∴ معادلة الاتصال هي :

$$\frac{d\rho}{dt} + \operatorname{div}(\rho \vec{q}) = 0$$

وأيضاً تساوي :

$$\frac{\partial \rho}{\partial t} + (\vec{q} \cdot \vec{\nabla})\rho + \rho \nabla \cdot \vec{q} = 0$$

وباستخدام الإحداثيات القطبية (r, θ, ψ) نعلم أن :

$$\vec{\nabla} \cdot \vec{q} = \frac{1}{r^2} \frac{\partial}{\partial r} (ur^2) + 0 + 0$$

لأن متجه السرعة q له مركبة واحدة فقط u في اتجاه r .

∴ معادلة الاتصال هي :

$$\frac{\partial \rho}{\partial t} + u \frac{\partial \rho}{\partial r} + \frac{\rho}{r^2} \frac{\partial}{\partial r} (r^2 u) = 0$$

مثال (٦):

إذا كانت أي نقطة من مائع غير قابلة للانضغاط تدور بانتظام حول محور ثابت بسرعة زاوية تناسب مع البعد عن المحور مرفوعا للاس n فأثبت أن الحركة تكون غير دورانية إذا كان

$$n+1=0$$

الحل :



بفرض أن r بعد أي نقطة عن المحور (محور الدوران) ، ω هي السرعة الزاوية .

$$\omega \propto r^n \Rightarrow \omega = Kr^n$$

حيث K ثابت التناسب . السرعة في اتجاه المماس للدائرة التي ترسمها نقطة المائع

$$q = \omega r = Kr^{n+1}$$

وفي الإحداثيات المنحنيّة نعلم أن :

$$\vec{\nabla} \wedge \vec{F} = \frac{1}{h_1 h_2 h_3} \begin{vmatrix} h_1 \vec{e}_1 & h_2 \vec{e}_2 & h_3 \vec{e}_3 \\ \frac{\partial}{\partial u_1} & \frac{\partial}{\partial u_2} & \frac{\partial}{\partial u_3} \\ h_1 F_1 & h_2 F_2 & h_3 F_3 \end{vmatrix}$$

في الإحداثيات الاسطوانية :

$$\begin{aligned} h_1 &= 1 & h_2 &= r & h_3 &= 1 \\ u_1 &= r & u_2 &= \Phi & u_3 &= z \end{aligned}$$

$$\therefore \vec{\nabla} \wedge \vec{q} = \begin{vmatrix} \vec{e}_r & r\vec{e}_\theta & \vec{e}_z \\ \frac{\partial}{\partial r} & \frac{\partial}{\partial \theta} & \frac{\partial}{\partial z} \\ 0 & Kr^{n+1} & 0 \end{vmatrix}$$

ومنها ينتج المطلوب .

الباب الثاني

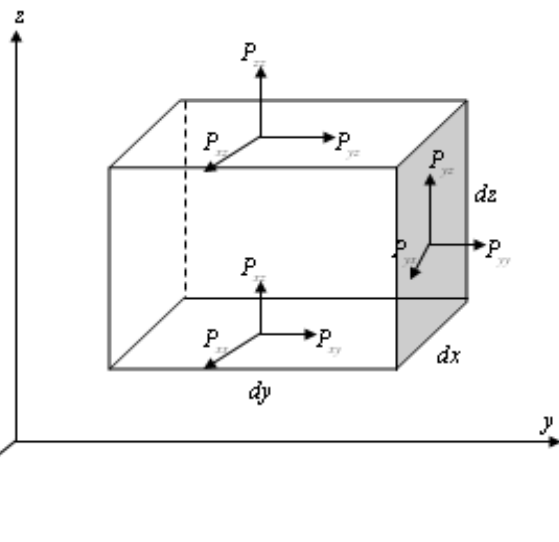
معادلات حركة الموائع الزلجة الغير قابلة للانضغاط

Equations of Motion of Incompressible Viscous Fluids

مقدمة :

في الموائع الغير قابلة للانضغاط تكون الكثافة ρ ثابتة وفي هذه الحالة إذا استخدمنا طريقة أويلر لوصف حركة الموائع فأن معادلة الاتصال تأخذ الصورة :

$$\begin{aligned} \operatorname{div} \vec{q} &= 0 \\ \frac{\partial u}{\partial x} + \frac{\partial v}{\partial y} + \frac{\partial w}{\partial z} &= 0 \end{aligned}$$



ممتدد الإجهاد في الموائع الزلجة :

باعتبار عنصر حجمي متناهيا في الصغر على هيئة متوازي مستطيلات أطوال أحرفه هي dx, dy, dz وأوجهه متوازي مستويات الإحداثيات كما بالشكل . وذلك بفرض أن المائع لزج . القوة

المؤثرة على وحدة المساحات من أي وجه من أوجهه (سطوحه) تسمى بالإجهاد Stress وهي ليست عمودية على السطح في حالة المائع اللزج وإنما يمكن تحليله إلى ثلاثة مركبات إحداها عمودية على السطح وتسمى بالإجهاد العمودي والأخران في مستوى السطح وتسمى الإجهادات المماسية وسترمز للإجهاد بالرمز P أو σ .

من الشكل المركبات P_{xx}, P_{xy}, P_{xz} تمثل مركبات الإجهاد المؤثر على المستوى ($x=0$) أي المستوى الذي يكون المحور x عموديا عليه ، المركبات P_{yx}, P_{yy}, P_{yz} تمثل مركبات الإجهاد المؤثر على المستوى ($y=0$) العمودي عليه هو المحور oy . وكذلك المركبات P_{zx}, P_{zy}, P_{zz} تمثل مركبات الإجهاد المؤثر على المستوى العمودي عليه هو المحور oz .

المركبات $P_{xy}, P_{xz}, P_{yz}, P_{yx}, P_{zx}, P_{zy}$ تسمى بالمركبات العمودية ، المركبات P_{xx}, P_{yy}, P_{zz} تسمى بالمركبات المماسية أو القاصة .

وبذلك يكون للإجهاد عند أي نقطة تسعة مركبات يمكن كتابتها على النحو التالي :

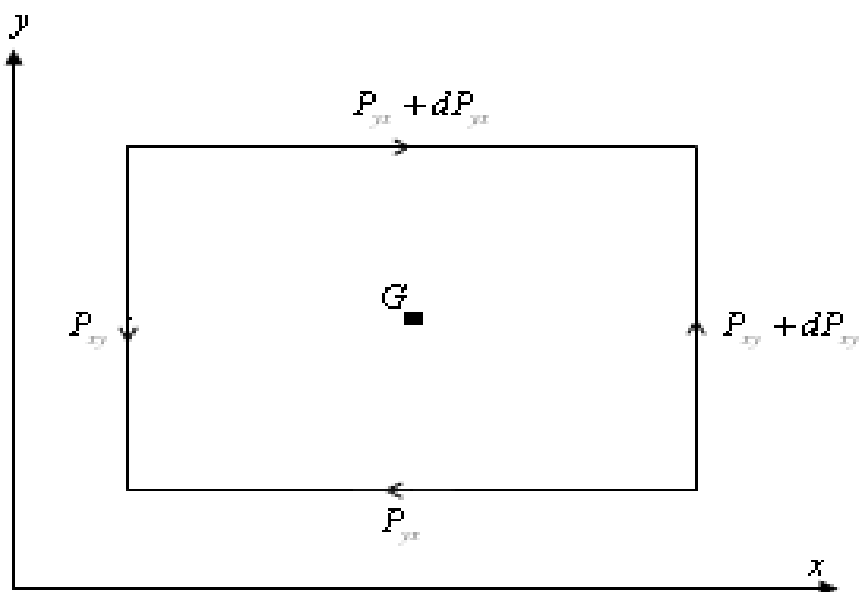
$$\begin{pmatrix} P_{xx} & P_{xy} & P_{xz} \\ P_{yx} & P_{yy} & P_{yz} \\ P_{zx} & P_{zy} & P_{zz} \end{pmatrix}$$

وتسمى ممتد الإجهاد وهو ممتد من الدرجة الثانية . المركبات المماسية للإجهاد في حالة المائع المثالي تساوي الصفر والمركبات العمودية تكون متساوية في المقدار ولا تعتمد على اتجاهات المحاور .

تماثل ممتد الإجهاد:

في معادلة العزوم (قانون بقاء كمية الحركة الزاوية للعنصر) سوف نجد عزوم تحتوي على كميات صغيرة من الدرجة الثالثة أو الرابعة أو الخامسة فمثلًا قوي القصور عزمها من الدرجة الرابعة ، بينما مركبات الإجهاد عزمها من الدرجة الثالثة في الصغر .

وبذلك يمكن كتابة المعادلات وإهمال الحدود من الدرجة الرابعة في الصغر والإبقاء على حدود الدرجة الثالثة . نأخذ في الاعتبار أن المركبات العمودية تمر بمركز العنصر فلو أخذنا العزوم حول المركز فنجد أن الكثير من المركبات سوف تتلاشى . ولذلك نأخذ العزوم حول محور يوازي محور z وتمر بالمركز ونهمل عزوم القوي من الدرجة الرابعة في الصغر (قوي القصور والقوى الحجمية) فتكون مركبات الإجهاد التي لا تساوي الصفر هي المبنية بالشكل .



ومعادلة العزوم حول محور يوازي محور z ويمر بالمركز G هي :

$$\begin{aligned} -P_{yx}dxdz\left(\frac{dy}{2}\right) - \left(P_{yx} + dP_{yx}\right)dxdz\left(\frac{dy}{2}\right) + P_{xy}dydz\left(\frac{dx}{2}\right) + \left(P_{xy} + dP_{xy}\right)dydz\left(\frac{dx}{2}\right) &= 0 \\ \therefore \left(-P_{xy} + P_{yx}\right)dxdydz &= 0 \Rightarrow P_{yx} = P_{xy} \end{aligned}$$

وبنفس الطريقة يمكن إثبات أن :

$$P_{xz} = P_{zx} \quad , \quad P_{yz} = P_{zy}$$

أي أن ممتد الإجهاد متماش .

معادلات حركة مائع لزج غير قابل للانضغاط بدلالة الاجهادات :

بفرض أن القوي الحجمية المؤثرة على عنصر حجم $\rho X dxdydz$ هي $dxdydz$ وان ρ وان $\frac{du}{dt}$

هي الكتلة مضروبة في العجلة للعنصر في اتجاه محور x . وهذه المركبة تأتي من :

- (١) القوي السطحية على الوجهين العموديين على محور x .
- (٢) القوي السطحية على الوجهين العموديين على محور y .
- (٣) القوي السطحية على الوجهين العموديين على محور z .

فإذا أثرت على الوجه $dydz$ العمودي على محور x المركبة $P_{xx}dydz$ لتعطي القوة $-P_{xx}dydz$ في اتجاه المحور x مثلا فإنها تؤثر على الوجه المقابل الموجود على بعد dx قوة تعطي من مفكوك

تيلور مقدارها $\left(P_{xx} + \frac{\partial P_{xx}}{\partial x} dx \right) dy dz$ في اتجاه عمودي على هذا الوجه أي في اتجاه محور x .

وعلى ذلك تكون المحصلة القوي المؤثرة على العنصر في اتجاه محور x .

$$\left(P_{xx} + \frac{\partial P_{xx}}{\partial x} dx \right) dy dz - P_{xx} dy dz = \frac{\partial P_{xx}}{\partial x} dx dy dz$$

بالنسبة للقوى المؤثرة على الوجه dy هي $-P_{yx} dx dz$ وعلى الوجه المقابل الموجود على بعد

وتكون المحصلة في هذه الحالة هي : تؤثر القوة dy $\left(P_{yx} + \frac{\partial P_{yx}}{\partial y} dx \right) dx dz$

$$\frac{\partial P_{yx}}{\partial y} dx dy dz$$

وبالمثل محصلة القوي على الوجهين البعض بينهما dz هي :

$$\frac{\partial P_{zx}}{\partial z} dx dy dz$$

ومجموع جميع هذه المركبات هو :

$$\left(\frac{\partial p_{xx}}{\partial x} + \frac{\partial p_{yx}}{\partial y} + \frac{\partial p_{zx}}{\partial z} \right) dx dy dz$$

وتمثل جميع القوي السطحية المؤثرة في اتجاه محور x وبذلك تصبح معادلة الحركة في اتجاه محور x بعد القسمة على $dx dy dz$ هي :

قانون نيوتن المعمم :

المجاهيل في المعادلات السابقة هي $u, v, w, P_{xx}, P_{xy}, P_{xz}, P_{yy}, P_{zz}, P_{yz}$ وهي تسعة مجاهيل بينما عدد المعادلات أربعة معادلات فقط ولذلك يلزم إضافة معادلات جديدة تربط المجاهيل بعضها البعض حتى يكون عدد المعادلات مساوياً عدد المجاهيل .

وتأتي زيادة عدد المعادلات عن طريق وضع فرض جديد تربط بين مركبات الإجهاد وتفاضلات السرعة وأشهر هذه الفروض هو الفرض النيوتوني والذي يمكن التعبير عن مركبات الإجهاد بواسطة علاقات خطية في تفاضلات السرعة وتسمى الموائع التي تحقق هذا الفرض بالموائع النيوتونية والموائع التي لا تتحقق هذا الفرض بالموائع الغير نيوتونية .

الموائع مثل الماء والهواء يمكن اعتبارها موائع نيوتونية بينما مائع مثل الدم فيعتبر مائعاً غير نيوتوني. في حالة الموائع الغير قابلة للانضغاط و النيوتونية يمكن كتابة العلاقة بين مركبات الإجهاد وتفاضلات السرعة على النحو التالي :

$$P_{xx} = -P + 2\mu \frac{\partial u}{\partial x},$$

$$P_{yy} = -P + 2\mu \frac{\partial v}{\partial y},$$

$$P_{zz} = -P + 2\mu \frac{\partial w}{\partial z},$$

$$P_{yx} = P_{xy} = \mu \left(\frac{\partial u}{\partial y} + \frac{\partial v}{\partial x} \right),$$

$$P_{zx} = P_{xz} = \mu \left(\frac{\partial u}{\partial z} + \frac{\partial w}{\partial x} \right),$$

$$P_{yz} = P_{zy} = \mu \left(\frac{\partial w}{\partial y} + \frac{\partial v}{\partial z} \right).$$

وفي هذه الحالة يمكن كتابة القوة في اتجاه محور x على الصورة :

$$\begin{aligned} \frac{\partial P_{xx}}{\partial x} + \frac{\partial P_{yx}}{\partial y} + \frac{\partial P_{zx}}{\partial z} &= -\frac{\partial P}{\partial x} + \mu \frac{\partial^2 u}{\partial x^2} + \mu \frac{\partial^2 u}{\partial x^2} + \mu \left(\frac{\partial^2 u}{\partial y^2} + \frac{\partial^2 v}{\partial y \partial x} \right) + \mu \left(\frac{\partial^2 u}{\partial z^2} + \frac{\partial^2 w}{\partial z \partial x} \right) \\ \therefore \frac{\partial P_{xx}}{\partial x} + \frac{\partial P_{yx}}{\partial y} + \frac{\partial P_{zx}}{\partial z} &= -\frac{\partial P}{\partial x} + \mu \left(\frac{\partial^2 u}{\partial x^2} + \frac{\partial^2 u}{\partial y^2} + \frac{\partial^2 u}{\partial z^2} \right) + \mu \frac{\partial}{\partial x} \left(\frac{\partial u}{\partial x} + \frac{\partial v}{\partial y} + \frac{\partial w}{\partial z} \right) \\ \therefore \frac{\partial P_{xx}}{\partial x} + \frac{\partial P_{yx}}{\partial y} + \frac{\partial P_{zx}}{\partial z} &= -\frac{\partial P}{\partial x} + \mu \nabla^2 u \end{aligned}$$

وبالمثل يمكن كتابة القوي في اتجاه محور y هي :

$$-\frac{\partial P}{\partial y} = \mu \nabla^2 v$$

وتكون القوي السطحية في اتجاه محور z هي :

$$-\frac{\partial P}{\partial z} + \mu \nabla^2 w$$

وبذلك يمكن كتابة معادلات الحركة في الصورة :

$$\rho \frac{du}{dt} = \rho X - \frac{\partial P}{\partial x} + \mu \nabla^2 u, \dots \dots \dots (4)$$

$$\rho \frac{dv}{dt} = \rho Y - \frac{\partial P}{\partial y} + \mu \nabla^2 v, \dots \dots \dots (5)$$

$$\rho \frac{dw}{dt} = \rho Z - \frac{\partial P}{\partial z} + \mu \nabla^2 w, \dots \dots \dots (6)$$

المقدار μ يعتبر معلوماً ويسمى بمعامل الزوجة الديناميكي ويمكن تحديده إما بالتجربة أو من نظرية الحركة للغازات والسوائل ويعتمد على التركيب الجزيئي للمائع وفي الحالة العامة يمكن أخذه كدالة في درجة الحرارة وذلك عند درجات الحرارة العالية ، أما في الحالات العاديّة فيمكن اعتباره ثابتاً .

أما بالنسبة للمجهول P وهو الضغط فيمكن كتابته على الصورة :

$$P = \left(\frac{P_{xx} + P_{yy} + P_{zz}}{3} \right), \dots \dots \dots \quad (7)$$

وهو مجهول جديد ظهر في المعادلات وإذا أضفنا إليه المجاهيل الثلاثة u, v, w يصبح عدد المعادلات أربعة وعدد المجاهيل أربعة أيضاً .

وبإدخال معامل الزوجة الكينماتيكي $\mu/\rho = v$ فإن معادلات الحركة تأخذ الصورة :

$$\frac{du}{dt} = \frac{\partial u}{\partial t} + u \frac{\partial u}{\partial x} + v \frac{\partial u}{\partial y} + w \frac{\partial u}{\partial z} = X - \frac{1}{\rho} \frac{\partial P}{\partial x} + v \nabla^2 u, \dots \dots \dots \quad (8)$$

$$\frac{dv}{dt} = \frac{\partial v}{\partial t} + u \frac{\partial v}{\partial x} + v \frac{\partial v}{\partial y} + w \frac{\partial v}{\partial z} = Y - \frac{1}{\rho} \frac{\partial P}{\partial y} + v \nabla^2 v, \dots \dots \dots \quad (9)$$

$$\frac{dw}{dt} = \frac{\partial w}{\partial t} + u \frac{\partial w}{\partial x} + v \frac{\partial w}{\partial y} + w \frac{\partial w}{\partial z} = Z - \frac{1}{\rho} \frac{\partial P}{\partial z} + v \nabla^2 w, \dots \dots \dots \quad (10)$$

المعادلات (4) أو المعادلات (6),(5),(9),(10) هي المعادلات الأساسية التفاضلية لحركة مائع لزج غير قابل للانضغاط وتسمى هذه المعادلات بمعادلات نافير ستوكس (Navier Stokes's) نسبة إلى العالميين الذين وضعوا هذه المعادلات في صورتها النهائية المستخدمة منذ أكثر من مائة وخمسين عاماً وهي عبارة عن معادلات تفاضلية جزئية غير خطية في أربعة مجاهيل وكل منها

دالة في أربعة متغيرات وهي شديدة التعقيد وحلولها المضبوطة غير معروفة إلا في حالات معدودة وفي معظم المسائل العملية نلجأ إلى حلها تقربياً وفي أحوال آخر قد نلجأ إلى حل المسائل بإجراء تجارب في المعامل .

والصورة الاتجاهية لمعادلات نافير ستوكس لمائع لزج وغير قابل للانضغاط هي :

$$\rho \frac{\partial \vec{q}}{\partial t} + (\vec{q} \cdot \vec{\nabla}) \vec{q} = \vec{F} - \nabla P + \mu \nabla^2 \vec{q}, \dots \dots \dots \quad (11)$$

حيث \vec{F} القوى الحجمية ، \vec{q} متوجه السرعة ومركباته هي (u, v, w) .

الشروط الابتدائية والشروط الحدية على السطوح الصلبة :

بالإضافة إلى المعادلات السابقة يلزم معرفة شكل المجاهيل عند اللحظة الابتدائية الذي يسمى بمعرفة الشروط الابتدائية وفي حالة حركة مائع لزج في أنابيب غير متحركة صلبة وغير مسامية فإن مركبات السرعة المماسية عند الجدار تساوي سرعة الجدار ويطلق على هذا شرط عدم الانزلاق .

أيضاً السرعة العمودية للمائع والجدار يجب أن تكون متساوية (واحدة) وإلا لنفذ المائع خلال الجدار ويسمى الشرط بشرط عدم النفاذية .

ويختلف المائع المثالي عن المائع اللزج في عدم تحقق شرط عدم الانزلاق في حالة المائع اللزج يوجد فرق في السرعة المماسية للمائع عند الجدار وسرعة الجدار والفرق بينهما يسمى بالسرعة الانزلاقية ويظهر هذا عادة في الغازات المخلدة .

معادلات أويلر لحركة مائع مثالي (غير لزج) :

لاستنتاج معادلات أويلر لحركة مائع غير لزج والذي لا يعتمد فيه الإجهاد على اتجاه السطح حيث يكون عمودياً فقط ولا يتغير بتغيير الاتجاه . نضع $\mu = 0$ في معادلات نافير ستوكس ووضع

$$P_{xx} = P_{yy} = P_{zz} = -P$$

فنجد أن معادلات الحركة تؤول إلى الصورة :

$$\left. \begin{aligned} \frac{du}{dt} &= X - \frac{1}{\rho} \frac{\partial P}{\partial x} \\ \frac{dv}{dt} &= Y - \frac{1}{\rho} \frac{\partial P}{\partial y} \\ \frac{dw}{dt} &= Z - \frac{1}{\rho} \frac{\partial P}{\partial z} \end{aligned} \right\}, \quad (12)$$

والصورة الاتجاهية تكون :

$$\frac{d\vec{q}}{dt} = \vec{F} - \frac{1}{\rho} \vec{\nabla} P, \quad (13)$$

أو

$$\frac{\partial \vec{q}}{\partial t} + (\vec{q} \cdot \vec{\nabla}) \vec{q} = \vec{F} - \frac{1}{\rho} \vec{\nabla} P, \quad (14)$$

المعادلات (12),(13),(14) يمكن كتابتها أيضاً بحدى الصورتين :

$$\frac{\partial \vec{q}}{\partial t} + \vec{\nabla} \left(\frac{1}{2} q^2 \right) - \vec{q} \wedge (\vec{\nabla} \wedge \vec{q}) = \vec{F} - \frac{1}{\rho} \vec{\nabla} P, \dots \dots \dots (15)$$

$$\frac{\partial \vec{q}}{\partial t} + \vec{\nabla} \left(\frac{1}{2} q^2 \right) + \vec{\xi} \wedge \vec{q} = \vec{F} - \frac{1}{\rho} \vec{\nabla} P, \dots \dots \dots (16)$$

حيث $\vec{\nabla} \wedge \vec{\xi}$ متوجه الدوامة .

معادلات الحركة لمائع مثالى غير قابل للانضغاط إذا كانت القوى الجسمية قوى

محافظة برنولى Bernoulli's Equation

عندما تكون القوى الجسمية (الحجمية) قوى محافظة فان يمكن كتابة :

$$\vec{F} = -\vec{\nabla} \Omega, \dots \dots \dots (17)$$

حيث $\Omega(x, y, z)$ دالة قياسية .

إذا كانت المائع غير قابل للانضغاط فان $\rho = \text{const.}$ فمعادلة الحركة في هذه الحالة تأخذ الصورة :

$$\frac{d\vec{q}}{dt} = -\vec{\nabla} \Omega - \frac{1}{\rho} \vec{\nabla} P$$

ويمكن كتابتها في الصورة :

$$\frac{d^2 \vec{r}}{dt^2} = -\vec{\nabla} \Omega - \frac{1}{\rho} \vec{\nabla} P, \dots \dots \dots (18)$$

حيث \vec{r} متجه الإزاحة . بضرب المعادلة (18) قياسيا في :

$$\frac{d^2\vec{r}}{dt^2} \cdot d\vec{r} = -\vec{\nabla}\Omega \cdot d\vec{r} - \frac{1}{\rho} \vec{\nabla}P \cdot d\vec{r}, \dots \dots \dots (19)$$

$$\therefore \vec{\nabla}\Omega \cdot d\vec{r} = \frac{\partial \Omega}{\partial x} dx + \frac{\partial \Omega}{\partial y} dy + \frac{\partial \Omega}{\partial z} dz = d\Omega$$

وأيضا

$$\vec{\nabla}P \cdot d\vec{r} = \frac{\partial P}{\partial x} dx + \frac{\partial P}{\partial y} dy + \frac{\partial P}{\partial z} dz = dP$$

وكذلك

$$\frac{d^2\vec{r}}{dt^2} \cdot d\vec{r} = \frac{d^2x}{dt^2} dx + \frac{d^2y}{dt^2} dy + \frac{d^2z}{dt^2} dz$$

$$\frac{d^2x}{dt^2} = \frac{du}{dt} = \frac{du}{dx} \frac{dx}{dt} = u \frac{du}{dx}$$

$$\frac{d^2y}{dt^2} = \frac{dv}{dt} = \frac{dv}{dy} \frac{dy}{dt} = v \frac{dv}{dy}$$

$$\frac{d^2z}{dt^2} = \frac{dw}{dt} = \frac{dw}{dy} \frac{dy}{dt} = w \frac{dw}{dy}$$

$$\therefore \frac{d^2\vec{r}}{dt^2} \cdot d\vec{r} = u \frac{du}{dx} dx + v \frac{dv}{dy} dy + w \frac{dw}{dy} dz = u du + v dv + w dw$$

.. المعادلة (19) يمكن كتابتها في الصورة الآتية :

$$udu + vdv + wdw = -d\Omega - \frac{dP}{\rho}$$

بالتكامل :

$$\frac{1}{2} (u^2 + v^2 + w^2) = -\Omega - \frac{P}{\rho} + Const.$$

وحيث أن :

$$\begin{aligned} \vec{q} &= u\vec{i} + v\vec{j} + w\vec{k} \Rightarrow q^2 = u^2 + v^2 + w^2 \\ \therefore \frac{1}{2}q^2 &= -\Omega - \frac{P}{\rho} + Const. \\ \therefore \frac{1}{2}q^2 + \Omega + \frac{P}{\rho} &= Const.,(20) \end{aligned}$$

وتسمى المعادلة (20) بمعادلة برنولي للمائع المثالي والغير قابل للانضغاط.

أمثلة على حركة المائع المثالي :

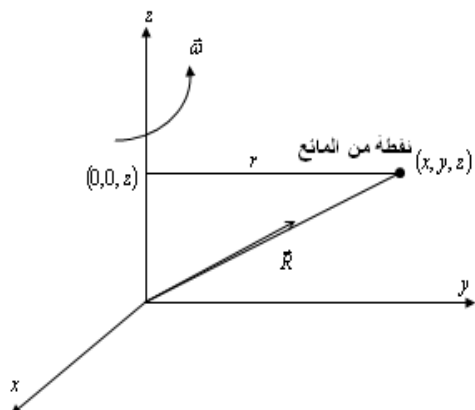
(١) يدور مائع كجسم صلب بسرعة زاوية $\bar{\omega} = \omega\hat{z}$ حول المحور z فإذا كانت القوة الوحيدة الخارجية المؤثرة هي قوة الجاذبية الأرضية فثبت أن :

$$\frac{P}{\rho} = \frac{1}{2} \omega^2 r^2 - gz + Const.$$

حيث g عجلة الجاذبية الأرضية ، r البعد عن محور z .

الحل:

معادلة اوبلير للحركة هي :



$$\frac{d\vec{q}}{dt} = \vec{F} - \frac{1}{\rho} \vec{\nabla} P$$

$$\vec{f} = \vec{F} - \frac{1}{\rho} \vec{\nabla} P$$

حيث $\vec{f} = \frac{d\vec{q}}{dt}$ هو متجه العجلة . ولكن :

$$\vec{F} = -g\vec{k}$$

$$\vec{F} = -\vec{\nabla}(gz)$$

وكذلك

$$\vec{f} = \frac{\partial \vec{q}}{\partial t} + \vec{\nabla} \left(\frac{1}{2} q^2 \right) + \vec{\xi} \wedge \vec{q}$$

حيث

$$\vec{q} = \vec{\omega} \wedge \vec{R} = \begin{vmatrix} \vec{i} & \vec{j} & \vec{k} \\ 0 & 0 & \omega \\ x & y & z \end{vmatrix}$$

$$\therefore \vec{q} = -\omega y \vec{i} + \omega x \vec{j}$$

حيث \vec{q} سرعة نقطة من مائع متوجه موضعها هو $(x, y, z) = \vec{R}$ وذلك بالنسبة لمجموعة محاور متعامدة نقطة أصلها النقطة الثابتة o كما بالشكل .

$$\frac{1}{2} q^2 = \frac{1}{2} [\vec{q} \cdot \vec{q}] = \frac{1}{2} \omega^2 (x^2 + y^2) = \frac{1}{2} \omega^2 r^2$$

$$\xi = \vec{\nabla} \wedge \vec{q} = \begin{vmatrix} \vec{i} & \vec{j} & \vec{k} \\ \frac{\partial}{\partial x} & \frac{\partial}{\partial y} & \frac{\partial}{\partial z} \\ -\omega y & \omega x & 0 \end{vmatrix} = 2\omega \vec{k} = 2\vec{\omega}$$

$$\xi \wedge \vec{q} = \begin{vmatrix} \vec{i} & \vec{j} & \vec{k} \\ 0 & 0 & 2\omega \\ -\omega y & \omega x & 0 \end{vmatrix} = -2\omega^2 \vec{r}$$

وحيث أن الحركة لازمية فان $\frac{1}{2} q^2$ في معادلة الحركة وبالتعويض عن $\vec{q}, \vec{F}, \vec{\xi} \wedge \vec{q}$ وبالتعويض عن $\frac{\partial \vec{q}}{\partial t} = 0$

نجد أن:

$$\vec{\nabla} \left(\frac{1}{2} \omega^2 r^2 \right) - 2\omega^2 \vec{r} = -\vec{\nabla}(gz) - \vec{\nabla} \left(\frac{P}{\rho} \right)$$

$$\vec{\nabla} \left(\frac{1}{2} \omega^2 r^2 \right) - \vec{\nabla}(\omega^2 r^2) = -\vec{\nabla}(gz) - \vec{\nabla} \left(\frac{P}{\rho} \right)$$

$$\vec{\nabla} \left[\frac{1}{2} \omega^2 r^2 - \omega^2 r^2 + gz + \frac{P}{\rho} \right] = 0$$

$$\vec{\nabla} \left[\frac{1}{2} \omega^2 r^2 - gz - \frac{P}{\rho} \right] = 0$$

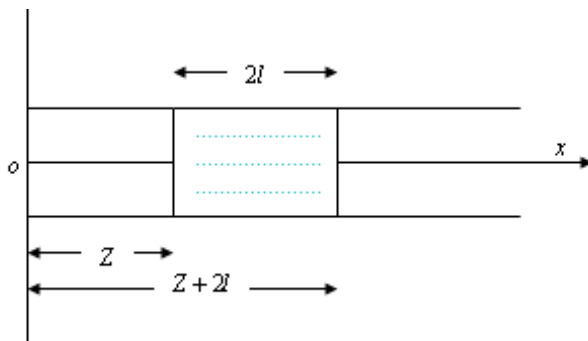
بالتكمال

$$\frac{1}{2} \omega^2 r^2 - gz - \frac{P}{\rho} = Const.$$

$$\therefore \frac{P}{\rho} = \frac{1}{2} \omega^2 r^2 - gz + Const.$$

(٢) كمية من سائل تشغل طول $2l$ من أنبوبة مستقيمة ذات مقطع منتظم وتقع تحت تأثير قوة تتجه دائما نحو نقطة ثابتة في الأنبوبة تتناسب مع البعد عن هذه النقطة . اوجد الحركة والضغط عند أي نقطة .

الحل :



نفرض أن z هو بعد النقطة الثابتة عن الطرف الحر
ندرس السائل على بعد x من o فتكون القوة
الخارجية المؤثرة لوحدة الأطوال هي μx (حيث
وحدة الأطوال هنا تتناسب مع وحدة الحجوم) وتتجه
إلى النقطة o وحيث أن الأنبوبة رفيعة فإن الحركة
تكون في بعد واحد تقريبا .

معادلة الاتصال تأخذ الصورة :

$$\frac{\partial u}{\partial x} = 0$$

معادلة الحركة تأخذ الصورة :

$$\frac{\partial u}{\partial t} + u \frac{\partial u}{\partial x} = -\frac{1}{\rho} \frac{\partial P}{\partial x} - \mu x$$

بالتعریض من معادلة الاتصال نحصل على :

$$\frac{\partial u}{\partial t} = -\frac{1}{\rho} \frac{\partial P}{\partial x} - \mu x$$

من معادلة الاتصال نجد أن u ليست دالة في المتغير x أي أن $u = u(t)$ ومن ذلك نجد أن $\frac{\partial u}{\partial t}$ دالة في الزمن فقط . بتكامل معادلة الحركة نحصل على :

$$x \frac{du}{dt} = -\frac{P}{\rho} - \frac{1}{2} \mu x^2 + A, \dots \dots \dots (1)$$

حيث A مقدار ثابت ، وحيث أن P_o الضغط الجوي عند النقط $z, z + 2l$ فان :

$$\begin{aligned} z \frac{du}{dt} &= -\frac{P_o}{\rho} - \frac{1}{2} \mu z^2 + A \\ (z + 2l) \frac{du}{dt} &= -\frac{P_o}{\rho} - \frac{1}{2} \mu (z + 2l)^2 + A \\ \therefore \frac{du}{dt} &= -\mu(z + l), \dots \dots \dots (2) \end{aligned}$$

وحيث أن $u = \frac{dz}{dt}$ فان المعادلة (2) تأخذ الصورة :

$$\frac{d^2 z}{dt^2} = -\mu(z + l)$$

أي أن السائل داخل الأنبوة يتحرك حركة تواافقية بسيطة .

$$z + l = \beta \cos(\sqrt{\mu t} + \alpha)$$

حيث β ، α ثوابت تتبع من الشروط الابتدائية . يمكن حساب الضغط عند أي نقطة من المعادلة

(1)

$$-x\mu(z + l) = -\frac{P}{\rho} - \frac{1}{2}\mu x^2 + A$$

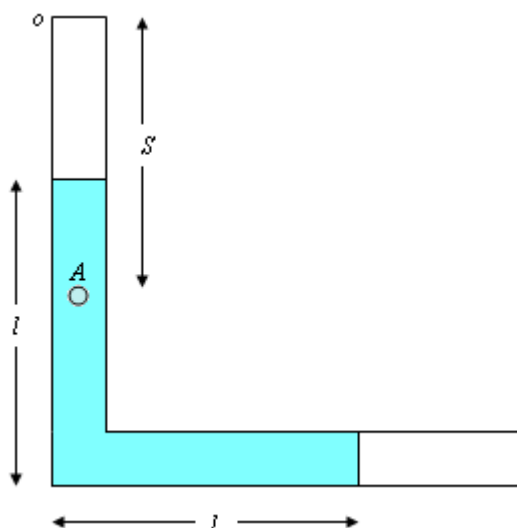
وبالتعويض عن صحة A نحصل على :

$$\frac{P}{\rho} = \frac{1}{2}\mu(z - x)(x - z - 2l)$$

(٣) أنبوبة مستقيمة ذات مقطع منتظم على شكل زاوية قائمة ثبتت بحيث يكون أحد أضلاع الزاوية القائمة أفقيا والآخر راسيا والسائل يملأ الجزء الرأسى إلى ارتفاع l والأفقي إلى بعد l من الرأس حيث يوجد صنبور مغلق فإذا فتح الصنبور ووجد بعد زمن t أن سطح السائل في الجزء الرأسى قد انخفض مسافة z فثبتت أن :

$$z = l(1 - \cos \omega t)$$

حيث $\omega^2 = \frac{g}{2l}$ ثم اوجد الضغط عند أي نقطة في الأنبوة عند هذه اللحظة .

الحل :

نفرض أن S بعد أي نقطة A في السائل عن o وان سرعة أي نقطة A في اتجاه الأنبوة ، من معادلة الاتصال يتضح أن :

$$\frac{\partial q}{\partial S} = 0$$

أي أن q لا تعتمد على S وهي وبالتالي تساوي سرعة هبوط سطح السائل \dot{z}

$$q = \dot{z}, \dots \dots \dots \dots \dots \dots \dots \quad (1)$$

ولكن الحركة غير دورانية وبإدخال جهد السرعة Φ

$$q = -\frac{\partial \Phi}{\partial S}$$

$$\Phi = -qS + Const., \dots \dots \dots \dots \dots \dots \quad (2)$$

من معادلة برنولي

$$\frac{1}{2} q^2 - \frac{\partial \Phi}{\partial t} + \Omega + \frac{P}{\rho} = Const., \dots \dots \dots \dots \dots \dots \quad (3)$$

$$\frac{1}{2} \dot{z}^2 - \ddot{S}z + \Omega + \frac{P}{\rho} = Const., \dots \dots \dots \dots \dots \dots \quad (4)$$

إذا كانت النقطة A في الجزء الرأسي من الأنبوة فان :

$$\Omega = -gS$$

وإذا كانت في الجزء الأفقي من الأنبوة :

$$\Omega = -gl$$

بفرض أن P_o هي الضغط الجوي فان :

$$P = P_o \quad at \quad z = S \quad , \quad S = z + 2l$$

من المعادلة (4) نجد أن :

$$\left. \begin{aligned} \frac{1}{2} \dot{z}^2 - z\ddot{z} - gz - \frac{P_o}{\rho} &= Const. \\ \frac{1}{2} \dot{z}^2 - (z + 2l)\ddot{z} - gl + \frac{P_o}{\rho} &= Const. \end{aligned} \right\}(5)$$

بالطرح نجد أن :

$$\ddot{z} = -\frac{g}{2l}(z - l),(6)$$

وعلى ذلك تكون الحركة توافقية بسيطة

$$z - l = a \cos \left(\sqrt{\frac{g}{2l}} t + \alpha \right)$$

وحيث أن :

$$z = \dot{z} = 0 \quad \text{at} \quad t = 0$$

$$\therefore A = -l \quad , \quad \alpha = 0$$

$$z = l \left(1 - \cos \sqrt{\frac{g}{2l}} t \right)$$

ولإيجاد الضغط عند أي لحظة نوجد أولاً الثابت في المعادلة (5) ثم نعرض في المعادلة (4) السرعة في اتجاه المماس للمسار وتساوي

$$v = \alpha r^{n+1}$$

وبحساب $\operatorname{Curl} \bar{v}$ في الإحداثيات القطبية .

$$\operatorname{Curl} \bar{v} = \frac{1}{r} \frac{\partial}{\partial r} (rv) = \frac{\alpha}{r} \frac{\partial}{\partial r} (r^{n+2}) = \alpha(n+2)r^n$$

فإذا كانت $n = -2$ فان $\operatorname{Curl} \bar{v}$ يساوي الصفر وتكون الحركة غير دورانية .

(٤) أنبوبة مفتوحة الطرفين على شكل منحني مستوى موضوعة بحيث كان مستواها رأسيا

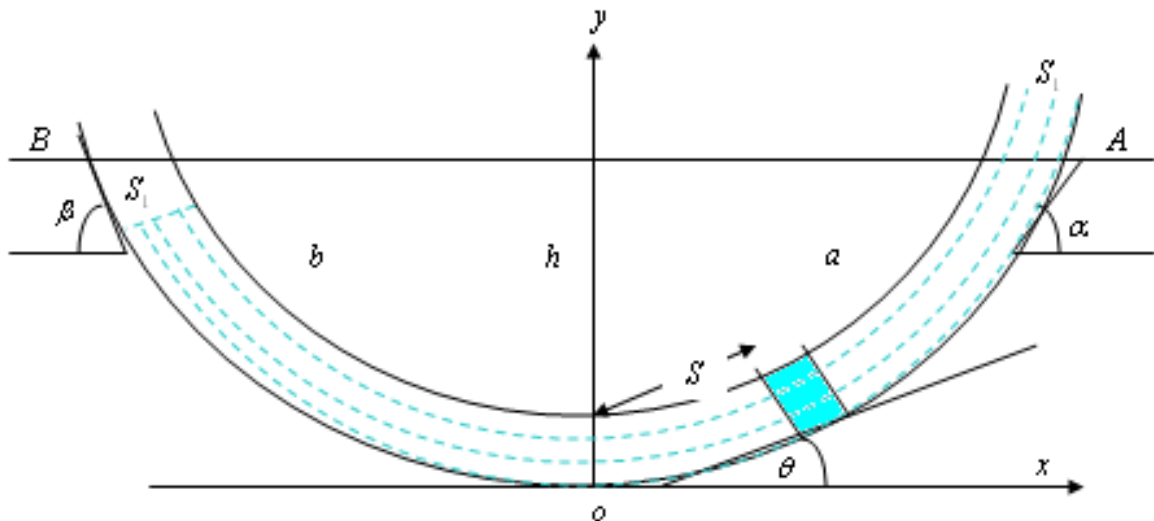
والفتحتين إلى أعلى . أثبتت أن زمن الذبذبة لسائل داخل الأنبوبة هو

حيث a, b هما بعد أسفل نقطة من الأنبوبة من سطحي السائل في حالة الاتزان عند AB وكذلك

α, β هما الزاویتان بين كل من المماسين عند AB والأفقي .

الحل:

نفرض أن o هي أدنى نقطة من الأنبوة ، A, B مستوى اتزان السائل في الأنبوة ، h ارتفاع عن o ، θ زاوية ميل الأنبوة عند نقطة منها على بعد S من o كما بالرسم .



ولنفرض انه في اللحظة t أزيح السائل مسافة صغيرة S أعلى الأنبوة من اتزان . فإذا كانت u هي السرعة وحيث أن المائع غير قابل للانضغاط فان معادلة الاتصال تأخذ الصورة :

$$\frac{\partial u}{\partial S} = 0$$

وعلي ذلك فان العجلة هي :

$$\frac{du}{dt} = \frac{\partial u}{\partial t} + u \frac{\partial u}{\partial S}$$

أي أن العجلة تصبح مساوية ل $\frac{\partial u}{\partial t}$ ، وعلى ذلك فان معادلة الحركة تأخذ الصورة :

$$\frac{\partial u}{\partial t} = -g \sin \theta - \frac{1}{\rho} \frac{\partial P}{\partial S}$$

$$\frac{\partial u}{\partial t} = -g \frac{dy}{dS} - \frac{1}{\rho} \frac{\partial P}{\partial S}$$

وبالتكامل وباعتبار t ثابت نجد أن :

$$S \frac{\partial u}{\partial t} = -gy - \frac{P_o}{\rho} + f(t)$$

حيث $f(t)$ ثابت التكامل اللحظي وذلك باعتبار السائل غير قابل للانضغاط وبأخذ القيم عند طرفي الأنبوة في نفس اللحظة نجد أن :

$$(a + S_1) \frac{\partial u}{\partial t} = -g(h + S_1 \sin \alpha) - \frac{P_o}{\rho} + f(t)$$

$$-(b - S_1) \frac{\partial u}{\partial t} = -g(h - S_1 \sin \beta) - \frac{P_o}{\rho} + f(t)$$

حيث P_o الضغط الجوي ، وبالطرح نجد أن :

$$(a + b) \frac{\partial u}{\partial t} = -g S_1 (\sin \alpha + \sin \beta)$$

$$\frac{\partial u}{\partial t} = \frac{\partial^2 S_1}{\partial t^2} = \ddot{S}_1$$

$$u = \frac{dS_1}{dt} \quad \text{حيث}$$

$$\therefore (a+b)\ddot{S}_1 = -gS_1(\sin\alpha + \sin\beta)$$

$$\ddot{S}_1 = \frac{-g(\sin\alpha + \sin\beta)}{a+b} S_1$$

و هذه تمثل معادلة حركة توافقية بسيطة وزمنها الدوري

$$\tau = 2\pi \sqrt{\frac{a+b}{g(\sin\alpha + \sin\beta)}}$$

(٥) أنبوبة طولها l (مساحة مقطعها يقل بانتظام) تميل على الأفقي بزاوية α وهناك تيار منتظم من الماء (مائع غير قابل للانضغاط) يمر من الفتحة العليا إلى الفتحة السفلية . فإذا كان نصف قطر الفتحة العليا ضعف نصف قطر الفتحة السفلية وكان تيار الماء الخارج من الفتحة السفلية تحت ضغط يساوي الضغط الجوي بينما كان الضغط عند الفتحة العليا ضعف الضغط الجوي فما هي السرعة التي يخرج بها الماء من الفتحة السفلية .

الحل :

نفرض أن q_1 هي السرعة التي يدخل بها تيار الماء إلى الأنابيب وأن q_2 هي السرعة التي يخرج بها تيار لماء من الأنابيب من طرفها الآخر.

ولنفرض أن a نصف قطر القاعدة السفلية ، $2a$ نصف قطر القاعدة العليا . وبأخذ الأفقي المار بمركز القاعدة العلوية معرفاً لمستوي الصفر لطاقة الموضع ويرجع أن P_0 هو الضغط الجوي فإن

P_o يكون هو الضغط عند الحافة التي يخرج منها تيار الماء ، $2P_o$ هو الضغط عند الحافة التي يدخل منها تيار الماء.

وحيث أن الحركة لازمنية والمائع غير قابل للانضغاط فإن معادلة برنولي تأخذ الصورة :

$$\frac{P_o}{\rho} + \frac{1}{2}q^2 + \Omega = C$$

حيث C ثابت .

وعند الطرف العلوي يكون :

$$\frac{2P_o}{\rho} + \frac{1}{2}q_1^2 + o = C \dots \dots \dots (1)$$

ويلاحظ أن $(glSin\alpha - glSin\alpha)$ تمثل طاقة الوضع لوحدة الكتل عند الطرف السفلي نتيجة لقوة الجاذبية بينما طاقة الوضع عند الطرف العلوي تساوي صفر كما فرضنا . ولذلك فإنه عند الطرف السفلي يكون :

$$\frac{P_o}{\rho} + \frac{1}{2}q_2^2 - glSin\alpha = C \dots \dots \dots (2)$$

من (1) ، (2) نجد أن :

$$\frac{2P_o}{\rho} + \frac{1}{2}q_1^2 = \frac{P_o}{\rho} + \frac{1}{2}q_2^2 - glSin\alpha \dots \dots \dots (3)$$

وحيث أن المائع غير قابل للانضغاط فإن معادلة الاتصال تأخذ الصورة :

$$q_1(4\pi a^2) = q_2\pi a^2$$

$$\therefore q_2 = 4q_1 \dots \dots \dots \dots \quad (4)$$

وبحذف q_1 بين (3) ، (4) نجد أن :

$$\begin{aligned} \frac{15}{32}q_2^2 &= glSin\alpha + \frac{P_o}{\rho} \\ \therefore q_2^2 &= \frac{32}{15} \left(glSin\alpha + \frac{P_o}{\rho} \right) \end{aligned}$$

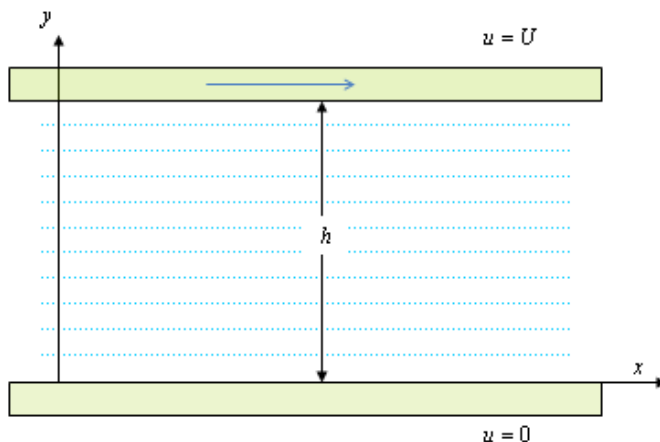
وهذه هي المعادلة التي تبين سرعة الخروج من الفتحة السفلية .

حلول بعض مسائل حركة المائع اللزجة الغير قابلة للانضغاط Exat Solutions of Viscous Incompressible Flow

لا يوجد حل عام لمعادلات نافير ستوكس لحركة المائع اللزج . ورغم ذلك فهناك مسائل محددة
تمكن حلها ومعظمها مرتبطة بالحركة في بعد واحد أو في وجود تماثل اسطواني والسرعات ليست
كبيرة في حالة السريان الرقائقي (Laminar Flow) وسوف ندرس فيما يلي بعض هذه
المسائل .

(١) سريان كويت اللازمني : Steady Couette Flow

أو السريان في قنطرة مستوية لا نهائية الطول . وهو الحركة في بعد واحد ويناظر حركة مائع لزج بين مستويين لا نهائين متوازيين أحدهما ثابت والآخر متحرك بسرعة ثابتة U والحركة لا تعتمد على الزمن .



حركة السائل تكون في اتجاه محور x وبذلك تكون $v = w = 0$ ، وكذلك تكون $P = Const.$ بالتعويض في معادلة الاتصال (بفرض أن المائع غير قابل للانضغاط) تؤول معادلة الاتصال إلى :

$$\frac{\partial u}{\partial t} = 0$$

وبالتعويض في معادلة نافير ستوكس في اتجاه محور x تصبح معادلة الحركة في اتجاه محور x هي

$$\mu \frac{\partial^2 u}{\partial y^2} = 0 \quad -\infty < x < \infty$$

$$\frac{\partial^2 u}{\partial y^2} = C_1$$

ومنها

$$u = C_1 y + C_2$$

والشروط الحدية في المسألة هي :

$$C_2 = 0 \quad \text{عندما } y = 0 \quad u = 0$$

$$C_1 = \frac{U}{h} \quad \text{عندما } y = h \quad u = U$$

$$\therefore u = \frac{U}{h} y$$

والإجهاد :

$$P_{xy} = \mu \left(\frac{\partial v}{\partial x} + \frac{\partial u}{\partial y} \right)$$

$$P_{xy} = \mu \frac{\partial u}{\partial y} = \mu \frac{du}{dy} = C_1 \mu = \mu \frac{U}{h}$$

ويلاحظ انه ثابت في كل الفراغ بين المستويين . والسرعة المتوسطة في هذه الحالة تتعين من :

$$\bar{u} = \frac{1}{h} \int_0^h u dy = \frac{1}{h} \int_0^h \frac{U}{h} y dy = \frac{U}{h^2} \frac{h^2}{2}$$

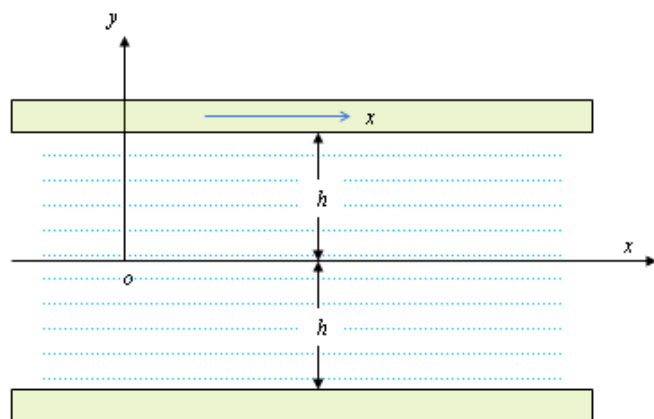
$$\therefore \bar{u} = \frac{U}{2}$$

سريان بوازيل اللازمني : Steady Poiseuille Flow

وهو عبارة عن حركة مائع لزج بين مستويين متوازيين طوilyin طولا كبيرا بحيث يكون التدرج في الضغط غير مساو للصفر ولكن صغير وهو الأساس في الحركة بينما في حالة سريان كويت فكان التدرج في الضغط مساويا للصفر وكان سبب الحركة هو الحركة النسبية بين المستويين .

يفرض أن محور x في منتصف المسافة بين المستويين وان $2h$ هي المسافة بين المستويين ، الحركة في بعد واحد في اتجاه محور x $v=w=0$ وبالتالي في معادلة الاتصال وتؤول عند إلى :

$$\frac{\partial u}{\partial x} = 0, \dots \dots \dots \quad (1)$$



ومنها نجد أن :

$$u = u(y), \dots \quad (2)$$

بكتابه معادلة الحركة في اتجاه محور x :

$$\left(\frac{\partial u}{\partial t} + u \frac{\partial u}{\partial x} + v \frac{\partial u}{\partial y} + w \frac{\partial u}{\partial z} \right) = X - \frac{1}{\rho} \frac{\partial P}{\partial x} + \frac{\mu}{\rho} \left(\frac{\partial^2 u}{\partial x^2} + \frac{\partial^2 u}{\partial y^2} + \frac{\partial^2 u}{\partial z^2} \right), \dots \quad (3)$$

$$\left(\frac{\partial v}{\partial t} + u \frac{\partial v}{\partial x} + v \frac{\partial v}{\partial y} + w \frac{\partial v}{\partial z} \right) = Y - \frac{1}{\rho} \frac{\partial P}{\partial y} + \frac{\mu}{\rho} \left(\frac{\partial^2 v}{\partial x^2} + \frac{\partial^2 v}{\partial y^2} + \frac{\partial^2 v}{\partial z^2} \right), \dots \quad (4)$$

\therefore معادلة الحركة في اتجاه محور y :

$$\frac{\partial P}{\partial y} = 0$$

ومنها

$$P = P(x), \dots \quad (5)$$

$$\therefore \frac{\partial P}{\partial x} = \frac{dP}{dx}$$

ومن معادلة الحركة في اتجاه محور x :

$$\frac{1}{\rho} \frac{\partial P}{\partial x} = v \frac{\partial^2 u}{\partial y^2}, \dots \quad (6)$$

$$v = \frac{\mu}{\rho} \quad \text{حيث}$$

الطرف الأيسر في (6) دالة في x فقط بينما الطرف الأيمن دالة في y فقط وهذا لا يحدث إلا إذا كان كلا من الطرفين يساوي مقدار ثابت.

$$\begin{aligned} v \frac{\partial^2 u}{\partial y^2} &= \frac{1}{\rho} \frac{\partial P}{\partial x} = Const. \\ v \frac{d^2 u}{dy^2} &= \frac{1}{\rho} \frac{dP}{dx} = Const. \\ \frac{du}{dy} &= \frac{1}{\rho v} \frac{dP}{dx} y + C_1 \\ u &= \frac{1}{2\mu\rho} \frac{dP}{dx} y^2 + C_1 y + C_2 \end{aligned}$$

وباستخدام الشروط الحدية وهي :
عندما $y = \pm h$ كانت $u = 0$ نجد أن :

$$C_2 = \frac{1}{2\mu\rho} \frac{dP}{dx} h^2 \quad , \quad C_1 = 0$$

وبذلك يكون قانون السرعة يعطي في الصورة :

$$u = \frac{1}{2\mu} \frac{dP}{dx} (y^2 + h^2)$$

والإجهاد P_{xy} يعطي من الصورة :

$$P_{xy} = \mu \frac{du}{dy} = \frac{\mu}{\rho v} \frac{dP}{dx} y$$

$$\therefore P_{xy} = \frac{dP}{dx} y$$

وبوضع $y = \pm h$ نحصل على الإجهاد على الجدران . السرعة المتوسطة \bar{u} تتعين من المعادلة :

$$\bar{u} = \frac{1}{2h} \int_{-h}^h u dy = \frac{1}{2h} \int_{-h}^h \frac{1}{2\mu} \frac{dP}{dx} (y^2 + h^2) dy = \frac{1}{4\mu} \frac{dP}{dx} \int_{-h}^h (y^2 + h^2) dy$$

$$\bar{u} = \frac{1}{4\mu} \frac{dP}{dx} \left[\frac{y^3}{3} + h^2 y \right]_{-h}^h = -\frac{1}{3\mu} \frac{dP}{dx} h.$$

(٣) سريان بوازيل الاسطواني :

تحتوي معادلات الحركة على حد به مؤثر لابلاس مما يجعل الحركة من الرتبة الثانية ولكن هذه المعادلة تأخذ شكلا سهلا في حالة وجود تماثل اسطواني في حالة الحركة بين اسطوانتين دائريتين طويتين نستخدم الإحداثيات الاسطوانية بدلا من الإحداثيات الكرتيزية تؤدي معادلة الاتصال إلى أن:

$$v = v(r)$$

ومعادلة الحركة تأخذ الصورة :

$$\frac{1}{r} \frac{d}{dr} \left(r \frac{dv}{dr} \right) = \frac{1}{\rho \mu} \left(\frac{dP}{dz} \right), \dots \dots \dots (1)$$

وحيث أن أحد الطرفين داله في r والآخر في z ، وتكامل المعادلة (1) يعطي :

$$r \frac{dv}{dr} = \frac{1}{2\rho\mu} \left(\frac{dP}{dz} \right) r^2 + C_1$$

$$\frac{dv}{dr} = \frac{1}{2\rho\mu} \left(\frac{dP}{dz} \right) r + \frac{C_1}{r}$$

وتكامل المعادلة السابقة يعطي :

$$v = \frac{1}{4\rho\mu} \left(\frac{dP}{dz} \right) r^2 + C_1 \ln r + C_2, \dots \dots \dots \quad (2)$$

وتعين الثوابت C_1, C_2 من الشروط الحدية ، حيث أن الاسطوانتين ثابتتين فيكون :

$$v(R_1) = 0 \quad , \quad v(R_2) = 0$$

وعندما تكون احدى الاسطوانتين تدور بسرعة زاوية Ω_1 فتكون سرعتها الخطية $R_1\Omega_1$ وتدور الثانية بسرعة زاوية Ω_2 وتكون سرعنها الخطية $R_2\Omega_2$ وبذلك يكون لدينا شرطين لتعيين

$$. \quad C_1, C_2$$

وفي حالة اسطوانة واحدة لتعيين C_1, C_2 يكون لدينا على جدار الأنبوبة $v(R) = 0$ وتكون السرعة محدودة وبالتالي في هذه الحالة يكون $C_1 = 0$ ويصبح قانون السرعة :

$$v = \frac{1}{4\rho\mu} \left(\frac{dP}{dz} \right) (r^2 - R^2)$$

ويمكن حل المسألة السابقة باستخدام الإحداثيات الكرتيزية وذلك بفرض أن السرعة ω دالة في y, z ولا تعتمد على x ومركبات السرعة $u = v = 0$ حيث x هو محور الاسطوانة ومعادلة مقطع الاسطوانة هي $y^2 + z^2 = R^2$ ويكون الضغط دالة في x فقط وبكتابة معادلة الحركة :

$$\frac{\partial^2 \omega}{\partial y^2} + \frac{\partial^2 \omega}{\partial z^2} = \frac{1}{4\rho\mu} \left(\frac{dP}{dz} \right) = Const., \dots \dots \dots \quad (3)$$

وبوضع الحل على الصورة :

$$\omega = C \left(1 - \frac{y^2 + z^2}{R^2} \right)$$

وبالتعويض في معادلة (3) نحصل على قيمة C وبذلك يكون الحل هو :

$$\omega = \frac{1}{4\rho\mu} \left(\frac{dP}{dx} \right) (y^2 + z^2 - R^2) = \frac{1}{4\rho\mu} \left(\frac{dP}{dx} \right) (r^2 - R^2)$$

ويمكن حساب التدفق أو التصرف للمائع في الثانية خلال مقطع للاسطوانة على الصورة :

$$Q = 2\pi\rho \int_0^R \omega r dr$$

$$Q = 2\pi\rho \left(\frac{dP}{dz} \right) R^3$$

أي أن التصرف يتناسب طردياً مع مكعب القطر وتدرج الضغط وهو ما يسمى بقانون بوازيل .

مثال (١)

اسطوانة مقطعاً مستطيل محدد بالمستقيمات $y = \pm b$ ، $x = \pm a$ ، أوجد قانون سرعة مائع لزج يمر داخل الاسطوانة الطويلة .

الحل :

معادلة الاتصال تؤدي إلى أن السرعة W لا تعتمد على z والتغيير في الضغط لا يعتمد على كلا من x, y والسرعة W من معادلات الحركة تحقق المعادلة :

$$\frac{\partial^2 W}{\partial x^2} + \frac{\partial^2 W}{\partial y^2} = -\frac{1}{\rho \mu} \left(\frac{dP}{dz} \right), \dots \dots \dots (1)$$

والشروط الحدية هي :

$$y = \pm b , \quad x = \pm a , \quad W = 0$$

ويمكن أخذ حل خاص للمعادلة (1) يحقق الشروط الحدية $x = \pm a$ فيكون :

$$W_1 = \frac{1}{2\rho\mu} \left(\frac{dP}{dz} \right) (a^2 - x^2), \dots \dots \dots (2)$$

وبجعل المعادلة (1) مجموع حلتين إحداهما W_1 أي أن :

$$W = W_1 + W_2$$

وبالتعويض في معادلة (١) نحصل على :

$$\frac{\partial^2 W}{\partial x^2} + \frac{\partial^2 W}{\partial y^2} = 0, \dots \dots \dots (3)$$

أي أن معادلة بواسون (١) تحولت إلى معادلة لابلاس (٣) والتي يمكن حلها باستخدام فصل المتغيرات بوضع :

$$W_2(x, y) = X(x)Y(y)$$

وتؤول معادلة لابلاس إلى المعادلتين التفاضلتين :

$$-\frac{X''}{X} = \frac{Y''}{Y} = Const. = C_n^2$$

وحل هاتين المعادلتين هو

$$\begin{aligned} X_n &= A_n \cos(C_n x) + B_n \sin(C_n x) \\ Y_n &= C_n \cosh(C_n y) + D_n \sinh(C_n y) \end{aligned}$$

ومن تماثل المسألة فلا بد أن تكون الدالة W_1 دالة زوجية في كلا من x, y ولما كانت W_1 زوجية فلا بد أن تكون W_2 أيضاً زوجية وهذا يعني أن :

$$B_n = D_n = 0$$

وبذلك نحصل على :

$$W_2 = \sum_{n=0}^{\infty} \lambda_n \cos(C_n x) \cosh(C_n y)$$

وبذلك يكون حل المعادلة (1) هو :

$$W = \frac{1}{2\rho\mu} \left(\frac{dP}{dz} \right) (a^2 - x^2) + \sum_{n=0}^{\infty} \lambda_n \cos(C_n x) \cosh(C_n y)$$

: $x = \pm a$ عندما $W = 0$ والشروط الحدية هي

$$\therefore \cos C_n a = 0 \Rightarrow C_n = \left(\frac{2n+1}{2a} \right) \pi$$

وبذلك الشرط $W = 0$ عندما $y = \pm b$ يعطي :

$$-\frac{1}{2\rho\mu} \left(\frac{dP}{dz} \right) (a^2 - x^2) = \sum_{n=0}^{\infty} \lambda_n \cos(2n+1) \frac{\pi x}{2a} \cosh(2n+1) \frac{\pi b}{2a}$$

وبضرب كلا من الطرفين في $\cos(2n+1) \frac{\pi x}{a}$ والتكامل من $-a$ إلى a نحصل على :

$$\begin{aligned} & \frac{-1}{2\rho\mu} \left(\frac{dP}{dz} \right) \int_{-a}^a (a^2 - x^2) \frac{\cos(2n+1)\pi x}{a} dx = \\ & \sum_{n=0}^{\infty} \lambda_n \left(\cosh(2n+1) \frac{\pi b}{2a} \right) \times \int_{-a}^a \cos(2n+1) \frac{\pi x}{a} \cos(2n+1) \frac{\pi x}{2a} dx \\ & \lambda_n = \frac{1}{2\rho\mu} \frac{(-1)^n 32a^2 \left(\frac{dP}{dz} \right)}{\pi^3 (2n+1)^3 \cosh(2n+1) \frac{\pi b}{2a}} \end{aligned}$$

ويكون قانون السرعة على الصورة :

$$W = \frac{1}{2\rho\mu} \left(\frac{dP}{dz} \right) (a^2 + x^2) - \frac{32a^2}{\pi^3} \times \sum_{n=0}^{\infty} \left[\sum_{n=0}^{\infty} \left[\frac{(-1)^n \cos(2n+1) \frac{\pi x}{2a} \cosh(2n+1) \frac{\pi y}{2a}}{(2n+1) \frac{\pi b}{2a}} \right] \right]$$

الحركة المعتمدة على الزمن لمستوى لا نهائي في مائع لزج غير قابل للانضغاط :

من المسائل التي يمكن إيجاد حل مضبط لها هي مسألة حركة مستوى لا نهائي تحرك فجأة في مستوى بسرعة ثابتة أو تذبذب في مستوى في مائع لزج وهي حركة في بعد واحد ولكن معتمدة على الزمن . وفي هذه الحالة نجد أن :

$$\begin{aligned} v &= w = 0 \\ u &= u(y, t) \end{aligned}$$

ومعادلة الحركة تأخذ الصورة :

$$\frac{\partial u}{\partial t} = v \frac{\partial^2 u}{\partial y^2}, \dots \dots \dots \quad (1)$$

والشروط في حالة الحركة المفاجئة هي :

$$u(y,0) = 0 \quad , \quad y > 0$$

$$u(0,t) = u_o \quad , \quad u(\infty, t) = 0$$

ويمكن تحويل المعادلة التفاضلية الجزئية (1) إلى معادلة تفاضلية عادية وذلك بوضع :

$$\eta = \frac{y}{2\sqrt{vt}} \quad , \quad u = u_o f(\eta)$$

فتأخذ المعادلة (1) الصورة :

$$f'' + 2\eta f' = 0, \dots \dots \dots \quad (2)$$

تحت الشروط الحدية :

$$f(0) = 1 \quad , \quad f(\infty) = 0$$

وبتكامل المعادلة (2) مرتين نحصل على :

$$f(\eta) = C_1 \int_0^\eta e^{-\eta^2} d\eta + C_2$$

$$C_1 = 1 \quad , \quad C_2 = \frac{1}{\int_0^{\infty} e^{-\eta^2} d\eta} = -\frac{2}{\sqrt{\pi}}$$

وقانون السرعة يأخذ الصورة :

$$u = u_o (1 - erf\eta)$$

حيث $erf\eta$ هي دالة الخطأ التي لها الصورة :

$$erf\eta = \frac{2}{\sqrt{\pi}} \int_0^{-\eta} e^{-\eta^2} d\eta$$

وفي حالة ذبذبة المستوى بسرعة $u_o \cos(nt)$ فيمكن وضع :

$$u(0, t) = u_o \cos(nt) = u_o \operatorname{Re}(e^{int})$$

ويمكن وضع الحل في الصورة :

$$u(y, t) = \operatorname{Re}(e^{int}) f(y)$$

ومعادلة الحركة تأخذ الصورة :

$$f'' = \frac{in}{v} f$$

وبفرض أن الحل محدود عند ما لانهاية فنحصل على :

$$f(y) = Ae^{-\sqrt{\frac{in}{v}}y} = Ae^{-\sqrt{\frac{n}{2v}}y}$$
$$f(y) = u_0 e^{-\sqrt{\frac{n}{2v}}y} \cos\left(nt - \sqrt{\frac{n}{2v}}y\right).$$

تمارين

(١) سائل غير قابل للانضغاط موضوع داخل اسطوانة دائيرية مغلقة تدور حول محورها فإذا بدأت الحركة من السكون تحت تأثير القوة :

$$\frac{dw}{dt} = \frac{1}{2}(\gamma - \beta) ; \quad P = \frac{1}{2}\omega^2 r^2 + \frac{1}{2}\rho(\alpha x^2 + (\beta + \gamma)xy + \lambda y^2)$$

حيث r البعد عن المحور ، ω السرعة الزاوية حيث $\omega = \omega(t)$

(٢) أنبوبة رفيعة منتظمة المقطع على شكل ربع دائرة نصف قطرها a ومركزها O . فإذا وضعت بحيث كان OA أفقيا ، OB رأسيا حيث B أسفل O وإذا مثلت الأنبوبة بسائل كثافته ρ (حيث ρ ثابت) والطرف B مفتوحا ثم فتح الطرف B فجأة فأثبت انه عند $t=0$ يكون

$$\text{حيث } u = u(t) \text{ هي السرعة . أثبت كذلك أن الضغط عند نقطة بعدها الزاوي عن } A \frac{du}{du} = 2g/\pi$$

هو B ينزل مباشرة إلى $P_o + 3ga \left(\sin\theta - \frac{2\theta}{\pi} \right)$ حيث p_o الضغط الجوي . أثبت كذلك أنه عندما يكون المائع المتبقى في الأنبوبة يصنع زاوية β عند المركز فان :

$$\frac{d^2\beta}{dt^2} = -\frac{2g}{a\beta} \sin^2 \frac{\beta}{2}$$

الباب الثالث

الحركة المستوية المائعة مثلاً

Two-Dimensional Motion of an Ideal Fluid

(١) تعريف الحركة في بعدين :

إذا كانت المتغيرات للحركة لا تعتمد على البعد الثالث z مثلاً (في الإحداثيات الكرتيزية) كذلك سرعة السائل في هذا الاتجاه تساوي صفر أي أن :

$$W = 0 \quad , \quad \frac{\partial}{\partial z} = 0, \dots \dots \dots \quad (1)$$

في هذه الحالة يقال أن حركة السائل هي حركة في بعدين . فمثلاً إذا تكلمنا عن أي منحني أو أي خط في هذا المستوى فان هذا يعني إننا نتكلم عن اسطوانة لا نهاية لها المقطع هو هذا المنحني إذا إننا نتكلم عن مستوى ممتد إلى ما لانهاية له المقطع العمودي هو هذا الخط وعلى ذلك يكفي لدراسة هذه الحركة دراستها فقط في أحد المستويات العمودية على البعد الثالث z لأنه في جميع هذه المستويات تكون الحركة متشابهة .

(٢) دالة الانسياب : Stream Function

من معادلة الاتصال :

$$\frac{\partial \rho}{\partial t} + \vec{\nabla} \cdot (\rho \vec{q}) = 0$$

بوضع الشروط لحركة السائل في هذا الباب وهي :

١- الحركة جهدية للسائل أي سوف توجد دالة جهد السرعة Φ بحيث تكون السرعة على الصورة :

$$\vec{q} = \text{grad} \Phi = \nabla \Phi, \dots \dots \dots \quad (2)$$

في هذه الحالة سوف تكون الحركة غير دورانية أي أن متوجه الدوامة :

$$\vec{\zeta} = 0, \dots \dots \dots \quad (3)$$

٢- السائل مثالي وغير قابل للانضغاط فيكون في هذه الحالة الكثافة مقدار ثابت .

$$\rho = \text{Const.}, \dots \dots \dots \quad (4)$$

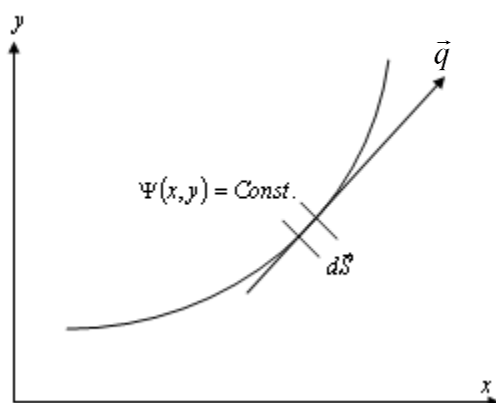
٣- حركة السائل في بعدين أي يتحقق الشرط (١) من شروط الحركة في بعدين أي أن $W = 0$ وبالتالي في معادلة الاتصال تصبح في الصورة :

$$\text{div} \vec{q} = 0$$

أي أن :

$$\frac{\partial u}{\partial x} + \frac{\partial v}{\partial y} = 0, \dots \dots \dots (5)$$

حيث u, v مركبات السرعة q في اتجاه x, y . نعتبر الان خط الانسياب في السائل فتكون سرعة أي جزي من جزيئات السائل على هذا الخط تكون في اتجاه المماس لهذا الخط وعلى ذلك يمكن الحصول على معادلة هذا الخط الذي ستكون في الصورة :



$$\frac{dx}{u} = \frac{dy}{v}$$

(لاحظ أن \bar{q} تكون في نفس اتجاه $d\bar{s}$ على الخط) والتي يمكن وضعها في الصورة :

$$vdx - udy = 0, \dots \dots \dots (6)$$

فإذا فرضنا أن معادلة خط الانسياب هو الخط :

$$\Psi(x, y) = Const., \dots \dots \dots (7)$$

وبتغاضل المعادلة (7) نحصل على المعادلة التفاضلية لخط الانسياب وهي :

$$d\Psi = 0$$

$$\therefore \frac{\partial \Psi}{\partial x} dx + \frac{\partial \Psi}{\partial y} dy = 0, \dots \dots \dots (8)$$

المعادلة (8) هي نفسها المعادلة (6) وبمقارنتها المعادلتين نجد أن :

$$\left. \begin{array}{l} v = -\frac{\partial \Psi}{\partial x} \\ u = \frac{\partial \Psi}{\partial y} \end{array} \right\},(9)$$

هذه الدالة $\Psi(x, y, z)$ تسمى بدالة الانسياب وبما أن الحركة جهدية فيكون من الشرط (3) أن :

$$\vec{q} = u\vec{i} + v\vec{j} = \text{grad}\Phi = \frac{\partial \Phi}{\partial x}\vec{i} + \frac{\partial \Phi}{\partial y}\vec{j}$$

ومن هذه العلاقة نحصل على :

$$\left. \begin{array}{l} u = \frac{\partial \Phi}{\partial x} \\ v = \frac{\partial \Phi}{\partial y} \end{array} \right\},(10)$$

ومن العلاقات (10) ، (9) نحصل على الشروط الآتية :

$$\left. \begin{array}{l} u = \frac{\partial \Phi}{\partial x} = \frac{\partial \Psi}{\partial y} \\ v = -\frac{\partial \Phi}{\partial y} = -\frac{\partial \Psi}{\partial x} \end{array} \right\},(11)$$

ومن معادلة الاتصال (5) نحصل على :

$$\vec{\nabla} \cdot \vec{q} = \vec{\nabla} \cdot \vec{\nabla} \Phi = \nabla^2 \Phi$$

$$\therefore \vec{\nabla} \cdot \vec{q} = \frac{\partial^2 \Phi}{\partial x^2} + \frac{\partial^2 \Phi}{\partial y^2} = 0, \dots \dots \dots \quad (12)$$

أي أن الدالة Φ دالة جهد السرعة تحقق معادلة لابلاس وكذلك من (10) :

$$u = \frac{\partial \Phi}{\partial x} \Rightarrow \frac{\partial u}{\partial y} = \frac{\partial^2 \Phi}{\partial x \partial y}$$

$$v = \frac{\partial \Phi}{\partial y} \Rightarrow \frac{\partial v}{\partial x} = \frac{\partial^2 \Phi}{\partial y \partial x}$$

$$\therefore \frac{\partial u}{\partial y} = \frac{\partial v}{\partial x}, \dots \dots \dots \quad (13)$$

وعلي ذلك نحصل من (11) على أن :

$$\frac{\partial u}{\partial y} = \frac{\partial^2 \Psi}{\partial y^2} \quad , \quad \frac{\partial v}{\partial x} = -\frac{\partial^2 \Psi}{\partial x^2}$$

بالتعميض في (13) نحصل على :

$$\frac{\partial^2 \Psi}{\partial x^2} + \frac{\partial^2 \Psi}{\partial y^2} = 0$$

$$\therefore \nabla^2 \Psi = 0, \dots \dots \dots \quad (14)$$

وعلي ذلك فان دالة الانسياب تحقق معادلة لابلاس .

ملحوظة (١) :

نلاحظ أن المعادلة (11) هي نفسها شروط كوشي ريمان لوجود الدالة التحليلية $W(z)$ دالة في العدد المركب z حيث $z = x + iy, (i = \sqrt{-1})$ في المستوى المركب وذلك على الصورة :

$$W(z) = \Phi + i\Psi = \Phi(x, y) + i\Psi(x, y)$$

ملحوظة (٢) :

$$\Psi(x, y) = Const.$$

حيث C ثابت اختياري وهذه المعادلة تمثل مجموعة من الخطوط الانسيابية وباعطاء فيما مختلفة للثابت نحصل على خطوط انسابية مختلفة وكذلك :

$$\Phi(x, y) = Const.$$

تمثل مجموعة من خطوط تساوي الجهد . ومن العلاقات (11) يمكن أن نستنتج العلاقة الآتية من الدالتين Φ, Ψ :

$$\frac{\partial \Phi}{\partial x} \frac{\partial \Psi}{\partial x} + \frac{\partial \Phi}{\partial y} \frac{\partial \Psi}{\partial y} = 0, \dots \dots \dots \quad (15)$$

كما هو معروف من الرياضة البحتة فإن العلاقة (15) هو شرط تعامد المنحنيات $\Phi(x, y) = Const$ ، $\Psi(x, y) = Const$ ،

ولإثبات ذلك

حيث أن العمودي للدالة $\Psi = Const.$ هو $grad\Psi = \vec{n}_1$ وكذلك بالنسبة للدالة $\Phi = Const.$ هو $grad\Phi = \vec{n}_2$ وبالتالي فان شرط التعامد يكون :

$$\vec{n}_1 \cdot \vec{n}_2 = \frac{\partial \Phi}{\partial x} \frac{\partial \Psi}{\partial x} + \frac{\partial \Phi}{\partial y} \frac{\partial \Psi}{\partial y} = 0$$

ونستنتج من ذلك انه في حالة الحركة اللازمنية ذات الجهد في مستوى المائع فان خطوط الانسياب وخطوط الجهد تتتقاطع علي التعامد .

(٣) تجميع الانسيابات الجهوية :

إذا كان لدينا انسيابيان جهديان وكان جهداهما Φ_1, Φ_2 فان كلا من Φ_1, Φ_2 تحقق معادلة لابلاس أي أن :

$$\begin{aligned}\frac{\partial^2 \Phi_1}{\partial x^2} + \frac{\partial^2 \Phi_1}{\partial y^2} &= 0 \\ \frac{\partial^2 \Phi_2}{\partial x^2} + \frac{\partial^2 \Phi_2}{\partial y^2} &= 0\end{aligned}$$

في هذه الحالة يكون **الجهد** $\Phi = \Phi_1 + \Phi_2$ الناتج من جمع الجهدين Φ_1, Φ_2 يتحقق معادلة لابلاس كذلك . أي أن $\Phi = \Phi_1 + \Phi_2$ يمثل انسيابا جهديا لمائع غير قابل للانضغاط وذلك لأن :

$$\nabla^2 \Phi = \nabla^2 (\Phi_1 + \Phi_2) = \nabla^2 \Phi_1 + \nabla^2 \Phi_2 = 0$$

وفي هذه الحالة يكون :

$$q_x = \frac{\partial \Phi_1}{\partial x} + \frac{\partial \Phi_2}{\partial x} = q_{1x} + q_{2x}$$

$$q_y = \frac{\partial \Phi_1}{\partial y} + \frac{\partial \Phi_2}{\partial y} = q_{1y} + q_{2y}$$

بالمثل يمكن إثبات أن دالة الانسياب للانسياب الجديد هي :

$$\Psi = \Psi_1 + \Psi_2$$

حيث Ψ_1, Ψ_2 هما دالتا الانسياب للانسيابين الأصليين .

ملحوظة عن دالة الانسياب :

في حالة استخدام الإحداثيات القطبية يكون $\Psi = \Psi(r, \theta)$ ومن ثم يكون :

$$q_r = -\frac{1}{r} \frac{\partial \Psi}{\partial \theta} \quad , \quad q_\theta = \frac{\partial \Psi}{\partial r}$$

أمثلة:مثال (١):

اوجد الشرط اللازم حتى تكون :

$$u = ax + by \quad , \quad v = cx + dy$$

(حيث a, b, c, d ثوابت) هما مركبta السرعة لحركة مائع غير قابل للانضغاط . اثبت أن الخطوط الانسيابية لهذه الحركة هي قطوع مخروطية على وجه العموم وتكون قطوعا زائدة قائمة إذا كانت الحركة غير دورانية .

الحل:

معادلة الاتصال لمائع غير قابل للانضغاط هي :

$$\begin{aligned} \operatorname{div} q &= 0 \\ \frac{\partial u}{\partial x} + \frac{\partial v}{\partial y} &= 0 \end{aligned}$$

وبالتعويض عن v, u بالقيم المعطاه في المسألة نجد أن :

$$a + b = 0, \dots \dots \dots (1)$$

وهذا هو الشرط اللازم حتى تكون الحركة ممكنة وبما أن :

$$\left. \begin{array}{l} u = ax + by = -\frac{\partial \Psi}{\partial y} \\ v = cx + dy = \frac{\partial \Psi}{\partial x} \end{array} \right\}, \dots \dots \dots \quad (2)$$

حيث Ψ هي دالة الانسياب . و بتكميل المعادلة الأولى من (2) بالنسبة إلى y نجد أن :

$$-\Psi = axy + \frac{1}{2}by^2 + f(x)$$

وبالتفاصل بالنسبة إلى x

$$-\frac{\partial \Psi}{\partial x} = ay + f'(x)$$

وبالتعويض عن $\frac{\partial \Psi}{\partial x}$ من المعادلة الثانية في (2) نجد أن :

$$\begin{aligned} -ay - f'(x) &= cx + dy \\ \therefore f'(x) &= -(a + d)y + cx \\ f'(x) &= -cx \\ f(x) &= -\frac{1}{2}cx^2 + Const. \end{aligned}$$

وحيث أن الثابت اختياري فيمكن أخذه مساويا الصفر .

$$f(x) = -\frac{1}{2} cx^2$$

$$\therefore -\Psi = axy + \frac{1}{2} by^2 - \frac{1}{2} cx^2$$

.. معادلة الخطوط الانسيابية هي :

$$axy + \frac{1}{2} by^2 - \frac{1}{2} cx^2 = Const.$$

وهذه هي معادلة من الدرجة الثانية في (x, y) ولها فهي تمثل على وجه العموم مجموعة من القطوع المخروطية . وإذا كانت الحركة غير دورانية فان يجب أن يكون :

$$\vec{\zeta} = 0 \quad , \quad \vec{\nabla} \wedge \vec{q} = 0$$

$$\therefore \frac{\partial v}{\partial x} - \frac{\partial u}{\partial y} = 0$$

وبالتعويض عن u, v بدلالة Ψ نجد أن :

$$-\frac{\partial^2 \Psi}{\partial x^2} - \frac{\partial^2 \Psi}{\partial y^2} = 0$$

$$\therefore \nabla^2 \Psi = 0$$

أي أن يجب أن يكون $c - b = 0$ وعندئذ تؤول معادلة الخطوط الانسيابية إلى الصورة :

$$bx^2 - 2axy - by^2 = Const.$$

و هذه المعادلة الأخيرة تمثل مجموعة من القطوع الزائدة القائمة وذلك لأن معامل $x^2 \neq$ معامل y^2 يساوي الصفر .

مثال (٢) :

إذا كانت دالة الانسياب لحركة مستوية لمائع معطاه في الصورة :

$$\Psi = cr^2\theta$$

حيث (r, θ) الاحداثيان القطبيان ، c ثابت . اوجد متوجه الدوامة ومتوجه السرعة عند أي نقطة .

الحل :

$$\Psi = cr^2\theta$$

$$q_r = -\frac{1}{r} \frac{\partial \Psi}{\partial \theta} = -cr$$

$$q_\theta = \frac{\partial \Psi}{\partial r} = 2cr\theta$$

$$\vec{q} = -cr\vec{e}_r + 2cr\theta\vec{e}_\theta$$

في الإحداثيات المنحنية يكون :

$$\vec{\xi} = \vec{\nabla} \wedge \vec{q} = \frac{1}{h_1 h_2 h_3} \begin{vmatrix} h_1 \vec{e}_1 & h_2 \vec{e}_2 & h_3 \vec{e}_3 \\ \frac{\partial}{\partial u_1} & \frac{\partial}{\partial u_2} & \frac{\partial}{\partial u_3} \\ h_1 q_1 & h_2 q_2 & h_3 q_3 \end{vmatrix}$$

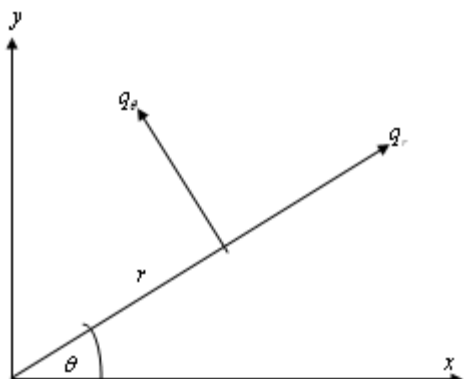
وفي حالة الإحداثيات الاسطوانية يكون :

$$h_1 = 1 \quad , \quad h_2 = r \quad , \quad h_3 = 1$$

$$\vec{\xi} = \frac{1}{r} \begin{vmatrix} \vec{e}_r & \vec{e}_\theta & \vec{e}_z \\ \frac{\partial}{\partial r} & \frac{\partial}{\partial \theta} & \frac{\partial}{\partial z} \\ -cr & 2cr^2\theta & 0 \end{vmatrix} = 4c\theta \vec{e}_z$$

أي أن متجه الدوامة $\vec{\omega}$ يكون في اتجاه z .

طريقة أخرى للحل :



$$u = q_r \cos \theta - q_\theta \sin \theta = -cr \cos \theta - 2cr \sin \theta$$

$$v = q_r \sin \theta - q_\theta \cos \theta = -cr \sin \theta + 2cr \cos \theta$$

ولكن :

$$x = r \cos \theta$$

$$y = r \sin \theta$$

$$\theta = \tan^{-1} \left(\frac{y}{x} \right)$$

عندئذ يكون :

$$u = -cx - 2cy \tan^{-1} \left(\frac{y}{x} \right) \quad , \quad v = -cy - 2cx \tan^{-1} \left(\frac{y}{x} \right)$$

وبذلك يكون :

$$\vec{\xi} = \vec{\nabla} \wedge \vec{q} = \begin{vmatrix} \vec{i} & \vec{j} & \vec{k} \\ \frac{\partial}{\partial x} & \frac{\partial}{\partial y} & \frac{\partial}{\partial z} \\ -cx - 2cy \tan^{-1}\left(\frac{y}{x}\right) & -cy - 2cx \tan^{-1}\left(\frac{y}{x}\right) & 0 \end{vmatrix}$$

وبفك المحدد نجد أن :

$$\xi = 4c \theta \vec{k}$$

متجه الدوامة $\vec{\xi}$ يكون في اتجاه z .

الباب الرابع

دراسة حركة سائل يمليء دالة الجهد المركب

دالة الجهد المركب :

في الحركة الجهدية للسائل المثالي الغير قابل للانضغاط في بعدين يمكن تركيب الدالة $W(z)$ في المتغير المركب z على الصورة :

$$W(z) = \Phi(x, y) + i\Psi(x, y), \dots \quad (1)$$

حيث Φ هي دالة جهد السرعة ، Ψ هي دالة الانسياب وذلك إذ أن هاتين الدالتان تحققان شروط كوشي - ريمان لوجود الدالة التحليلية $W(z)$ ، Φ, Ψ تحققان معادلة لابلاس . الدالة $W(z)$ تسمى بدالة الجهد المركب .

$$\therefore \frac{dW}{dz} = \frac{\partial W}{\partial x} \frac{\partial x}{\partial z} + \frac{\partial W}{\partial y} \frac{\partial y}{\partial z}, \dots \quad (2)$$

$$W = \Phi + i\Psi$$

$$\left. \begin{aligned} \frac{\partial W}{\partial x} &= \frac{\partial \Phi}{\partial x} + i \frac{\partial \Psi}{\partial x} \\ \frac{\partial W}{\partial y} &= \frac{\partial \Phi}{\partial y} + i \frac{\partial \Psi}{\partial y} \end{aligned} \right\}, \dots \quad (3)$$

وحيث أن :

$$\begin{aligned}\bar{z} &= x - iy \\ \therefore x &= \frac{1}{2}(z + \bar{z}) \quad , \quad y = \frac{1}{2i}(z - \bar{z}) \\ \therefore \frac{\partial x}{\partial z} &= \frac{1}{2} \quad , \quad \frac{\partial y}{\partial z} = \frac{1}{2i}, \dots \dots \dots \quad (4)\end{aligned}$$

ونعلم أن :

$$\left. \begin{aligned} u &= \frac{\partial \Psi}{\partial y} = \frac{\partial \Phi}{\partial x} \\ v &= -\frac{\partial \Psi}{\partial x} = \frac{\partial \Phi}{\partial y} \end{aligned} \right\}, \dots \dots \dots \quad (5)$$

$$\begin{aligned} \therefore \frac{dW}{dz} &= (u - iv) \frac{1}{2} - (v - iu) \frac{1}{2} i \\ \frac{dW}{dz} &= u - iv, \dots \dots \dots \quad (6) \end{aligned}$$

وعلى ذلك فان $\frac{dW}{dz}$ هي الدالة المرافقة للدالة $u + iv$ التي تسمى بدالة السرعة المركبة q .

$$\therefore q = u + iv \quad , \quad \bar{q} = u - iv = \frac{dW}{dz}$$

إذا ساوينا الدالة $\Phi(x, y) = C_1$ بمقدار ثابت نحصل على مجموعة من المنحنيات تسمى منحنيات تساوى الجهد. أما إذا ساوينا $\Psi(x, y) = C_2$ حيث ثابت فنحصل على مجموعة من المنحنيات تسمى خطوط الانسياب. هذه المجاميع من المنحنيات تكون متعمدة أي إنها تتقاطع

علي التعامد . والآن خط الانسياب هو أحد خطوط مجموعة المنحنيات (خطوط الانسياب) فيكون مركبات المتجه العمودي علي هذا المنحني هو المتجه :

$$\vec{n}_1 = \text{grad} \Psi = \left(\frac{\partial \Psi}{\partial x}, \frac{\partial \Psi}{\partial y} \right)$$

وبالمثل يكون المتجه العمودي علي منحني تساوي الجهد هو :

$$\vec{n}_2 = \text{grad} \Phi = \left(\frac{\partial \Phi}{\partial x}, \frac{\partial \Phi}{\partial y} \right)$$

وبضربها قياسيا نحصل على :

$$\begin{aligned}\vec{n}_1 \cdot \vec{n}_2 &= \frac{\partial \Psi}{\partial x} \frac{\partial \Phi}{\partial x} + \frac{\partial \Psi}{\partial y} \frac{\partial \Phi}{\partial y} \\ \vec{n}_1 \cdot \vec{n}_2 &= -v(u) + uv = 0\end{aligned}$$

أي أن $\vec{n}_1 \cdot \vec{n}_2$ متجهان متعامدان .

أي أن خطوط تساوي الجهد وخطوط الانسياب يتتقاطعان علي التعامد . ومن ذلك يمكن معرفة حركة السائل بمعلومية الجهد المركب لهذه الحركة (z) W الذي فيه الكمية الحقيقة (الجزء الحقيقي) يمثل دالة جهد السرعة Φ والجزء التخييلي يمثل دالة الانسياب Ψ وبمساواة Φ بمقدار ثابت يمكن إيجاد خطوط تساوي الجهد وكذلك يمكن تعين خطوط الانسياب الذي يكون سرعة السائل عند أي نقطة عليها في اتجاه المماس لها بمساواة Ψ بمقدار ثابت . أما سرعة أي نقطة في السائل فيمكن إيجادها من معرفة السرعة المركبة $q = u + iv$ والذي يمكن معرفة الجزء الحقيقي

و (مركبة سرعة السائل في اتجاه محور x) والجزء التخيلي v (مركبة سرعة السائل في اتجاه محور y) وذلك من معرفة السرعة المركبة المرافقه \bar{q} حيث :

$$\bar{q} = \frac{dW}{dz} = u - iv$$

وتكون سرعة أي نقطة في السائل هي المقدار $q = \sqrt{u^2 + v^2}$.

وإذا طبقنا معادلة برنولي وذلك بمعلومية دالة الجهد للقوى الخارجية المؤثرة على السائل Ω نحصل على الضغط عند أي نقطة في السائل وذلك من المعادلة :

$$\frac{q^2}{2} + \frac{P}{\rho} + \Omega = Const.$$

إذا كان السائل لا تؤثر عليه أي قوى خارجية فيكون $\Omega = 0$ ونحصل على الضغط P في الصورة :

$$\frac{P}{\rho} = Const. - \frac{q^2}{2}$$

١- دراسة حركة سائل دالة الجهد المركب له هي $W = UZ$ (انسياپ منتظم) حيث مقدار ثابت :

أولاً : تعين خطوط الانسياپ وخطوط تساوى الجهد :

$$\begin{aligned} \therefore W &= UZ \\ \Phi + i\Psi &= U(x + iy) \end{aligned}$$

بمساواة الأجزاء الحقيقية والتخيلية في الطرفين نحصل على :

$$\Phi = Ux$$

$$\Psi = Uy$$

خطوط تساوي الجهد ونحصل عليها من :

$$\Phi = Ux = Const. = C$$

$$x = \frac{C}{U} = \alpha$$

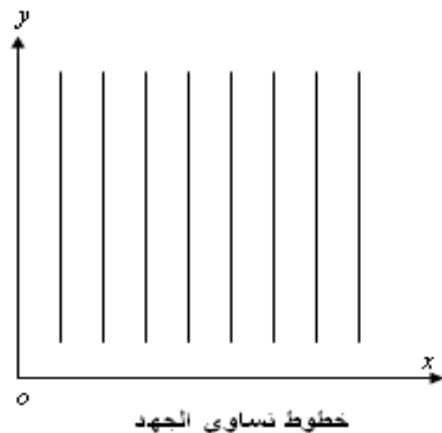
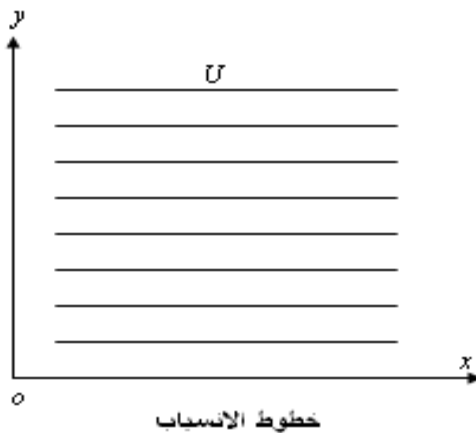
وهي عبارة عن خطوط مستقيمة توازي محور y الذي هو نفسه أحد هذه الخطوط بوضع $\alpha = 0$.

خطوط الانسياب : و تتعين من :

$$\Psi = Uy_1 = C'$$

$$\therefore y = \frac{C'}{U} = \alpha'$$

وهي خطوط مستقيمة توازي محور x والذي هو نفسه أحد هذه الخطوط عند $\alpha' = 0$.



وبما أن خطوط الانسياب تبين الحركة واتجاهها فانه بذلك ينتج أن هذا الجهد المركب هو الجهد المركب لسائل يتحرك في اتجاه محور x وسرعة أي نقطة في السائل تعين من :

$$\frac{dW}{dz} = u - iv = U$$

$$\therefore u = U \quad , \quad v = 0$$

أي أن السائل يتحرك عند أي نقطة فيه بسرعة U في اتجاه محور x وفي الاتجاه الموجب لهذا المحور . ومركبة السرعة في اتجاه محور y تساوي صفر وبذلك يكون $W = UZ$ يمثل حركة سائل يتحرك في اتجاه محور x وبسرعة ثابتة U وفي الاتجاه الموجب لهذا المحور .

ملاحظات :

- ١ - نلاحظ أن خطوط الانسياب وخطوط تساوي الجهد هي خطوط متعامدة .
- ٢ - نفرض أن القوى المؤثرة على السائل تساوي الصفر فيكون Ω دالة الجهد لهذه القوى تساوي الصفر وباستعمال معادلة برنولي .

$$\frac{1}{2} q^2 + \frac{P}{\rho} + \Omega = Const.$$

بالتعويض نجد أن :

$$q^2 = U^2$$

$$\therefore \frac{P}{\rho} + \frac{1}{2}U^2 = Const.$$

$\therefore U$ ثابت

$\therefore P$ تساوي مقدار ثابت .

وبذلك يكون الضغط عند أي نقطة في السائل ذات الجهد المركب $W = UZ$ دائماً ثابت عند جميع نقط السائل .

٢ - دراسة حركة سائل له الجهد المركب $W = AZ^2$ حيث A مقدار ثابت موجب :

نوجد أولاً خطوط الانسياب وخطوط تساوي الجهد وذلك بمساواة:

$$W = AZ^2 = A(x + iy)^2 = A(x^2 + 2ixy - y^2)$$

$$W = \Phi + i\Psi$$

$$\Phi + i\Psi = A(x^2 + 2ixy - y^2)$$

$$\therefore \Phi = A(x^2 - y^2), \Psi = 2Axy$$

خطوط تساوي الجهد تتبع من مساواة Φ بمقادير ثابت

$$A(x^2 - y^2) = Const. = C$$

$$x^2 - y^2 = \frac{C}{A} = \alpha^2$$

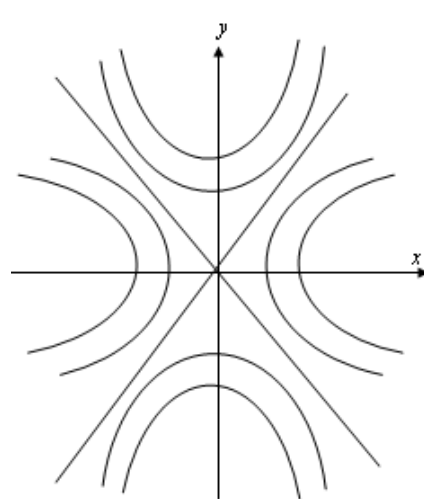
و هذه المعادلات تمثل مجموعة من المنحنيات كل منها عبارة عن قطع زائد .

وخطوط الانسياب تتعين من :

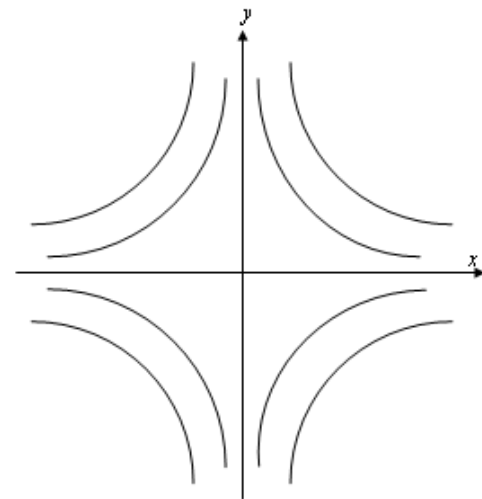
$$2Axy = C'$$

$$xy = \frac{C'}{2A} = \alpha'$$

وهي عبارة عن مجموعة من القطاعات الدائمة القائمة التي لها محاور الإحداثيات هي محاور تقريبية ($\alpha' = 0$ تعطي $y = 0$ ، $x = 0$ وهم نفسها محاور الإحداثيات وهي المحاور التقريبية لهذه القطاعات الزائدة القائمة) ويمكن ملاحظة أن المحاور التقريبية لخطوط تساوي الجهد هي المحاور $x^2 - y^2 = 0$ والتي تتعين من الخطين المستقيمين $x + y = 0$ ، $x - y = 0$ وهم خطين متعامدين يميل كل منهما بزاوية $\frac{3\pi}{4}$ مع الأفقي ، $\frac{\pi}{4}$ مع الأفقي .



خطوط تساوي الجهد



خطوط الانسياب

ولتعيين مركبات السرعة نعين السرعة المركبة المرافقه :

$$\frac{dW}{dz} = u - iv = 2AZ = 2A(x + iy)$$

$$\begin{aligned}\frac{dW}{dz} &= u - iv = 2AZ = 2A(x + iy) \\ u &= 2Ax, v = -2Ay\end{aligned}$$

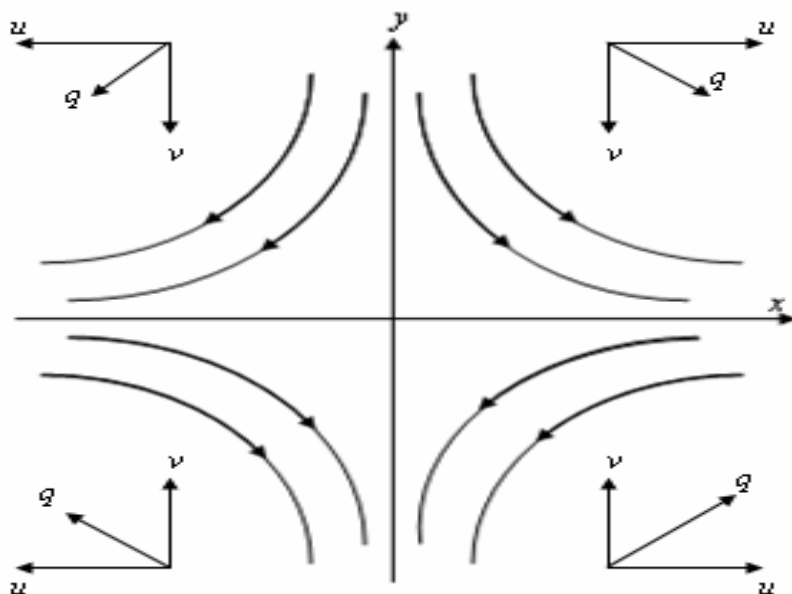
وهي مركبات السرعة عند أي نقطة . ولتعيين اتجاه الحركة في السائل نعتبر نقطة في كل ربع من الأركان الأربعه في المستوى . فمثلا إذا كان السائل في الربع الأول نجد أن x موجبة ، y موجبة فيكون :

$$v < 0 \quad , \quad u > 0$$

في الربع الثاني نجد أن x سالبة ، y موجبة فيكون u سالبة ، v سالبة .

في الربع الثالث نجد أن x سالبة ، y سالبة فيكون u سالبة ، v موجبة .

في الربع الرابع نجد أن x موجبة ، y سالبة فيكون u موجبة ، v موجبة .



وهكذا يمكن تعين اتجاه السرعة المحصلة $q = \sqrt{u^2 + v^2}$ التي هي اتجاه حركة السائل عند كل من الأركان الأربع للمستوي كما هي مبينة بالشكل . حركة السائل تبين الأسهم ويمكن إيجاد الضغط عند أي نقطة في السائل من معادلة برنولي كما سبق .

٣- دراسة حركة سائل الجهد المركب له ثابت) :

$$W = A \ln z = \Phi + i\Psi, \dots \dots \dots (1)$$

$$z = re^{i\theta} \quad \text{وبوضع}$$

$$\Phi + i\Psi = A \ln(re^{i\theta}) = A \ln r + A \ln e^{i\theta}$$

$$\Phi + i\Psi = A \ln r + iA\theta$$

$$\therefore \Phi = A \ln r, \dots \dots \dots (2)$$

$$\therefore \Psi = A\theta, \dots \dots \dots (3)$$

وإيجاد خطوط تساوي الجهد وخطوط الانسياب نضع :

$$\Phi = A \ln r = C$$

$$\therefore \ln r = \frac{C}{A} \Rightarrow r = e^{\frac{C}{A}} = a$$

$$\sqrt{x^2 + y^2} = a$$

$$\therefore x^2 + y^2 = a^2$$

وهذه المنحنيات عبارة عن مجموعة من الدوائر متحدة المركز (نقطة الأصل لها هي نقطة الأصل للمحاور) :

$$\Psi = A\theta = C_1$$

$$\theta = \frac{C_1}{A} = \alpha$$

حيث α ثابت وهذه المعادلات هي عبارة عن معادلات خطوط الانسياب وهي عبارة عن خطوط مستقيمة يمر كل منها بنقطة الأصل . ولكي نعيّن اتجاه حركة السائل نعيّن سرعة نقطة السائل واتجاهاتها .

$$\frac{dW}{dz} = u - iv = \frac{A}{z} = \frac{A}{r} e^{-i\theta}$$

$$u - iv = \frac{A}{r} (\cos \theta + i \sin \theta)$$

$$\therefore u = \frac{A}{r} \cos \theta$$

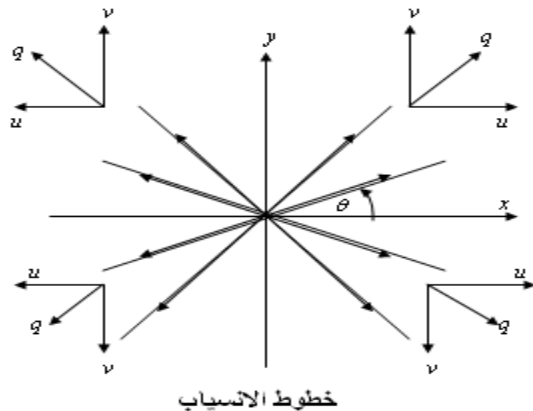
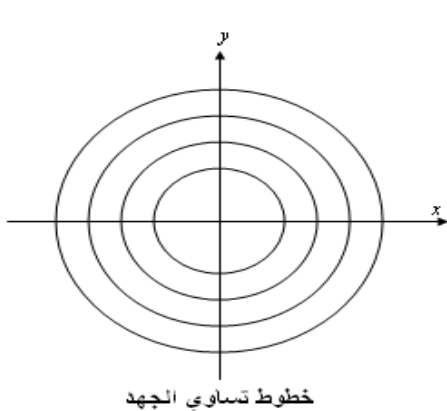
$$\therefore v = \frac{A}{r} \sin \theta$$

في الربع الأول نجد أن θ حادة بين الصفر ، $\frac{\pi}{2}$ وتكون u موجبة ، v موجبة .

في الربع الثاني $\pi < \theta < \frac{\pi}{2}$ تكون u سالبة ، v موجبة .

في الربع الثالث $\frac{3\pi}{4} > \theta > \pi$ تكون u سالبة ، v سالبة .

في الربع الرابع $2\pi > \theta > \frac{3\pi}{4}$ تكون u موجبة ، v سالبة .



وعلى ذلك نجد أن اتجاه حركة السائل هي دائماً حركة في خطوط مستقيمة كلها خارجة من نقطة الأصل

وعلى ذلك نحصل أن الجهد المركب $A \ln z$ هو جهد مركب لسائل يتحرك دائماً في خطوط مستقيمة وخارج من نقطة الأصل أي خارج من منبع موجود عند نقطة الأصل ولذلك فإن هذا الجهد المركب هو الجهد المركب لمنبع في مستوى (Source). كما أن الجهد المركب $A \ln z -$ هو نفس الدراسة السابقة ولكن نجد أن حركة السائل ستكون إلى الداخل لذلك يسمى هذا الجهد المركب للنصب (Sink) في بعدين.

ملاحظة :

عند نقطة الأصل $z = 0$ فيكون سرعة السائل عند هذه النقطة تساوي كمية لا نهاية $\rightarrow \infty$ ، وتسمى النقطة التي عندها السرعة كمية لا نهاية بالنقط الحدية أو النقط الشاذة ويمكن عزل هذه النقط واعتبار السائل مباشره بعد هذه النقطة .

فيض السائل (حجم السائل الذي يخرج) :

هو كمية السائل المتداقة من المنبع .

$$Q = 2\pi r(q)$$

حيث q محصلة السرعة .

$$q = \sqrt{u^2 + v^2} = \sqrt{\frac{A^2}{r^2} \cos^2 \theta + \frac{A^2}{r^2} \sin^2 \theta}$$

$$q = \frac{A}{r}$$

$$\therefore Q = 2\pi A = Const. \Rightarrow A = \frac{Q}{2\pi}$$

وعلي ذلك يمكن وضع الجهد المركب للمنبع أو المصب :

$$W = A \ln z = \frac{Q}{2\pi} \ln z \quad (Source)$$

$$W = -A \ln z = -\frac{Q}{2\pi} \ln z \quad (Sink)$$

(وتسمي Q بقدرة المنبع أو المصب) إذا كان لدينا منبع عند النقطة $z = a$ مثلاً فإن الجهد المركب هو :

$$W = \frac{Q}{2\pi} \ln(z - a)$$

وعند وجود مجموعة من المنابع ذات القدرة عند النقط :

$$Q_1, Q_2, \dots, Q_n$$

$$a_1, a_2, \dots, a_n$$

عند النقط :

فيكون الجهد المركب لهما هو :

$$W = \sum_{i=1}^n \frac{Q_i}{2\pi} \ln(z - a_i).$$

وبفرض أن هناك توزيع منتظم لمنابع على خط مستقيم من نقطة A إلى $-A$ بحيث أن القدرة لوحدة الأطوال من هذا الخط المستقيم هي Q ونريد حساب الجهد المركب لهذه الحركة للسائل نجد انه سوف يساوي :

$$W = \int_{-A}^A \frac{Q}{2\pi} \ln(z - x) dx$$

حيث أخذ الخط المستقيم هو محور x مثلا ويمكن إجراء حساب هذا الجهد بعد إجراء عملية التكامل (بالنسبة إلى x).

الجهد المركب لمزدوج : Doublets

المزدوج هو عبارة عن منبع ومصب قدرتهما واحدة Q البعد بينهما ξ بحيث $\xi \rightarrow \infty$ ، $Q \rightarrow 0$ في نفس الوقت بينما يظل حاصل الضرب $\frac{Q\xi}{2\pi}$ مقدار محدود M مثلا يسمى بشدة المزدوج .

باعتبار منبع عند النقطة $z = -\xi$ ومصب عند النقطة $z = 0$ حيث هي كمية حقيقة. فيكون الجهد المركب الناتج عن هذين المنبع والمصب الذي لها الشدة Q هو :

$$W = W_1 + W_2 = \frac{Q}{2\pi} \ln(z + \xi) + \left(-\frac{Q}{2\pi} \ln z \right)$$

$$W = \frac{Q}{2\pi} [\ln(z + \xi) - \ln z]$$

وبأخذ النهاية عندما $\xi \rightarrow 0$ ، $\frac{Q\xi}{2\pi}$ وعندما يكون $\frac{Q\xi}{2\pi} \rightarrow \infty$ دائما مقدار محدودا M فان هذا

التكوين يسمى بالمزدوج . الجهد المركب لسائل يتحرك في وجود مزدوج هو :

$$W = \lim_{\substack{Q \rightarrow \infty \\ \xi \rightarrow 0}} \frac{Q}{2\pi} [\ln(z + \xi) - \ln z] = \lim_{\substack{Q \rightarrow \infty \\ \xi \rightarrow 0}} \frac{Q}{2\pi} \frac{\ln(z + \xi) - \ln z}{z + \xi - z}$$

$$W = M \lim_{\xi \rightarrow 0} \frac{\ln(z + \xi) - \ln z}{z + \xi - z} = M \frac{d}{dz} (\ln z)$$

لأن الصورة لهذه النهاية هي نفسها تعريف التفاضل للدالة $\ln z$ وعلى هذا يكون الجهد المركب للمزدوج هو :

$$W = \frac{M}{z}$$

حيث M هي شدة المزدوج .

دراسة حركة السائل :

$$W = \Phi + i\Psi = \frac{M}{x + iy} = \frac{M(x - iy)}{x^2 + y^2}$$

$$\therefore \Phi = \frac{Mx}{x^2 + y^2}$$

$$\therefore \Psi = -\frac{My}{x^2 + y^2}$$

خطوط الانسياب تعطى من :

$$\Psi = -\frac{My}{x^2 + y^2} = C$$

$$\therefore x^2 + y^2 + \frac{M}{C}y = 0$$

$$x^2 + \left(y + \frac{M}{2C}\right)^2 = \frac{M^2}{4C^2}$$

والمعادلة السابقة تمثل مجموعة من الدوائر أقطارها $\frac{M}{2C}$ ومرائزها عند النقطة $\left(0, -\frac{M}{2C}\right)$

أي تقع مرائزها على محور y وكذلك تمس هذه الدوائر المحور x عند نقطة الأصل.

وخطوط تساوى الجهد تعطى من :

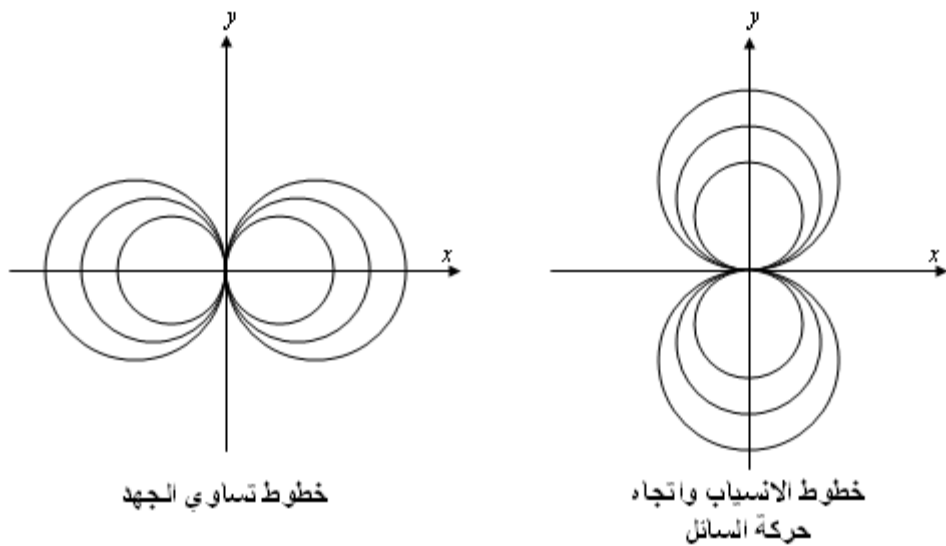
$$\Phi = \frac{Mx}{x^2 + y^2} = C_1$$

$$x^2 + y^2 - \frac{Mx}{C_1} = 0$$

$$\left(x - \frac{Mx}{2C_1} \right) + y^2 = \frac{M^2}{4C_1^2}$$

وهي تمثل مجموعة من الدوائر التي تتماس جميعها عند نقطة الأصل ومركزها عند النقط

. $\frac{M}{2C_1}$ وأنصاف قطر هذه الدوائر هي $\left(\frac{M}{2C_1}, 0 \right)$ الموجودة على محور x أي النقط



واضح أن خطوط الانسياب وخطوط تساوي الجهد تتقاطعان على التعمد.

إيجاد اتجاه حركة السائل:

تعيين سرعة واتجاه حركة السائل من :

$$\begin{aligned} \frac{dW}{dz} &= u - iv = -\frac{M}{z^2} = -\frac{M}{r^2 e^{2i\theta}} = -\frac{M}{r^2} [\cos 2\theta - i \sin 2\theta] \\ \therefore u &= -\frac{M}{r^2} \cos 2\theta \\ \therefore v &= \frac{M}{r^2} \sin 2\theta \end{aligned}$$

ويمكن تعين اتجاه حركة السائل بأخذ نقطة معينة في أي ربع ونعين اتجاه السرعة في هذا الربع فجدها كما بالرسم .

ملحوظة:

نلاحظ أن النقط $z = 0$ عندها السرعة تساوي ∞ وهذه تسمى بنقط الحيود أو النقط الحدية وتسمى أيضاً بالنقط الحرجة (الشادة) ويمكن عزل هذه النقطة عن بقية السائل . كما نلاحظ أن اتجاه حركة السائل ستكون من المنبع إلى المصب المكونان للمزدوج .

٥- دراسة حركة سائل الجهد المركب له

حيث Γ مقدار ثابت حقيقي موجب .

$$\begin{aligned} W &= \frac{i\Gamma}{2\pi} \ln z \\ W &= \Phi + i\Psi = \frac{i\Gamma}{2\pi} \ln(r e^{i\theta}) \\ \therefore \Phi + i\Psi &= \frac{i\Gamma}{2\pi} (\ln r + i\theta) = \frac{i\Gamma}{2\pi} \ln r - \frac{\Gamma\theta}{2\pi} \end{aligned}$$

$$\therefore \Psi = \frac{\Gamma}{2\pi} \ln r = Const.$$

$$\therefore \Phi = -\frac{\Gamma \theta}{2\pi} = Const$$

خطوط الانسياب :

$$\frac{\Gamma}{2\pi} \ln r = Const$$

$$\ln r = C \Rightarrow r = Const.$$

وهي دوائر متحدة المركز عند نقطة الأصل $r=0$ وخطوط تساوي الجهد هي :

$$\Phi = C_1$$

$$-\frac{\Gamma \theta}{2\pi} = C_1 \Rightarrow \theta = Const.$$

وهي خطوط تمر كلها بنقطة الأصل . ولتعيين اتجاه حركة السائل نوجد اتجاه سرعة أي نقطة متحركة من نقط السائل .

$$\begin{aligned} \frac{dW}{dz} &= u - iv = \frac{i\Gamma}{2\pi} \frac{1}{z} \\ u - iv &= \frac{i\Gamma}{2\pi} \frac{1}{r} e^{-i\theta} = \frac{i\Gamma}{2\pi} [Cos\theta - iSin\theta] \\ \therefore u &= \frac{\Gamma}{2\pi r} Sin\theta \quad , \quad v = -\frac{\Gamma}{2\pi r} Cos\theta \end{aligned}$$

عند نقطة الأصل $z=0$ نجد أن السرعة تساوي ∞ أي أن هذه النقطة نقطة حرجة ويمكن عزلها عن بقية أجزاء السائل . وبأخذ نقطة في المستوى وتعيين اتجاه الحركة لكل نقطة فنجد أن اتجاه

حركة السائل عند نقطة في الربع الأول (θ حادة) سيكون $0 < v < u$ وهذا بالنسبة لباقي نقط المستوى . فنجد أن السائل سوف يدور في دوائر متحدة المركز وفي اتجاه عقارب الساعة ويقال أن السائل في هذه الحالة يتحرك في وجود ما يسمى بالدوامة ويكون الجهد :

$$W = \frac{i\Gamma}{2\pi} \ln z$$

هو الجهد المركب للدوامة .

اللف :

لف السائل حول نقطة الأصل أو حول أي منحني مغلق يحيط بنقطة الأصل يعطي من :

$$\oint \vec{q} \cdot d\vec{S} = \oint (u dx + v dy)$$

وبالتعويض عن قيم u, v السابقة نجد أن :

$$\text{الف} = \oint \left(\frac{\Gamma}{2\pi r} \sin \theta dx - \frac{\Gamma}{2\pi r} \cos \theta dy \right), \dots \otimes$$

وحيث أن :

$$x = r \cos \theta$$

$$y = r \sin \theta$$

$$dx = -r \sin \theta d\theta + \cos \theta dr$$

$$dy = r \cos \theta d\theta + \sin \theta dr$$

بالتعميض عن قيم dx, dy في المعادلة \otimes نحصل على :

$$\text{الف} = \oint \left[\frac{\Gamma}{2\pi r} \sin \theta (-r \sin \theta d\theta + \cos \theta dr) - \frac{\Gamma}{2\pi r} \cos \theta (r \cos \theta d\theta + \sin \theta dr) \right]$$

$$\text{الف} = \oint -\frac{\Gamma}{2\pi r} (\sin^2 \theta + \cos^2 \theta) d\theta = \oint -\frac{\Gamma}{2\pi r} d\theta = -\frac{\Gamma}{2\pi r} \cdot 2\pi = -\frac{\Gamma}{r}$$

أي أن الثابت الحقيقي الموجب Γ هو اللف بإشاره سالبة والإشارة السالبة تبين اتجاه اللف إذ انه

في اتجاه عقارب الساعة وعلى هذا يكون $W = \frac{i\Gamma}{2\pi} \ln z$ يمثل الجهد المركب لدوامة في مستوى ذات اللف $-\Gamma$.

٦- دراسة حركة سائل الجهد المركب له

$$\therefore \Phi + i\Psi = A\sqrt{z} = A(x + iy)^{\frac{1}{2}}$$

$$(\Phi + i\Psi)^2 = A^2(x + iy)$$

$$\Phi^2 + 2i\Phi\Psi - \Psi^2 = A^2(x + iy)$$

$$\Phi^2 - \Psi^2 = A^2 x, \dots \dots \dots \quad (1)$$

$$2\Phi\Psi = A^2 y, \dots \dots \dots \quad (2)$$

لإيجاد خطوط الانسياب نضع $C = \Psi$ نحصل على :

$$\Phi^2 - C^2 = A^2 x, \dots \dots \dots \quad (3)$$

$$2\Phi C = A^2 y, \dots \dots \dots \quad (4)$$

بالتعميض من (4) في (3) نحصل على :

$$\begin{aligned} \frac{A^4 y^2}{4C^2} - C^2 &= A^2 x \\ y^2 &= \frac{4C^2}{A^2} x + \frac{4C^4}{A^4} \\ \therefore y^2 &= \frac{4C^2}{A^2} \left(x + \frac{C^2}{A^2} \right), \dots \dots \dots (5) \end{aligned}$$

المعادلة (5) هي معادلة تمثل مجموعة من القطاعات التي محورها المشترك هو محور x ولكن في الاتجاه الموجب لهذا المحور ورؤوسها عند النقطة $\left(-\frac{C^2}{A^2}, 0 \right)$ وإيجاد خطوط تساوي الجهد نضع $\Phi = C'$ في معادلة (1) ، (2)

$$C'^2 - \Psi^2 = A^2 x, \dots \dots \dots (6)$$

$$2C' \Psi = A^2 y, \dots \dots \dots (7)$$

بحذف Ψ بين المعادلتين :

$$\Psi = \frac{A^2 y}{2C'}$$

بالتعمييض في المعادلة (6) :

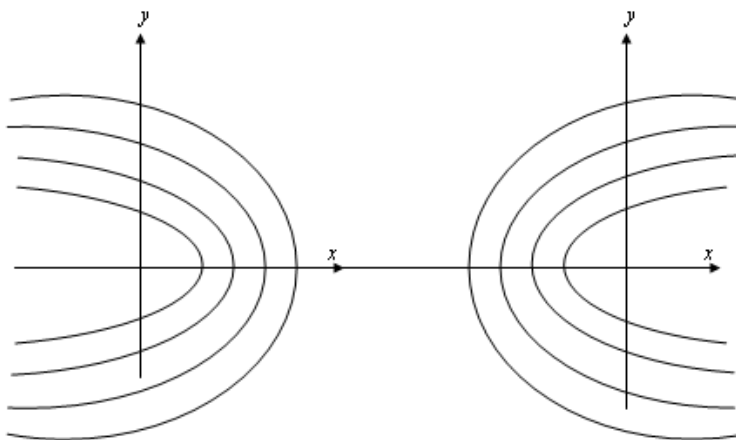
$$C'^2 - \frac{A^4 y^2}{4C'^2} = A^2 x$$

وتكون معادلة خطوط تساوي الجهد هي :

$$y^2 = -\frac{4C'^2}{A^2} \left(x - \frac{C'^2}{A^2} \right)$$

وهي معادلة مجموعية من القطاعات المكافئة لها المحور المشترك هو محور x ولكن الاتجاه

السالب لهذا المحور ورؤوسها عند النقطة $\left(\frac{C'^2}{A^2}, 0 \right)$ كما بالرسم.



خطوط تساوي الجهد

خطوط الانسياب واتجاه حركة المسائل

تعين اتجاه حركة السائل :

$$\frac{dW}{dz} = u - iv = \frac{A}{2\sqrt{z}} = \frac{A}{2\sqrt{r}} e^{-i\theta/2} = \frac{A}{2\sqrt{r}} \left(\cos \frac{\theta}{2} - i \sin \frac{\theta}{2} \right)$$

$$\therefore u = \frac{A}{2\sqrt{r}} \cos \left(\frac{\theta}{2} \right) \quad v = \frac{A}{2\sqrt{r}} \sin \left(\frac{\theta}{2} \right)$$

ويمكن تعين الاتجاه كما بالرسم وبأخذ نقطة محددة في أي ربع وكما نلاحظ أن $z = 0$ هي نقطة حرجة ويمكن عزلها عن بقية السائل.

٧- دراسة حركة السائل الناتجة عن أكثر من جهد مركب :

نعتبر حركة السائل المكون من الجهدتين المركبين :

١ - $W_1 = UZ$ هو حركة سائل في اتجاه محور x الموجب وبسرعة ثابتة U .

٢ - $W_2 = \frac{M}{Z}$ وهو حركة سائل الناتجة عن وجود مزدوج شدته M .

الجهد المركب الجديد هو :

$$W = W_1 + W_2 = UZ + \frac{M}{Z}$$

وهي حركة انسياب سائل في اتجاه محور x بسرعة U ثابتة وذلك عند وجود مزدوج عند نقطة الأصل.

بوضع $z = re^{i\theta}$ فيكون :

$$W = \Phi + i\Psi = Ure^{i\theta} + \frac{M}{r}e^{-i\theta}$$

وبمساواة الأجزاء الحقيقية نحصل على :

$$\Phi = \left(U_r + \frac{M}{r} \right) \cos \theta$$

وبمساواة الأجزاء التخيلية نحصل على :

$$\Psi = \left(U_r - \frac{M}{r} \right) \sin \theta$$

وسوف يهمنا دراسة حركة السائل وبذلك سوف نجد فقط خطوط الانسياب والتي يمكن إيجاد معادلتها بوضع $\Psi = C$:

$$\therefore U \left(r - \frac{M}{Ur} \right) \sin \theta = C, \dots \dots \dots \quad (3)$$

نأخذ الخط $\Psi = 0$ أي عندما $C = 0$ فيكون معادلة هذا الخط :

$$\therefore U \sin \theta \left(r - \frac{M}{Ur} \right) = 0, \dots \dots \dots \quad (4)$$

وهو خط مزدوج مكون من الخط الذي معادلته :

$$\sin \theta = 0 \Rightarrow \theta = 0, \pi, \dots \dots \dots \quad (5)$$

واضح أن هذا الخط هو المحور الموجب لمحور x ($\theta = 0$) والمحور السالب لنفس المحور x . أما بقية خط الانسياب فهو منحني الذي معادلته هي : ($\theta = \pi$)

$$\begin{aligned} r - \frac{M}{Ur} &= 0 \\ \therefore r^2 &= \frac{M}{U} = a^2, \dots \dots \dots \quad (6) \end{aligned}$$

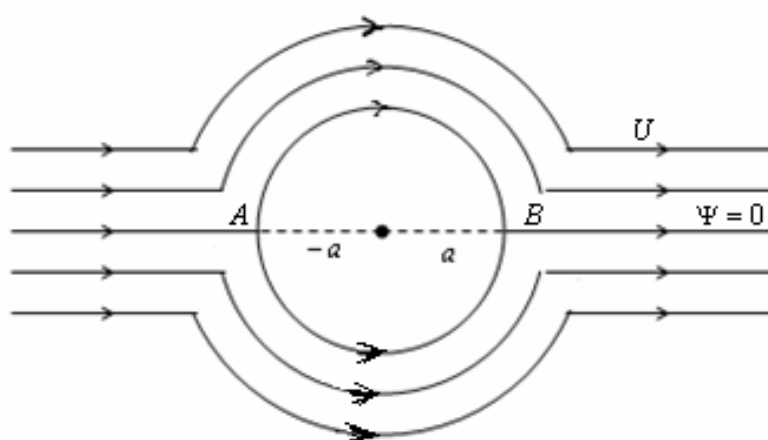
و هذه المعادلة تمثل معادلة دائرة نصف قطرها a و مركزها نقطة الأصل . وبذلك يكون خط الانسياب $\Psi = 0$ مكون من الجزء السالب لمحور x ثم الدائرة التي نصف قطرها a ثم الجزء الموجب لمحور x . فإذا أخذنا الدائرة التي نصف قطرها a كحائط ممتد إلى ما لا نهاية مقطعه هذه الدائرة في المستوى xy فان هذه الحركة هي حركة سائل ينساب في وجود هذه الاسطوانة اللانهائية . ولتعيين بقية خطوط الانسياب وذلك باستخدام المعادلة (3) وبوضع :

$$\begin{aligned} x &= r \cos \theta \\ y &= r \sin \theta \\ \therefore r^2 &= x^2 + y^2 \end{aligned}$$

فإن المعادلة الكرتيزية لخطوط الانسياب هي :

$$C(x^2 + y^2) = Uy(x^2 + y^2 - a^2) \dots \dots \dots (7)$$

وهي معادلة من الدرجة الثالثة وعند رسمها تكون كما بالشكل المبين :



ولإيجاد سرعة السائل نجد أن :

$$W = U \left(z + \frac{a^2}{z^2} \right)$$

حيث $\frac{M}{U} = a^2$ وبالتفاضل بالنسبة إلى z نحصل على :

$$\frac{dW}{dz} = U \left(1 - \frac{a^2}{z^2} \right) = u - iv$$

وعند $z = -\infty$ نجد أن :

$$q = u_{-\infty} - iv_{-\infty}$$

$$\therefore u_{-\infty} = U \quad , \quad v_{-\infty} = 0$$

أي أن السائل سوف ينساب من $-\infty$ بسرعة ثابتة U في اتجاه محور x . وكذلك إذا وضعنا

نجد أن $z = \infty$:

$$q = u_{\infty} - iv_{\infty}$$

أي أن السائل سوف ينساب بسرعة U إلى ما لا نهاية لإيجاد النقطة الحرجة (النقطة التي عندها السرعة تساوي ما لا نهاية) فسوف نجد أن نقطة الأصل هي النقطة التي عندها سرعة السائل لانهائية وهذه النقطة معزولة داخل السائل عن بقية السائل. أما لإيجاد نقط الخمود (النقطة التي عندها تتلاشي السرعة) نجد إنها النقطة التي عندها $z = \pm a$.

الحركة الدوامية Vortex Motion

نفرض أن $\vec{\xi} = (\xi_x, \xi_y, \xi_z)$ وهو المتجه الدوامي (الدوراني) عند أي عنصر من عناصر المائع وللحصول على المعادلات التي تعطي معدل تغير مركبات المتجه الدوامي

نستخدم معادلات أويلر للحركة : $\left(\frac{d\xi_x}{dt}, \frac{d\xi_y}{dt}, \frac{d\xi_z}{dt} \right)$ (الدوراني) وهي

$$\frac{\partial \vec{q}}{\partial t} - \vec{q} \wedge \operatorname{Curl} \vec{q} = -\operatorname{grad} \left[\frac{1}{2} q^2 + \frac{P}{\rho} + \Omega \right]$$

وبأخذ Curl الطرفين نحصل على :

$$\begin{aligned} \frac{\partial \vec{\xi}}{\partial t} - \operatorname{Curl}(\vec{q} \wedge \vec{\xi}) &= 0 \\ \operatorname{Curl}(\vec{q} \wedge \vec{\xi}) &= (\vec{\xi} \cdot \operatorname{grad})\vec{q} - (\vec{q} \cdot \operatorname{grad})\vec{\xi} + \vec{\xi} \cdot \operatorname{div} \vec{q} - \vec{q} \cdot \operatorname{div} \vec{\xi} \end{aligned}$$

وفي حالة الموائع الغير قابلة للانضغاط نجد أن :

$$\operatorname{div} \vec{q} = 0$$

حيث

$$\begin{aligned} \operatorname{div} \vec{\xi} &= \operatorname{div} \operatorname{Curl} \vec{q} = 0 \\ \therefore \frac{\partial \vec{\xi}}{\partial t} + (\vec{q} \cdot \operatorname{grad})\vec{\xi} - (\vec{\xi} \cdot \operatorname{grad})\vec{q} &= 0 \\ \frac{d\vec{\xi}}{dt} &= (\vec{\xi} \cdot \operatorname{grad})\vec{q} \end{aligned}$$

$$\left. \begin{aligned} \therefore \frac{d\xi_x}{dt} &= (\vec{\xi} \cdot \text{grad}) u \\ \therefore \frac{d\xi_y}{dt} &= (\vec{\xi} \cdot \text{grad}) v \\ \therefore \frac{d\xi_z}{dt} &= (\vec{\xi} \cdot \text{grad}) w \end{aligned} \right\}, \dots \dots \dots \quad (I)$$

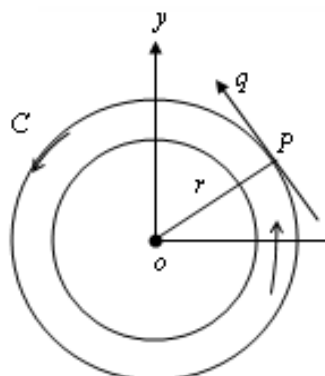
حيث . $\vec{q} = (u, v, w)$

الطرف الأيمن من المعادلة (I) تمثل تغير مركبات متوج الدوامة لعنصر المائع عندما تكون اللزوجة متساوية للصفر وفي هذه الحالة خطوط الدوامة تتحرك مع المائع . ومن المعادلة (I) نجد أن معدل تغير متوج الدوامة (الدوران) يساوي الصفر فقط $= 0$ أي أن الدوامة لا تخلق ولا تفني من المائع .

الحركة الدوامية في بعدين :

في هذه الحالة نجد أن :

$$\vec{\xi} = \text{Curl } \vec{q} = \left(0, 0, \frac{\partial v}{\partial x} - \frac{\partial u}{\partial y} \right)$$



أي أن الدوامة دائماً في اتجاه محور z العمودي على المستوى xy .
نعتبر أنبوبة دوامية دائيرية نصف قطرها a في انسياط غير دوراني في
بعدين خارج المنطقة المحددة بالدائرة $x^2 + y^2 = a^2$ والسائل ممتد إلى
مalanهاية في جميع الاتجاهات ولا توجد أي منابع أو مصبات . نفرض أن

q هي السرعة المماسية عند النقطة P على دائرة ذات نصف القطر r ومركزها عند o . ويعرف الدوران حول C على انه :

$$\int q dS = 2\pi r q$$

ومن نظرية ستوكس ، الدوران السابق يجب أن يساوي فيض الدوامة الذي يعبر الفرض المحدد C أي أن :

$$\begin{aligned} 2\pi r q &= \iint_{\Sigma} \text{Curl} \vec{q} \cdot d\vec{\Sigma} = \iint_{\Sigma} \vec{\xi} \cdot d\vec{\Sigma} \\ 2\pi r q &= \begin{cases} \pi r^2 \xi & \text{if } r < a \\ \pi a^2 \omega & \text{if } r > a \end{cases}, \dots \dots \dots (I) \\ q &= \frac{a^2 \omega}{2r}, r > a \\ q &= \frac{1}{2} \omega r, r < a \end{cases}, \dots \dots \dots (II) \end{aligned}$$

في العلاقة (II) يتضح لنا أن داخل الدوامة الدائرية المائع يدور كما لو كان جسم متماسك

بالسرعة الزاوية $\frac{\omega}{2}$ حول o .

وإذا كان نصف قطر الدوامة الدائرية صغير جدا فالدوامة الدائرية تعرف على إنها Rectilinear و الدوامة K حول منحني محيط بالدوامة هو $\pi a^2 \omega$ ، ومن (II) نجد أن :

$$q = \frac{K}{2\pi r} = \frac{1}{r} \frac{\partial \Phi}{\partial \theta}$$

$$\therefore \Phi = -\frac{K\theta}{2\pi}$$

دوامة خارج اسطوانة دائيرية :

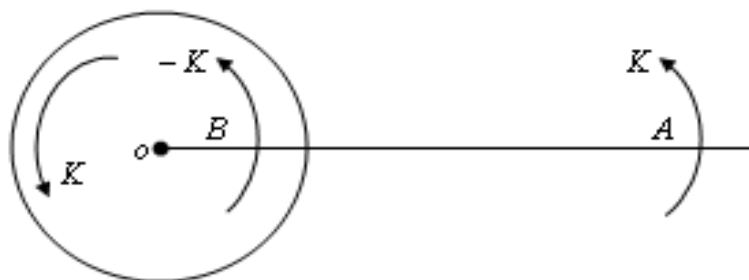
بفرض أن دوامة لها الشدة K عند النقطة Z_1 خارج اسطوانة $|Z| = a$ فإذا كانت الحركة ترجع للدوامة فقط فيكون الجهد المركب على الصورة :

$$\omega = \frac{iK}{2\pi} \log(Z - Z_1)$$

وإذا نشأنا اسطوانة دائيرية المقطع $|Z| = a$ في المائع فيكون الجهد المركب على الصورة :

$$\begin{aligned}\omega &= \frac{iK}{2\pi} \log(Z - Z_1) - \frac{iK}{2\pi} \log\left(\frac{a^2}{Z} - \bar{Z}_1\right) \\ \omega &= \frac{iK}{2\pi} \log Z + \frac{iK}{2\pi} \log(Z - Z_1) - \frac{iK}{2\pi} \log\left(\frac{a^2}{Z} - \bar{Z}_1\right)\end{aligned}$$

.. صورة الدوامة خارج الاسطوانة الدائرية يتكون من دوامة لها الشدة K - عند النقطة B علاوة على دوامة آخر لها الشدة K عند المركز o .

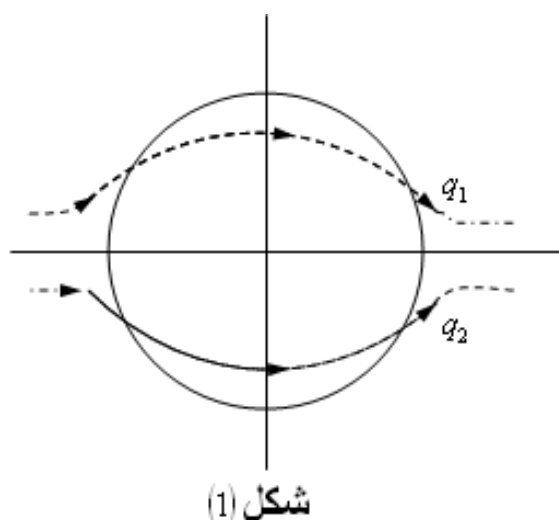


الانسياب مع الدوران حول اسطوانة دائيرية :

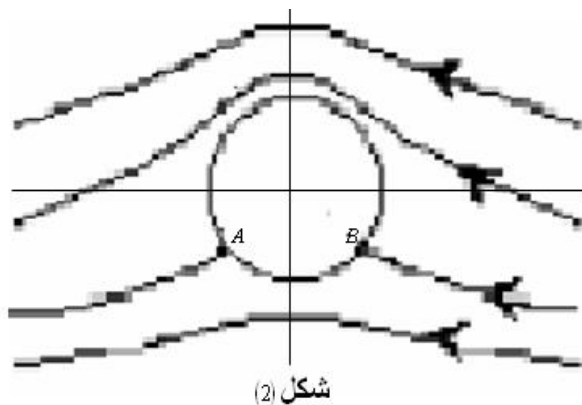
للحصول على انسياب دوراني على اسطوانة نصف قطرها a يجب أن نضيف إلى الجهد المركب السابق (للانسياب بدون دوران) الجهد المركب لدوامة عند نقطة الأصل أي أن الجهد المركب للانسياب الدوراني يكون بالصورة :

$$W = U \left(Z + \frac{a^2}{Z} \right) + \frac{i\Gamma}{2\pi} \ln Z, \dots \dots \dots \quad (1)$$

وعلى هذا فعد كل نقطة M في مستوى الحركة نضيف إلى السرعة بدون دوران q_1 السرعة q_2 الناتجة عن الدوران البurt (الدوامة) و تكون سرعة M هي محصلة السرعتين q_1, q_2 كما بالشكل .



وفي الحقيقة فإن الانسياب الدوراني يمنع تماثل خطوط الانسياب حيث أنه الجزء العلوي تكون السرعة الناتجة عن الدوران البحث في نفس الاتجاه الذي تكون فيه السرعة الناتجة عن الانسياب دون دوران على الاسطوانة بينما في الجزء السفلي تكون فيه السرعة الناتجة من الدوران البحث في الاتجاه المعاكس شكل (1) ويكون شكل الانسياب كما في الشكل (2).



ولإيجاد النقط الحرجة نساوي السرعة المركبة بالصفر فنجد أن :

$$U \left(1 - \frac{a^2}{Z^2} \right) + \frac{i\Gamma}{2\pi Z} = 0, \dots \dots \dots (2)$$

$$\therefore Z = re^{i\theta}$$

وعلى الاسطوانة $r = a$

$$\therefore Z = ae^{i\theta}$$

بالتعويض عن Z في (2) :

$$U\left(1 - e^{-2i\theta}\right) + \frac{i\Gamma}{2\pi a} e^{-i\theta} = 0$$

$$U\left(e^{i\theta} - e^{-i\theta}\right) = -\frac{i\Gamma}{2\pi a}$$

$$U\left(\frac{e^{i\theta} - e^{-i\theta}}{2i}\right) = -\frac{\Gamma}{4\pi a}$$

$$\therefore \sin \theta = -\frac{i\Gamma}{4\pi U a}$$

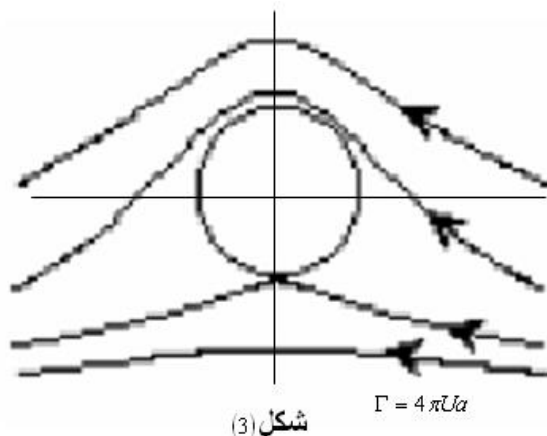
و واضح من هذه العلاقة إنها تنظر زاويتين ($\Gamma > 0$) في الربعين الثالث والرابع (لأن الجيب سالب) و موضع بال نقطتين الحرجتين A, B تتحركان إلى أسفل على الاسطوانة وإذا كانت :

$$\Gamma = 4\pi U a$$

$$\sin \theta = -1$$

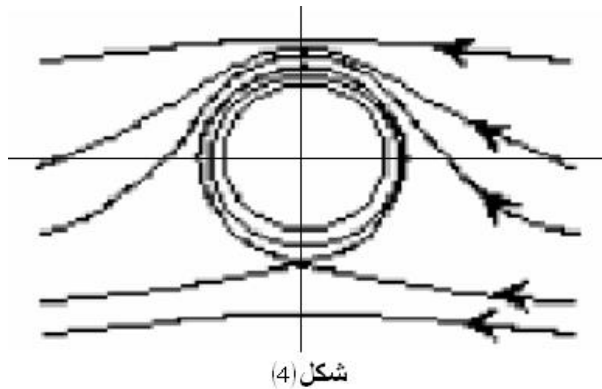
وهذا معناه أن النقطتين الحرجتين صارتتا نقطة حرجية واحدة على المحور الصادي كما في الشكل

. (3)



وإذا كانت $\Gamma > 4\pi Ua$ فان هذا معناه أن :

$$\sin \theta > -1$$



وهذا لا يمكن أن يزيد جيب الزاوية عن الوحدة فان النقطة الحرجة تبعد عن الاسطوانة ويكون الانسياب كما في الشكل (4). وفي هذه الحالة يكون جزء من المائع يدور حول الاسطوانة بحيث يظهر هذا الجزء الدائري من المائع كجزء منفصل من باقي

المائع بخط انسيابي منفصل ويكون الدوران في هذه الحالة على الاسطوانة مساوياً لدوران الدوامة

. Γ

نظرية الدائرة : Circle Theory

في الحركة المستوية الغير دورانية لمائع غير لزج وغير قابل للانضغاط وبدون وجود أجسام صلبة (No rigid boundaries) . وإذا كانت $W = f(Z)$ هي دالة الجهد المركب لهذا الانسياب حيث النقطة الفريدة للدالة $f(Z)$ تقع على بعد اكبر من a من نقطة الأصل وإذا وضعن اسطوانة دائيرية قائمة طولها لانهائي محورها عمودي في مستوى الانسياب (محورها هو محور Z) وكانت الاسطوانة هي $|Z| = a$ في مجال الحركة فان الجهد المركب للحركة يصبح على الصورة :

$$W = f(Z) + f\left(\frac{a^2}{Z}\right), \dots \quad (1)$$

وذلك خارج الاسطوانة أي حيث $|Z| = a$

البرهان :

$$Z = re^{i\theta}$$

علي الاسطوانة المذكورة يكون :

$$Z = ae^{i\theta}$$

$$\bar{Z} = ae^{-i\theta}$$

$$\therefore Z\bar{Z} = a^2 \Rightarrow \bar{Z} = \frac{a^2}{Z}$$

حيث \bar{Z} مترافق Z . من (1) نجد أن :

$$W = f(Z) + \bar{f}(\bar{Z})$$

كمية حقيقية

$$\therefore W = f(Z) + \overline{f(Z)} =$$

لأن $f(Z)$ ، $\overline{f(Z)}$ مترافقتان .

علي الدائرة $|Z| = a$ يكون $\Psi = 0$.

.. الدائرة $|Z| = a$ خط انسيابي .

وحيث أن جميع النقاط الفريدة للدالة $f(Z)$ تقع خارج الدائرة $|Z| = a$ أي يقع في المنطقة $|Z| < a$

وجود الاسطوانة لا يؤثر على عدد النقط الفريدة في الانسياب الأصلي وأيضا $f(Z)$ ليس لها نقط فريدة عند نقطة الأصل وعلى ذلك $\bar{f}\left(\frac{a^2}{Z}\right)$ ليس لها نقط فريدة في اللانهاية أي أن الجهد المركب $f(Z)$ يكون له نفس النقط الفريدة التي للدالة $\bar{f}(Z)$ أي انه هو الجهد المطلوب .

مثال :

الانسياب المنتظم على اسطوانة ساكنة :

سبق أن عرفنا أن الجهد المركب لانسياب منتظم سرعته U هو $W = UZ$

$$\begin{aligned} \therefore f(Z) &= UZ \\ \bar{f}(Z) &= U\bar{Z} \\ \bar{f}\left(\frac{a^2}{Z}\right) &= U \frac{a^2}{Z} \end{aligned}$$

وعلى ذلك فإذا أدخلنا في الانسياب الاسطوانة التي مقطعها $|Z| = a$ فان الجهد المركب خارجها

يصبح $(|Z| = a)$

$$\bar{W} = f(Z) + \bar{f}\left(\frac{a^2}{Z}\right) = UZ + U \frac{a^2}{Z} = U\left(Z + \frac{a^2}{Z}\right)$$

بوضع $Z = re^{i\theta}$ نجد أن :

$$\begin{aligned}\overline{W} &= U \left(r e^{i\theta} + \frac{a^2}{r} e^{-i\theta} \right) = \Phi + i\Psi \\ \Phi &= U \left(r + \frac{a^2}{r} \right) \cos\theta \\ \Psi &= U \left(r - \frac{a^2}{r} \right) \sin\theta\end{aligned}$$

كما سبق .

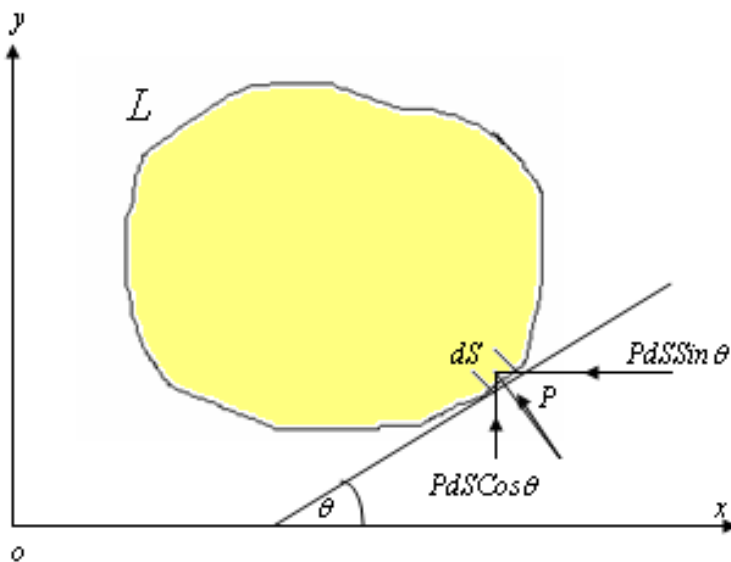
نظرية جوكوفسكي للضغط المحصل أو نظرية بلاسيوس :

تعرضنا الآن لدراسة الانسياب للمستوي المعرف بالجهد المركب (W) من الناحية الكينماتيكية .

أما في هذا الجزء سوف نحاول إيجاد القوة المحصلة للضغط على جسيم ينساب عليه مائع إذا كان الجهد المركب لهذا الانسياب معروضاً . أول من تعرض لهذه المسألة هو جوكوفسكي عام ١٩٠٦م بفرض أن (W) هي دالة الجهد المركب التي توصف حركة المائع حول حاجز اسطواني طوله الوحدة الذي سطحه في مستوى Z عبارة عن منحني بسيط مغلق L القوة المؤثرة على هذا الحاجز تعطي من :

$$\overline{F} = X - iY = \frac{1}{2} i\rho \oint_L \left(\frac{dW}{dZ} \right)^2 dZ$$

حيث X, Y تمثلان مركبات هذه القوي في الاتجاه الموجب للمحورين (x, y) ، ρ تمثل كثافة المائع .



القوة المؤثرة على عنصر المساحة dS قيمتها PdS حيث P يمثل الضغط بتحليل هذه القوة إلى مركبتين إحداهما موازية لنحو x والآخر موازية لمحور y .

$$\overline{dF} = dX - idY$$

$$\therefore \overline{dF} = -PdSSin\theta - iPdSCos\theta = -iPdS(Cos\theta - iSin\theta)$$

$$\overline{F} = -i \int P(Cos\theta - iSin\theta) dS$$

وباعتبار الحركة لا زمانية والمائع غير قابل للانضغاط وإهمال القوى الجسمية فإن الضغط عند A يمكن تعبينه من معادلة برنولي كالتالي :

$$\frac{P}{\rho} + \frac{q^2}{2} + \Omega = C_1$$

$$P = C - \cancel{\rho\Omega} - \frac{1}{2}\rho q^2$$

حيث q السرعة عند A

$$\begin{aligned}\therefore \bar{F} &= -i \oint_L \left(C - \frac{1}{2} \rho q^2 \right) (Cos\theta - iSin\theta) dS \\ \bar{F} &= -i \oint_L C (Cos\theta - iSin\theta) dS + \frac{1}{2} i \rho \oint_L q^2 (Cos\theta - iSin\theta) dS \\ \therefore \oint_L CCos\theta dS &= \oint_L C \frac{dx}{dS} dS = C \oint_L dx = 0 \\ \oint_L CSin\theta dS &= \oint_L C \frac{dy}{dS} dS = C \oint_L dy = 0\end{aligned}$$

وذلك انه بدوره كاملة على L تأخذ نفس القيم الابتدائية لها .

$$\begin{aligned}\bar{F} &= \frac{1}{2} i \rho \oint_L q^2 (Cos\theta - iSin\theta) dS \\ \frac{dW}{dZ} &= u - iv = (qCos\theta - iqSin\theta) = q(Cos\theta - iSin\theta) = qe^{-i\theta} \\ \therefore q &= e^{i\theta} \frac{dW}{dZ} \\ \bar{X} - i\bar{Y} &= \frac{1}{2} i \rho \oint_L \left(\frac{dW}{dZ} \right)^2 e^{2i\theta} (Cos\theta - iSin\theta) dS = \frac{1}{2} i \rho \oint_L \left(\frac{dW}{dZ} \right)^2 e^{i\theta} dS \\ dZ &= dx + idy = dSCos\theta + iSin\theta dS = dSe^{i\theta} \\ dS &= e^{-i\theta} dz \\ \therefore X - iY &= \frac{1}{2} i \rho \oint_L \left(\frac{dW}{dZ} \right)^2 dZ\end{aligned}$$

ومن هذه العلاقة الخيرة يمكن إيجاد كل من X, Y إذا علمت دالة الجهد المركب W وتكون قوة الضغط المحصل R هو :

$$R = \sqrt{X^2 + Y^2}$$

واتجاهها يضع مع محور x زاوية قدرها :

$$\tan^{-1} \left(\frac{Y}{X} \right).$$

نظرية جوكوفسكي لإيجاد عزم الضغط المحصل :

في علم ميكانيكا الغازات من المهم ليس فقط معرفة الضغط P بل أيضاً يلزم معرفة نقطة تأثيرها والتي تسمى بمركز الضغط وهذا الجزء سوف نجد عزم قوة الضغط المحصل حول نقطة الأصل إذا علم الجهد المركب W للانسياب لذلك نفرض أن عزم الضغط المحصل حول نقطة الأصل .

(أو بمعنى أدق حول محور عمودي على المستوى xy محور Z هو M أي أن عزم القوة P حول محور Z هو M . لذلك نفرض أن (X_1, Y_1) تمثل مركبي قوة الضغط عند النقطة A في

اتجاهي المحورين (x, y) عندئذ فان عزم هذه القوة حول محور Z هو $d\vec{M}$ حيث :

$$d\vec{M} = \begin{vmatrix} \vec{i} & \vec{j} & \vec{k} \\ x & y & 0 \\ X_1 & Y_1 & 0 \end{vmatrix} = (X_1 y - x Y_1) \vec{k} = \begin{vmatrix} \vec{i} & \vec{j} & \vec{k} \\ x & y & 0 \\ -PSin\theta & PCos\theta & 0 \end{vmatrix} = (xPCos\theta + yPSin\theta) \vec{k}$$

$$d\vec{M} = xPCos\theta + yPSin\theta = P(xCos\theta + ySin\theta)$$

$$M = \oint_l P(xCos\theta + ySin\theta) dS$$

$$P = C - \frac{1}{2} \rho q^2 \quad \text{حيث}$$

$$M = \oint_L \left(C - \frac{1}{2} \rho q^2 \right) (xCos\theta + ySin\theta) dS$$

$$M = \oint_L C(xCos\theta + ySin\theta) dS - \frac{1}{2} \rho \oint_L q^2 (xCos\theta + ySin\theta) dS$$

$$\because Cos\theta = \frac{dx}{dS} \quad \cdot \quad Sin\theta = \frac{dy}{dS}$$

$$\therefore M = \oint_L C(xdx + ydy) + Rl \left\{ -\frac{1}{2} \rho \oint_L q^2 (x + iy)(Cos\theta - Sin\theta) dS \right\}$$

$$\oint_L Cd(x^2 + y^2) = 0 \quad \text{وذلك لأن}$$

مثال (١) :

أوجد الضغط المحصل وعزم الضغط المحصل في حالة الانسياب الدوراني على اسطوانة دالة الجهد المركب للمائع في هذه الحالة

$$W = U \left(Z + \frac{a^2}{Z} \right) + \frac{i\Gamma}{2\pi} \ln Z$$

حيث a نصف قطر الاسطوانة ، U هي السرعة النهاية للمائع (السرعة على بعد كبير جداً من الاسطوانة) ، Γ هي قيمة الدوران .

الحل :

$$X - iY = \frac{i\rho}{2} \oint_L \left(\frac{dW}{dZ} \right)^2 dZ$$

حيث L محيط قاعدة الاسطوانة .

$$\begin{aligned} \frac{dW}{dZ} &= U \left(1 - \frac{a^2}{Z^2} \right) + \frac{i\Gamma}{2\pi Z} \\ X - iY &= \frac{i\rho}{2} \oint_L \left(U \left(1 - \frac{a^2}{Z^2} \right) + \frac{i\Gamma}{2\pi Z} \right) dZ \\ X - iY &= \frac{i\rho}{2} \oint_L \left(U^2 + \frac{U^2 a^4}{Z^4} - 2 \frac{U^2 a^2}{Z^2} - \frac{\Gamma^2}{4\pi^2 Z^2} + \frac{i\Gamma U}{\pi Z} - i\Gamma \frac{U^2 a^2}{\pi Z^2} \right) dZ \\ X - iY &= \frac{i\rho}{2} (2\pi i) \frac{i\Gamma U}{\pi} = -i\rho U \Gamma \\ X &= 0, Y = \rho U \Gamma \end{aligned}$$

وبالتالي تكون القوة المؤثرة هي في الاتجاه الموجب لمحور y وقيمتها $\rho U \Gamma$ وفي هذه الحالة الاسطوانة تكون أفقية بأخذ الاتجاه الرأسي بقوة الرفع $lift$ للاسطوانة ولا توجد قوة سحب

: وكذلك $Drag X = 0$

$$\begin{aligned}
 M &= Rl \left[-\frac{\rho}{2} \oint_L Z \left(\frac{dW}{dZ} \right)^2 dZ \right] \\
 M &= Rl \left[-\frac{\rho}{2} \oint_L \left(Zu^2 + \frac{ua^2}{Z^3} - 2 \frac{U^2 a^2}{Z} - \frac{\Gamma^2}{4\pi^2 Z} + \frac{i\Gamma U}{2\pi} - \frac{i\Gamma U a^2}{2\pi Z^2} \right) dZ \right] \\
 M &= Rl \left[\frac{\rho}{2} 2\pi i \left(\frac{\Gamma}{4\pi^2} + 2U^2 a^2 \right) \right] = 0
 \end{aligned}$$

وعلي ذلك فان مقدار قوة الضغط المحصل هو :

$$R = Y = \rho \Gamma U, X = 0$$

وتمر نقطة الأصل وذلك لأن مجموع العزوم حول نقطة الأصل تساوي الصفر .

ملحوظة :

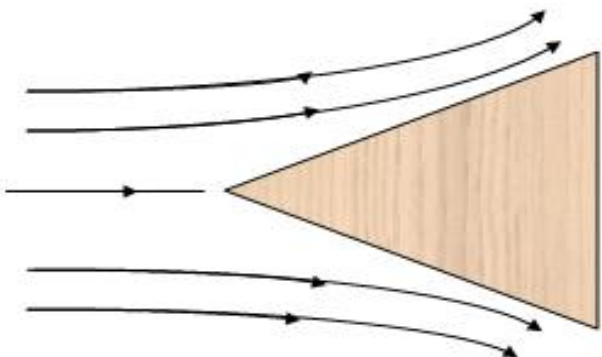
منحنى التكامل : Couture Integration

لحساب التكاملات الموجودة بنظرية بلاسيوس ونظرية جوكوفسكي لإيجاد الضغط المحصل نستخدم نظرية المتغير المركب أو نظرية الباقي . The Residue Theory

$$\oint_L f(Z) dZ = 2\pi i R_1$$

جميع التكاملات تتلاشي ما عدا التي تأخذ الصورة :

$$\frac{R_1}{Z - a}$$

مثال (٢) :

تيار يمر على جسم نصفي ... (الجسم النصفي يعني أن الجسم ممتد في اتجاه واحد) الجسم النصفي شبيه بمقدمة السفينة لأن ذيل السفينة سيكون بعيداً عن مقدمتها وفي هذه الحالة تكون الحركة شبيه بحركة تيار منتظم $(U, 0)$ يمر على منبع قوته m موجود عند نقطة الأصل وتكون دالة الجهد المركب المناظرة :

$$W = UZ + m \ln Z$$

$$\Phi + i\Psi = U(x + iy) + m \ln(x + iy)$$

$$\Phi + i\Psi = U(x + iy) + m \ln(re^{i\theta}) = U(x + iy) + m \ln r + im\theta$$

$$\therefore \Phi + i\Psi = \left(Ux + m \ln \left(\sqrt{x^2 + y^2} \right) \right) + i(Uy + m\theta)$$

$$\theta = \tan^{-1} \left(\frac{y}{x} \right)$$

$$\Phi = Ux + \frac{1}{2}m \ln(x^2 + y^2)$$

وهذه هي دالة الجهد أما دالة الانسياب :

$$\Psi = Uy + \frac{1}{2}m \tan^{-1} \left(\frac{y}{x} \right)$$

خط الانسياب $\Psi = 0$ هو الخط المحدد لسطح السفينة.

$$\begin{aligned} Uy + \frac{1}{2}m \tan^{-1}\left(\frac{y}{x}\right) &= 0 \\ \frac{y}{x} &= -\tan\left(\frac{Uy}{m}\right) \\ \frac{1}{x} &= -\frac{\tan\left(\frac{Uy}{m}\right)}{y}, \dots \dots \dots (1) \end{aligned}$$

وعندما $x \rightarrow \infty$ فان :

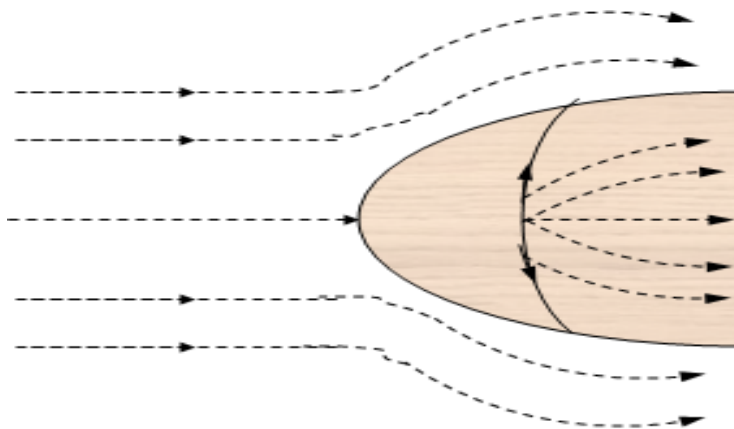
$$\frac{Uy}{m} \rightarrow \pi$$

وعندما $x \rightarrow 0$ فان :

$$\begin{aligned} \frac{Uy}{m} &\rightarrow \frac{\pi}{2}, y = \frac{\pi m}{2U} \\ \lim_{y \rightarrow 0} \left(\frac{m}{Ux} \right) &= \lim_{y \rightarrow 0} \left(\frac{-\tan\left(\frac{Uy}{m}\right)}{\left(\frac{Uy}{m}\right)} \right) \end{aligned}$$

$$x = -\frac{m}{U} \quad or \quad \frac{m}{Ux} = -1$$

وبالتالي فان خط الانسياب $\Psi = 0$ يمر بالنقاط $\left(-\frac{m}{U}, 0\right)$, $\left(0, \pm \frac{\pi m}{2U}\right)$, $\left(\infty, \pm \frac{\pi m}{U}\right)$ وإذا وضعنا بدلا من خط الانسياب $\Psi = 0$ بالجسم النصفي سيعطي نفس الحركة.



لتعيين القوة المؤثرة على الجسم نفاضل المعادلة :

$$W(Z) = UZ + M \ln Z$$

$$\frac{dw}{dZ} = U + \frac{M}{Z}$$

$$\left(\frac{dw}{dZ} \right)^2 = U^2 + \frac{2MU}{Z} + \frac{M^2}{Z^2}$$

هذه الدالة يوجد قطب عند النقطة $Z = 0$. ولن يكون الباقي $2MU$ ويتطبق نظرية بلاسيوس :

$$X - iY = \frac{i\rho}{2} \oint_L \left(\frac{dW}{dZ} \right)^2 dZ = -2\pi MU\rho$$

$$\therefore X = -2\pi MU\rho , \quad Y = 0$$

القوة المؤثرة على الجسم قوة سحب ومقدارها $2\pi MU\rho$ ولا توجد قوة رفع . Lift .

الصور المستوية : Two - dimensional images

تعريف :

تعرف صورة مجموعة من المنابع والمصبات والمزدوجات بالنسبة لسطح ما لا يخترقه المائع بمجموعة أخرى موجودة خلف هذا السطح (مجموعة وهمية) .

فمثلاً إذا طلب منا دراسة منبع موجود أمام حائط فيمكننا استبدال الحائط بمنبع آخر هو صورة ذلك المنبع بالنسبة للحائط .

وشرط الحائط هو أن تكون المركبة العمودية للسرعة عند أي نقطة عليه تساوي صفراء . لنفرض سطحاً S مرسوماً في مائع متحرك بحيث أن المائع لا ينتقل خالله ولنفرض أن السطح S يقسم المائع إلى منطقتين ١ ، ٢ . أي مجموعة من المنابع أو المصبات أو المزدوجات في المنطقة ٢ تسمى صورة للمنطقة ١ في S . فإذا استبدلنا المائع في ٢ واستبدلنا S بحد متماسك له نفس الشكل والحجم فإن الانسياب في ١ لا يتغير .

أي أن إذا عرفنا صورة ١ في S نستطيع حل مسألة الانسياب في ١ على سطح متماسك .

في شكل (1) يبين منبع شدته m موضوع على بعد a من مستوى صلب لانهائي 'YY' وسنوضح الآن أن صورة هذا المنبع هي منبع مساوي عند 'A' حيث 'A' هي الصورة الضوئية للنقطة A في المستوى .

لذلك نعتبر شكل (2) حيث عندنا منبع شدة كلاً منها عند النقطتين $A'(-a, o, o)$ ،

وكانت P_o نقطة على الحائط

وبذلك تكون السرعة عند هي :

$$\frac{m}{AP_o^2} \frac{AP_o}{AP_o} + \frac{m}{A'P_o^2} \frac{A'P_o}{AP_o} = \frac{m}{AP_o^2} \left(\frac{AP_o}{AP_o} + \frac{A'P_o}{AP_o} \right) = \frac{2m}{AP_o^2} \frac{OP_o}{AP_o}$$

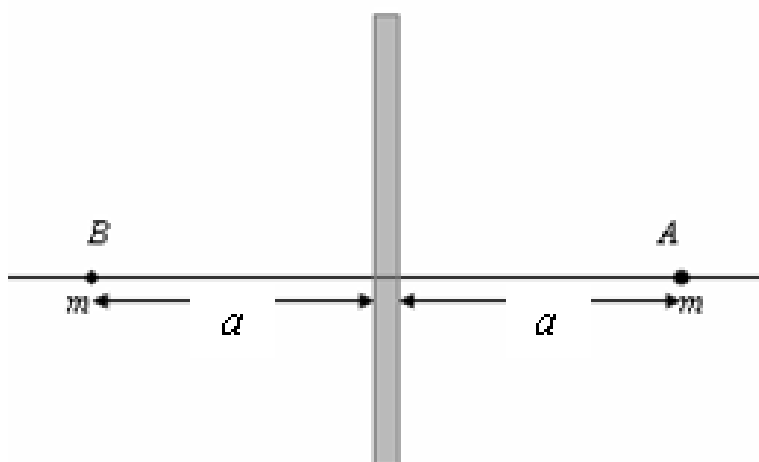
وهذا معناه انه عند أي نقطة P_o على المستوى الصلب YY' فان المائع يتحرك في اتجاه المماس لهذا المستوى وبعبارة أخرى فان المائع لا يمر خلال هذا المستوى.

في الشكل (2) ، (1) عند جميع النقط P_o على المستوى YY' يكون $\frac{\partial P}{\partial n} = 0$ لمنطقة الانسياب

حيث $x \geq 0$.

أي أن صورة منبع m عند A في شكل (1) هي منبع m عند A' التي هي الصورة الضوئية لنقطة A في YY' .

١- صورة منبع أمام حائط



نفرض أن لدينا منبع عند النقطة $A(a,0)$ له الشدة m على بعد a من حائط لانهائي الطول عند $x=0$ صورة هذا المنبع عند الحائط هي أيضاً منبع آخر له الشدة m عند النقطة $B(-a,0)$ إذا كان لا يوجد حائط وهناك سائل يتحرك المنطقة على جانبي محور y فيكون دالة الجهد المركب له هي :

$$\begin{aligned} W &= -m \log(z-a) - m \log(z+a) \\ W &= -m \log(z^2 - a^2), \dots \dots \dots \quad (1) \\ \frac{dW}{dz} &= -\frac{2mz}{z^2 - a^2} \end{aligned}$$

عند الحائط نجد أن

$$x=0 \quad , \quad W = -m \log(-y^2 - a^2)$$

Constant on the wall $\Psi =$

أي أن Ψ مقدار ثابت عند الحائط.

$x=0$ عبارة عن خط انسياط (محور y خط انسياط) ولذلك لا يوجد انسياط يعبر عن محور y .

\therefore المعادلة (1) تمثل دالة الجهد المركب لمنبعين على بعدين متساوين من نقطة الأصل.

عند الحائط نجد أن $x=0$

$$\therefore \frac{dW}{dz} = -\frac{2miy}{-y^2 - a^2}$$

and

$$\frac{d\bar{W}}{dz} = \frac{2miy}{-y^2 - a^2}$$

$$\therefore q^2 = \frac{dW}{dz} \frac{d\bar{W}}{dz} = \frac{4m^2 y^2}{(y^2 + a^2)^2}$$

ومن معادلة برنولي نجد أن :

$$P = P_\infty - \frac{\rho}{2} q^2 = P_\infty - \frac{2\rho m^2 y^2}{(y^2 + a^2)^2}, \dots \dots \dots (2)$$

حيث P_∞ الضغط عند ما لانهاية .

٢- صورة منبع في مستوى لا نهائي صلب : Image of a source in a rigid plane

سوف نثبت الان أن صورة منبع مستوى لا نهائي صلب هي منبع له نفس الشدة عند الصورة الضوئية في المستوى للمنبع الأول.

لهذا نفرض أن المستوى هو $X = 0$ وانه يوجد منبع شدته m عند النقطة $z = z_1 > 0$ حيث $z_1 > 0$.
 فإذا تصورنا زوال المستوى وأدخلنا منبعا آخر شدته m عند $z = -\bar{z}_1$ (حيث \bar{z} هو العدد المراافق للعدد المركب z_1) وحيث $(-\bar{z})$ هي صورة z_1 في المستوى $X = 0$ فإن جهد السرعة المركب عند أي نقطة P حيث $OP = z$ يعرف بالدالة :

$$w = -m \ln(z - z_1) - m \ln(z + \bar{z}_1)$$

وهو جهد المنبع وصورته .

$$\therefore \frac{dw}{dz} = -\frac{m}{z - z_1} - \frac{m}{z + \bar{z}_1}$$

وعند أي نقطة على المستوى $X = 0$ يكون $z = iy$ وعندئذ يكون :

$$\left(\frac{dw}{dz} \right)_{z=iy} = -m(iy - z_1)^{-1} - m(iy + \bar{z}_1)^{-1} = m \left[(iy - z_1)^{-1} - (iy + \bar{z}_1)^{-1} \right]$$

وحيث أن $(iy - z_1)^{-1}$ هي المراافق للمقدار $(iy + \bar{z}_1)^{-1}$ فإن :

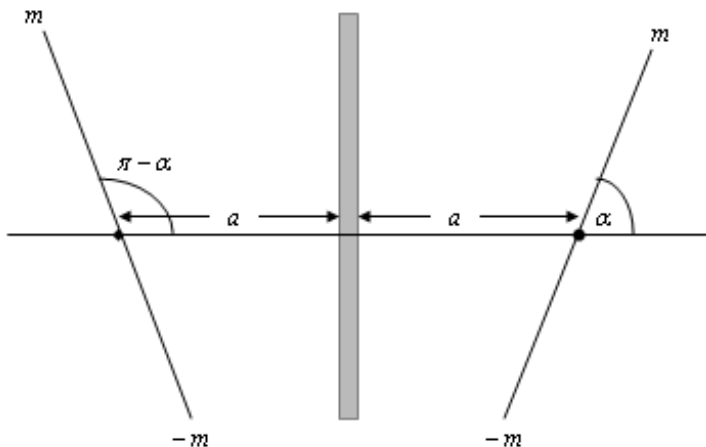
$$\operatorname{Re} \left(\frac{dw}{dz} \right)_{z=iy} = 0$$

أي أن في المستوى $X = 0$ فإن مركبة السرعة u تساوي صفرًا وهي السرعة في اتجاه عمودي على المستوى أي أنه لا يوجد انسياط للمائع خلال المستوى ولهذا يمكن استبداله بمستوى صلب . وعلى ذلك فإن صورة منبع في مستوى لا نهائي هي منبع له نفس الشدة موضوع عند نقطة تعرف بانها الصورة الضوئية في المستوى للنقطة الموجودة عندها المنبع .

أي أن مسألة منبع أمام مستوى لا نهائي صلب هي نفسها مسألة نفس المنبع وصورته في مائع لا نهائي .

3- صورة مزدوج أمام حائط : Image of a double in a wall

صورة مزدوج له الشدة η محوره يميل بزاوية α مع محور x هي أيضاً مزدوج آخر له الشدة η . محوره يميل بزاوية $\pi - \alpha$ مع محور x .



إذا كان المزدوج عند النقطة $Z = Z_o$ فان الصورة تقع عند النقطة $Z = -\bar{Z}_o$ وتكون دالة الجهد المركب هي :

$$w = \frac{\eta e^{i\alpha}}{z - z_o} + \frac{\eta e^{i(\pi-\alpha)}}{z - \bar{z}_o} = \frac{\eta e^{i\alpha}}{z - z_o} - \frac{\eta e^{i(\pi-\alpha)}}{z - \bar{z}_o}, \dots \dots \dots (3)$$

٤- صورة مزدوج في المستوى : Image of a double in a plane

ليكن المطلوب إيجاد صورة مزدوج في المستوى الصلب OY لذلك نعتبر الشكل المجاور حيث يوجد منبعان متجاوران جدا عند A, B شدتهما $m, -m$ وعلى ذلك فان صورهما المناظرة في المستوى OY هما A', B' حيث A', B' عند $-m$ ، A, B عند m مما صورتا A, B في المستوى المذكور OY .

المستقيم \overline{AB} يصنع زاوية مقدارها α مع محور السينات وعلي ذلك فان $A'B'$ يصنع زاوية $(\pi - \alpha)$ مع نفس محور السينات.

وفي النهاية عندما $m \rightarrow \infty$ ، $\overline{AB} \rightarrow 0$ فإننا نحصل على مزدوجين متساوين عند A, A' محوراهما يميلان بالزاوietin $[\alpha, (\pi - \alpha)]$ على محور x . أي أن صورة مزدوج في مستوى صلب هي مزدوج له نفس الشدة.

٥- صورة دوامة في مستوى لانهائي صلب : Image of a vortex in a rigid plane

لنعتبر دوامة دورانها Γ عند $z = z_1$ حيث $Re(z_1) > 0$ ثم لندخل دوامة أخرى دورانها $-\Gamma$ عند $z = -\bar{z}_1$ حيث $z_1 = -\bar{z}_1$ هي صورة z_1 في المستوى $X = 0$. \therefore الجهد المركب عند أي نقطة z هو :

$$\begin{aligned} w &= \frac{-i\Gamma}{2\pi} \left[\ln(z - z_1) - \ln(z + \bar{z}_1) \right] \\ \therefore \frac{dw}{dz} &= \frac{-i\Gamma}{2\pi} \left[(z - z_1)^{-1} - (z + \bar{z}_1)^{-1} \right] \end{aligned}$$

عند $z = iy$ (أي عند المستوى $X = 0$) يكون :

$$\frac{dw}{dz} = \frac{-i\Gamma}{2\pi} \left[(z_1 - iy)^{-1} + (\bar{z}_1 + iy)^{-1} \right]$$

وحيث أن الكميتين $(z_1 - iy)^{-1}$ ، $(\bar{z}_1 + iy)^{-1}$ متراافقان فإن :

$$\operatorname{Re} \left(\frac{dw}{dz} \right)_{z=iy} = 0$$

$$\therefore (u)_{z=iy} = 0$$

أي أنه لا يوجد انسياب خلال المستوى لأن السرعة في اتجاه عمودي عليه تساوي صفرًا . وعلى ذلك فإن صورة دوامة في مستوى صلب هي دوامة دورانها نفس دوران الأولى مقدارا ولكن يخالفها إشارة وموضعية عند الصورة الضوئية لموقع الدوامة الأولى .

٦- صورة منبع في دائرة : Image of a source in a Circle

بالنسبة إلى دائرة ما إذا كان لدينا منبع شدته m عند A ووضعنا منبعاً مساوياً له في الشدة أي شدته m عند النقطة العكسية للنقطة A بالنسبة للدائرة O ولتكن B (يقال لل نقطتين A, B إنهما متعاكستان بالنسبة للدائرة O إذا كان $OB = f'$ ، $OA = f$ حيث $ff' = a^2$ ، a نصف قطر الدائرة) فإن :

مركبة السرعة عند أي نقطة P على الدائرة في اتجاه عمودي على الدائرة :

$$\frac{m}{AP} \cos(\hat{OPA}) + \frac{m}{BP} \cos(\hat{OPB})$$

ولكن :

$$\cos(\hat{OPA}) = \cos(\hat{OPB}) = \frac{AP + OP \cos(\hat{PBA})}{OA} = \frac{BP}{OP} + \frac{BP}{AP} \cos(\hat{PBA})$$

في دائرة شدته وذلك لأن المثلثين OPA, OBP مشابهان حيث أن \hat{O} مشتركة ، لأن

$$\bullet \quad ff' = a^2$$

وعلي ذلك يكون :

$$\frac{OB}{OP} = \frac{OP}{OA} = \frac{BP}{PA}$$

وتكون الزوايا المتناظرة في المثلثين متساوية .

وعلي ذلك فإن مركبة السرعة في اتجاه عمودي علي الدائرة تساوي :

$$\frac{m}{AP} \cos(\hat{OPA}) + \frac{m}{OP} + \frac{m}{AP} \cos(\hat{PBA}) = \frac{m}{OP}$$

ولذلك فإذا وضعنا مصبا m - عند O فإن مركبة السرعة في الاتجاه العمودي علي الدائرة عند P تتعذر .

أي أن صورة منبع m هي منبع m عند النقطة العكسية بالنسبة للدائرة ومصب m - عند مركز الدائرة .

و على العكس إذا وضعنا منبعين m ، m عند O فان معادلات الخطوط الانسيابية هي :

$$-m\theta - m\theta' + m\theta'' = Const$$

حيث $\theta, \theta', \theta''$ هي الزوايا الاتجاهية عند A, B, O ولأي نقطة P على الدائرة يكون :

$$\theta + \theta' - \theta'' = P\hat{A}x + P\hat{B}A - P\hat{O}A = O\hat{P}A + P\hat{O}A + P\hat{B}A - P\hat{O}A = \pi = Const$$

أي أن الدائرة خط انسابي . أو بعبارة أخرى فإن المائع لا ينساب خلال الدائرة .

٧- صورة مزدوج في دائرة : Image of double in a Circle

بنفس الطريقة المذكورة في البند السابق يمكن إثبات أن صورة المزدوج عند A بالنسبة إلى دائرة هي مزدوج آخر عند النقطة العكسية B حيث محورا المزدوجين يصنعن زاويتين متكمالتين مع نصف القطر $O\hat{B}A$ كما في الشكل .

والنسبة بين عزمي المزدوجين عند A, B هي $a^2 : f^2$ أي هي $BB' : AA'$ حيث $OA = f$ ، $OB = a$ ، $OA' = f$ ، $OB' = a$. إذ أنه من تشابه المثلثين $OA'A$ ، $OB'B$ يكون (في النهاية) :

$$\frac{BB'}{AA'} = \frac{OB}{OA} \approx \frac{a^2/f}{f} = \frac{a^2}{f^2}$$

$$\therefore \frac{mBB'}{mA'A'} = \frac{a^2}{f^2}$$

$$\therefore \frac{\mu'}{\mu} = \frac{a^2}{f^2}$$

ملحوظة :

الجهد المركب هو :

$$w = \frac{\mu e^{i\alpha}}{z-f} + \frac{\mu' e^{i(\pi-\alpha)}}{z-a^2/f} = \frac{\mu e^{i\alpha}}{z-f} + \frac{\mu' a^2/f^2}{z-a^2/f} e^{-i\alpha}$$

وعلى الدائرة يكون :

$$z = ae^{i\theta}$$

ويمكن إثبات أن الدائرة خط انسيابي .

٨- نظرية جوكوفسكي للضغط على اسطوانة :

وتتص على " في حالة الانسياب الدوراني على اسطوانة دائرية لمائع مثالي غير قابل للانضغاط يؤثر على الاسطوانة قوة في اتجاه عمودي على السرعة في اللانهاية V وتساوي حاصل ضرب V في الدوران Γ وفي الكثافة ρ أي أن القوة تساوي $\rho \Gamma V$ ولتعيين اتجاه قوة الدفع هذه ندير متجه السرعة بزاوية 90° في اتجاه مضاد لاتجاه الدوران Γ " .

ولإثبات ذلك نعتبر الانسياب مع وجود دوران على اسطوانة دائرية نصف قطرها a في هذه الحالة بأخذ الجهد المركب للانسياب الصورة :

$$w = V \left(z + \frac{a^2}{z} \right) + \frac{i\Gamma}{2\pi} \ln z$$

وبذلك دالة جهد السرعة φ هي :

$$\begin{aligned}\varphi &= V \left(r + \frac{a^2}{r} \right) \cos\theta - \frac{\Gamma}{2\pi} \theta \\ \therefore q_r &= -\frac{\partial \varphi}{\partial r} = -V \left(1 - \frac{a^2}{r^2} \right) \cos\theta \\ \therefore (q_r)_{r=a} &= 0 \quad , \quad q_\theta = -\frac{1}{r} \frac{\partial \varphi}{\partial \theta} = V \left(r + \frac{a^2}{r} \right) \frac{\sin\theta}{r} + \frac{\Gamma}{2\pi r}\end{aligned}$$

.. سرعة الانسياب على الاسطوانة هي :

$$q = 2VSin\theta + \frac{\Gamma}{2\pi a}$$

ولإيجاد قوة الضغط المحصل R للانسياب على الاسطوانة نتبع الآتي :

قوة الضغط على عنصر من محيط الاسطوانة ds هي pds ومركتبا هذه القوة في اتجاهي المحورين Ox ، Oy هما على الترتيب $-pdsSin\theta$ ، $-pdsCos\theta$ فإذا كانت مركتبا R هما

فإن X, Y :

$$\begin{aligned}X &= -\int_L pdsCos\theta \\ Y &= -\int_L pdsSin\theta\end{aligned}$$

حيث L هو محيط الاسطوانة التي نصف قطرها a .

حيث p تعيين من معادلة برنولي كالتالي :

$$p = C - \frac{1}{2} \rho q^2$$

$$\therefore X = - \int_L \left(C - \frac{1}{2} \rho q^2 \right) \cos \theta ds$$

$$\therefore Y = - \int_L \left(C - \frac{1}{2} \rho q^2 \right) \sin \theta ds$$

لكي نحسب X نضع فيما سبق عند p من معادلة برنولي ونضع q بما يساويها على الاسطوانة حيث علي الاسطوانة $ds = ad\theta$ فجده أن :

$$X = - \int_0^{2\pi} \left\{ C - \frac{\rho}{2} \left[4V^2 \sin^2 \theta + \frac{\Gamma^2}{4\pi^2 a^2} + \frac{2V\Gamma}{\pi a} \sin \theta \right] \right\} a \cos \theta d\theta$$

$$X = -Ca \int_0^{2\pi} \cos \theta d\theta + 2\rho a V^2 \int_0^{2\pi} \sin^2 \theta \cos \theta d\theta + \frac{\Gamma^2 \rho}{8\pi^2 a} \int_0^{2\pi} \cos \theta d\theta + \frac{\rho V \Gamma}{\pi} \int_0^{2\pi} \sin \theta \cos \theta d\theta$$

وحيث أن :

$$\int_0^{2\pi} \cos \theta d\theta = 0;$$

$$\int_0^{2\pi} \sin^2 \theta \cos \theta d\theta = 0;$$

$$\int_0^{2\pi} \cos \theta \sin \theta d\theta = 0;$$

فإن :

$$X = 0$$

كذلك فإن :

$$Y = - \int_0^{2\pi} \left\{ C - \frac{\rho}{2} \left[4V^2 \sin^2 \theta + \frac{\Gamma^2}{4\pi^2 a^2} + \frac{2V\Gamma}{\pi a} \sin \theta \right] \right\} a \sin \theta d\theta$$

$$Y = -Ca \int_0^{2\pi} \sin \theta d\theta + 2\rho a V^2 \int_0^{2\pi} \sin^3 \theta d\theta + \frac{\Gamma^2 \rho}{8\pi^2 a} \int_0^{2\pi} \cos \theta d\theta + \frac{\rho V \Gamma}{\pi} \int_0^{2\pi} \sin^2 \theta d\theta$$

لكن :

$$\int_0^{2\pi} \sin \theta d\theta = 0;$$

$$\int_0^{2\pi} \sin^3 \theta d\theta = 0;$$

$$\int_0^{2\pi} \sin^2 \theta d\theta = \pi$$

ومن ثم نجد أن :

$$Y = \rho \Gamma V$$

. وهو المطلوب .

٩- تناقض أويلر – دالمبير : Paradox of Euler D'Lambere

في حالة انسياط مائع مثالي غير قابل للانضغاط دون دوران على اسطوانة دائيرية قائمة يمكن بسهولة إثبات أن قوة الضغط المحصل على الاسطوانة تساوي صفراء (لأن $\Gamma = 0$). وهذه النتيجة صحيحة في حالة أي جسم ينساب على تيار أو جهد دون تكوين دوامات ودون انفصال المائع عن الجسم وهذه هي

أو بمعنى آخر فإن الجسم لا يتعرض لأي ضغط عليه وبذلك لا يبذل أي تعاون وقد نشأ هذا اتناقص نتيجة إهمال لزوجة المانع .

أمثلة :

(١) منبع مستوي له الشدة m موضوع عند النقطة $(a,0)$ ومحور y كحد ثابت . أوجد النقطة التي تكون عندها السرعة نهاية عظمى بين أن محصلة الضغط الواقع على الجزء من محور y المحصور بين $y = \pm b$ هو :

$$2P_o b - \frac{2m^2 \rho}{a} \left[\tan^{-1} \frac{b}{a} - \frac{ab}{a^2 + b^2} \right]$$

حيث P_o الضغط عند مala نهاية .

الحل :

الجهد المركب للمنبع وصورته خلال الحائط هو :

$$\begin{aligned} W &= -m \log(z - a) - m \log(z + a) = -m \log(z^2 - a^2) \\ \therefore \frac{dW}{dz} &= -\frac{2mz}{z^2 - a^2} \end{aligned}$$

عند الحائط $x = 0$

$$\begin{aligned} \frac{dW}{dz} &= -\frac{2miy}{-y^2 - a^2} \\ \therefore q^2 &= \frac{dW}{dz} \cdot \frac{d\bar{W}}{dz} = \frac{4m^2 y^2}{(y^2 + a^2)^2} \\ \therefore q &= \frac{2my}{y^2 + a^2} \\ \therefore \frac{dq}{dy} &= \frac{2m}{y^2 + a^2} (y^2 + a^2 - 2y^2) = 0 \end{aligned}$$

.. السرعة تكون نهاية عظمى عند النقط $y = \pm a$ على الحائط.

من معادلة برنولي :

$$\begin{aligned} P &= P_o - \frac{1}{2} \rho q^2 \\ P &= \int_{-b}^b P_o dy - \frac{1}{2} \rho \cdot 4m^2 \int_{-b}^b \frac{y^2}{(y^2 + a^2)^2} dy \end{aligned}$$

$$P = 2bP_o - \frac{4\rho m^2}{a} \int_0^{\tan^{-1}\left(\frac{b}{a}\right)} \sin^2 \theta d\theta$$

حيث $y = a \tan \theta$

$$P = 2bP_o - \frac{4\rho m^2}{a} \left[\tan^{-1}\left(\frac{b}{a}\right) - \frac{ab}{a^2 + b^2} \right]$$

(٢) كرة صلبة نصف قطرها a تتحرك في خط مستقيم في سائل مثالي كثافته ρ ويتحرك حركة غير دورانية وتسكن في اللانهاية . بين أن مقدار محصلة الضغط للسائل على الكرة عند أي لحظة هو $\frac{2}{3} \pi a^3 \rho f$ حيث f هي القيمة اللحظية لعجلة الكرة .

الحل :

دالة الجهد هي :

$$\Phi = -\frac{Ua^2}{2r^2} \cos \theta$$

حيث $U = U(t)$ ، علي سطح الكرة يكون :

$$\Phi = \frac{1}{2} U a \cos \Phi,$$

$$\frac{\partial \Phi}{\partial n} = \left. \frac{\partial \Phi}{\partial r} \right|_{r=a} = U \cos \theta$$

طاقة الحركة تعطي من :

$$T = \frac{1}{2} \rho \int \Phi \frac{\partial \Phi}{\partial n} dS = \frac{1}{2} \rho \int_{\Psi=0}^{\Psi=2\pi} \int_{\theta=0}^{\theta=\pi} -\frac{Ua}{2} \cos \theta U \cos \theta \cdot a \sin \theta d\theta \cdot ad\Psi$$

$$\therefore T = \frac{1}{3} \pi \rho a^3 U^2$$

وإذا كانت M هي كتلة الكرة ف تكون الطاقة الكلية هي :

$$\frac{1}{2} MU^2 + \frac{1}{3} \rho \pi a^3 U^2$$

وحيث أن معدل الزيادة في الطاقة الكلية يجب أن يتساوي مع معدل الشغل المبذول بالقوة الخارجية . بفرض أن F هو القوة المؤثرة على الكرة :

$$FU = \frac{d}{dt} \left[\frac{1}{2} MU^2 + \frac{1}{3} \rho a^3 \pi U^2 \right] = MUf + \frac{2}{3} \pi \rho a^3 U f$$

$$F - \frac{2}{3} \pi \rho a^3 f = Mf$$

. الكمية $\frac{2}{3} \pi \rho a^3$ تمثل محصلة الضغط للسائل على الكرة ويكون في الاتجاه العكسي للحركة .

(٣) مزدوج شدته $\bar{\mu}$ (مستوي) موضوع عند النقطة $z = ia$ في انسياب سرعة هي $\bar{V}i$ في سائل نصف لا نهائي كثافته ثابتة ويشغل نصف المستوى $y > 0$ حيث $y = 0$ من صلب (i) وحدة متوجه في الاتجاه الموجب لمحور x) . أثبت أن الجهد المركب هو $w = Vz + 2\mu i / (z^2 + a^2)$ أثبت أيضا أنه إذا كان $4a^2 V < \mu < 0$ فإنه لا توجد نقط توقف على الحد وان الضغط عليه يكون نهاية صغرى عند نقطة الأصل ونهاية عظمى عند $z = \pm a\sqrt{3}$.

الحل :

شكل (١) يبين النموذج الطبيعي للمسألة بينما شكل (٢) يبين مجموعة من الصور . حيث صورة المزدوج $\bar{\mu}$ عند $A(o, \alpha)$ هي مزدوج $\bar{\mu}$ كذلك عند $A'(o, -\alpha)$.

جهد السرعة نتيجة الانسياب المنتظم هو V_x ، ولهذا فإن جهد المركب هو V_z ولتكن p أي نقطة في الانسياب حيث $\overline{OP} = z$ عند يكون :

$$\overline{AP} = z - ia$$

$$\overline{A'P} = z + ia$$

وبذلك يكون الجهد المركب للمزدوج عند A وصورته عند A' هما :

$$\mu(z+ia)^{-1} \quad , \quad \mu(z-ia)^{-1}$$

ومن ثم يكون الجهد المركب الكلي عند p هو :

$$w = V_z + \frac{\mu}{z-ia} + \frac{\mu}{z+ia}$$

$$\therefore w = V_z + \frac{2\mu z}{z^2 + a^2}$$

وهو المطلوب أولاً.

$$\therefore \frac{dw}{dz} = V + 2\mu \frac{a^2 - z^2}{(a^2 + z^2)}$$

وعلى الحاط (الحد) يكون $y=0$ أي يكون $z=x$ وبذلك يكون :

$$\left(\frac{dw}{dz} \right)_{z=x} = V + \frac{2\mu(a^2 - x^2)}{(a^2 + x^2)^2}$$

وبوضع $0 = \frac{dw}{dz}$ نجد أن :

$$Vx^4 + 2(Va^2 - \mu)x^2 + (Va^4 + 2\mu a^2) = 0, \dots \quad (1)$$

وهذه معادلة من الدرجة الثانية في x^2 مميزها Δ هو :

$$\Delta = 4 \left\{ (Va^2 - \mu)^2 - V(Va^4 + 2\mu a^2) \right\} = 4\mu(\mu - 4a^2V)$$

وإذا كانت $V < 4a^2\mu$ فان Δ تكون سالبة وعندئذ لا يكون للمعادلة (1) جذور حقيقية . وهذا معناه لا توجد نقط توقف على الحد $y=0$ عند (x, o) على الحد نجد أن :

$$\frac{P}{\rho} + \frac{1}{2} \left\{ V + \frac{2\mu(a^2 - x^2)}{(a^2 + x^2)^2} \right\}^2 = Const.$$

وعلي ذلك فإن P تكون نهاية عظمي إذا كان $V + \frac{2\mu(a^2 - x^2)}{(a^2 + x^2)^2}$ نهاية صغرى والعكس صحيح .

وبوضع :

$$\begin{aligned} \xi &= \left\{ V + \frac{2\mu(a^2 - x^2)}{(a^2 + x^2)^2} \right\}^2 \\ \therefore \xi^{\frac{1}{2}} &= V + \frac{2\mu(a^2 - x^2)}{(a^2 + x^2)^2} \end{aligned}$$

$$\therefore \frac{1}{2} \xi^{-\frac{1}{2}} \xi' = - \frac{4\mu x(3a^2 - x^2)}{(a^2 + x^2)^3}$$

ومن ثم $x=0$ إذا كانت صورة المقدار $\xi = \frac{1}{2}$ توضح أن $x=\pm a\sqrt{3}$ عند

$x=O-$ وأن $x=O+$

وهذا يبين لنا أن ξ نهاية عظمي وبذلك تكون p نهاية صغرى عند نقطة الاصل . وأيضا ξ هي نقطة ابتداء

يوضح لنا أنه عند $x=a\sqrt{3}-$ يكون $\xi > 0$ وعند $x=a\sqrt{3}+$ يكون $\xi < 0$ أي أنه عند $x=a\sqrt{3}$ تكون ξ نهاية صغرى ومن ثم p عندها نهاية عظمي .

ذلك عند $x=a\sqrt{3}+$ يكون $\xi > 0$ وعند $x=a\sqrt{3}-$ يكون $\xi < 0$ ومن ثم تكون ξ نهاية صغرى أي ان p تكون نهاية عظمي عند $x=-a\sqrt{3}$

$\therefore p$ تكون نهاية عظمي عند النقطتين $z=\pm a\sqrt{3}$ وهو المطلوب ثانيا .

تمارين

- ١- (أ) أوجد دالة الجهد المركب لمائع يتحرك بسرعة ثابتة U في الاتجاه الذي يصنع زاوية α مع محور السينات .
- (ب) أوجد دالة جهد السرعة ودالة الانسياب .
- (ج) أوجد معادلات خطوط الانسياب وخطوط تساوي الجهد .

٢- دالة الجهد لمائع هي :

$$W(Z) = U \left(Z + \frac{a^2}{Z} \right)$$

حيث a , U هي ثوابت موجبة .

- (أ) أوجد معادلات خطوط الانسياب وخطوط تساوي الجهد وأرسمها موضحا تقاطعهما .
- (ب) برهن على أن تفسير حركة هذا المائع مثل حركة مارا بدائرة نصف قطرها a .
- (ج) أوجد السرعة عند أي نقطة وعين قيمتها بدلالة البعد عن الحاجز .
- (د) أوجد نقطة الخمود .

٣- ينبع مائع بمعدل ثابت من منبع على هيئة خط لانهائي عموديا على مستوى $Z=0$.

- (أ) اثبت أن سرعة المائع عند مسافة r من المنبع هي $v = \frac{K}{r}$ حيث K مقدار ثابت .

(ب) برهن على أن دالة الجهد المركب هي :

$$W(Z) = K \log Z$$

(ج) ما هو التعديل المطلوب إذا كان المنبع عند النقطة $Z = b$

(د) ما هو التعديل المطلوب في (ب) إذا وضع مصب بدلاً من منبع الذي في هذه الحالة يمتص المائع بمعدل ثابت.

٤- (أ) أوجد دالة الجهد المركب الناتجة عن تواجد منبع عند النقطة $Z = -a$ ومصب عند $Z = a$ وكلاً منهما قوته K .

(ب) أوجد خطوط تساوي الجهد وخطوط الانسياب وأرسمها.

(ج) أوجد السرعة عند أية نقطة.

٥- ناقش حركة مائع دالة جهده المركب

$$W(Z) = iK \log Z, K > 0$$

برهن على أن الدوران حول الدوامة يساوي $\Gamma = 2\pi K$.

٦- ناقش حركة المائع الذي جهده المركب

$$W(Z) = U \left(Z + \frac{a^2}{Z} \right) + \frac{i\gamma}{2n} \log Z$$

وهذه تمثل دالة الجهد المركب لمائع يمر على اسطوانة دائيرية نصف قطرها a مع وجود دوامة.

٧- منبعان شدة كلاً منها m موضعان عند $(\pm C, 0)$ ومصب شدته $2m$ موضوع عند نقطة الأصل . أثبت أن معادلات الخطوط الانسياب هي :

$$(x^2 + y^2) = C^2(x^2 - y^2 + \lambda xy)$$

حيث λ بارامتر متغير . أثبت أيضاً أن سرعة المائع عند أي نقطة هي $\frac{2mC}{r_1 r_2 r_3}$ حيث r_1, r_2, r_3 هي على الترتيب أبعاد النقطة عن المنبعين وعن المصب .

الباب الخامس

أساسيات ديناميكا المواقع التجريبية

مقدمة :

نظراً للصعوبة الشديدة التي تتميز بها مسائل حركة المواقع عند حلها رياضياً ونظراً لشدة حاجتنا في الحياة العملية إلى طرق سريعة للحصول على هذه الحلول فإننا نلجأ إلى التجربة للحصول على القوانين المطلوبة تجريبياً وليس نظرياً. ولتصميم التجارب أصول يجب مراعاتها. فالتجارب تجري على نماذج شببيه بالأصل وباستخدام نظرية التشابه والتحليل البعدى يمكن أن تبسط التجارب ونستخلص القوانين المطلوبة دون الوقوع في أخطاء قد تسبب كوارث.

التحليل البعدى :

ينص قانون البعد على ما يلي :

"أي كميات طبيعية مجموعة (مطروحة) لابد أن يكون لها نفس الأبعاد (الوحدات) " ورغم بساطة هذا القانون ال انه له أعظم الفائد في حل عدد كبير جداً من المشاكل العلمية المعقدة كما انه يساهم في وضع العلاقات الصحيحة بين المتغيرات المختلفة .

ويمكن تقسيم الوحدات إلى وحدات أساسية مثل وحدة الطول L ووحدة الكتلة M ووحدة الزمن T . ووحدات غير أساسية والتي يمكن أن نعبر عن وحداتها بواسطة الوحدات الأساسية والجدول الآتي يعطي وحدات بعض الكميات الهامة في الهيدروديناميكا.

البعد Dimension	معادلة التقريب Formula	الكمية Quantity
L^2	$A = L^2$	١ - المساحة Area
L^3	$V = L^3$	٢ - الحجم Volume
LT^{-1}	$v = \frac{L}{t}$	٣ - السرعة Velocity
LT^{-2}	$a = \frac{dv}{dt}$	٤ - العجلة Acceleration
T^{-1}	$\omega = \frac{d\theta}{dt}$	٥ - السرعة الزاوية Angular Velocity
T^{-2}	$\alpha = \frac{d\omega}{dt}$	٦ - العجلة الزاوية Angular acceleration

MLT^{-2}	$F = ma$	٧ - القوة Force
MLT^{-2}	$W = mg$	٨ - الوزن Weight
ML^2T^{-2}	$M = Fl$	٩ - عزم القوة Moment of force
$ML^{-1}T^{-2}$	$P = \frac{F}{A}$	١٠ - الضغط Pressure
$ML^{-2}T^{-2}$	$gradP = \frac{dP}{dt}$	١١ - انحدار الضغط Pressure gradient
ML^{-3}	$\rho = \frac{m}{V}$	١٢ - الكثافة Density
$ML^{-1}T^{-1}$	$\mu = \frac{-F}{A(dv/dL)}$	١٣ - معامل الزوجة المطلقة Viscosity
LT^{-1}	$\nu = \frac{\mu}{\rho}$	٤ - معامل الزوجة الكينماتيكية Kinematic viscosity
$ML^{-1}T^{-2}$	$\tau = \frac{F}{A}$	١٥ - الإجهاد Stress

$ML^{-1}T^{-2}$	$E = \frac{Stress}{Strain}$	١٦ - معامل المرونة Modulus of elasticity
L^3T^{-1}	$Q_V = \frac{dV}{dt}$	١٧ - معدل الانسياب الحجمي Volumetric flow rate
LT^{-1}	$q_V = \frac{Q_V}{dt}$	١٨ - كثافة معدل السريان الحجمي Volumetric flow rate density
ML^2T^{-3}	$P = F \times v$	١٩ - القدرة Power
MLT^{-1}	$I = Ft$	٢٠ - الدفع Impulse
MLT^{-1}	$P = mv$	٢١ - كمية الحركة Momentum
ML^2T^{-2}	$W = f l \cos(f; l)$	٢٢ - الشغل والطاقة Work and Energy
$ML^{-1}T^{-2}$	$e = \frac{E}{V}$	٢٣ - كثافة الطاقة Energy Density
ML^2T^{-1}	Mt	٢٤ - دفع عزم القوة Impulse of momentum of force

T	$T = \frac{2\pi}{\omega}$	٢٥ - الزمن الدوري Period
T^{-1}	$\nu = \frac{1}{T}$	٢٦ - التردد Frequency
$M^{-1}LT^2$	$\beta = -\frac{1}{V} \frac{dV}{dP}$	٢٧ - معامل الانضغاط الحجمي Coefficient of bulk compression
MT^{-2}	$T = \frac{f}{L}$	٢٨ - معامل التوتر السطحي Coefficient of surface tension
L^2T^{-1}	$D = \frac{\Delta m}{\Delta t A (d\rho / dL)}$	٢٩ - معامل الانتشار Diffusion Coefficient
ML^2	$I = \int_V r^2 dm$	٣٠ - عزم القصور الذاتي Moment of inertia
L^3	$S_Z = \int_A r dA$	٣١ - العزم الاستاتيكي للأشكال السطحية Statrical moment of plane figures

التطبيقات الهامة للتحليل البعدي :

- ١- التأكد من صحة القوانين .
- ٢- استنتاج القوانين .
- ٣- إنقاص عدد المتغيرات في التجارب .
- ٤- استنتاج مبادئ تصميم النماذج عند إجراء التجارب .

النموذج الحقيقي :

هو النموذج الذي له كل خواص الأصل بمقاييس معين (النموذج والأصل متشابهان هندسيا) كما أن النموذج يوفي بكل قيود التصميم (التشابه الكينماتيكي والديناميكي) .

التشابه الهندسي :

يكون التشابه الهندسي بين النموذج والأصل إذا تساوت نسب كل الأبعاد المتتاظرة في كل منها .

$$\frac{\text{بعد النموذج الطولي}}{\text{بعد الأصل}} = \text{نسبة الطول } L_r$$

$$\frac{\text{المساحة في النموذج}}{\text{المساحة في الأصل}} = \text{نسبة المساحة } L_r$$

التشابه الكينماتيكي :

يحدث هذا التشابه إذا تشابه هندسياً مسار الجسيمات في كل من النموذج والأصل وكانت نسب السرعات في النموذج والأصل متساوية وهذا يتطلب :

$$\text{في حالة السرعة} \quad \frac{L_1}{T_1} = \frac{L_2}{T_2}$$

$$\text{في حالة العجلة} \quad \frac{L_1}{T_1^2} = \frac{L_2}{T_2^2}$$

$$\text{في حالة الانسياب الحجمي} \quad \frac{L_1^3}{T_1} = \frac{L_2^3}{T_2}$$

الرمز السفلي 1 يرمي إلى النموذج ، الرمز السفلي 2 يرمي إلى الأصل .

التشابه الديناميكي :

يحدث التشابه الديناميكي بين نظامين إذا كانت نسب كل القوي المتتاظرة في النموذج والأصل متساوية ومن أمثلة القوي في ديناميكا الموائع والمرونة هي قوي الزوجة ، قوي الضغط ، الجاذبية الأرضية ، قوي الشد السطحي ، قوي المرونة .

تشابه قوى القصور :

في هذه الحالة يجب أن يكون :

$$\text{الكتلة} \times \text{العجلة للأصل} = \text{الكتلة} \times \text{العجلة للنموذج}$$

$$m_1 a_1 = m_2 a_2$$

$$\rho_1 V_1 a_1 = \rho_2 V_2 a_2$$

$$\rho_1 A_1 L_1 a_1 = \rho_2 A_2 L_2 a_2$$

$$\rho_1 A_1 L_1 \frac{V_1}{T_1} = \rho_2 A_2 L_2 \frac{V_2}{T_2}$$

$$\therefore V = \frac{L}{T}$$

$$\therefore \rho_1 A_1 V_1^2 = \rho_2 A_2 V_2^2$$

النسبة بين قوى القصور والضغط (عدد أويلر) :

وهذه النسبة تعطي باستخدام :

$$T = \frac{L}{V} \quad \frac{\text{المسافة}}{\text{الزمن}} : \quad \frac{\text{الزمن}}{\text{الزمن}}$$

$$\frac{Ma}{PA} = \frac{\rho L^3 \frac{L}{T^2}}{PL^2} = \frac{\rho L^4 \frac{V^2}{L^2}}{\rho L^2} = \frac{\rho L^2 V^2}{PL^2} = \frac{\rho V^2}{P}$$

أي أن :

$$\frac{\rho_1 V_1^2}{P_1} = \frac{\rho_2 V_2^2}{P_2}$$

النسبة بين قوتي القصور الذاتي والزوجة (رقم رينولد) :

$$\frac{Ma}{\tau A} = \frac{Ma}{\mu \left(\frac{dV}{dy} \right) A} = \frac{\rho L^2 V^2}{\mu \frac{V}{L} L^2} = \frac{\rho V L}{\mu} = Re$$

في حالة النماذج يكون :

$$\frac{\rho_1 V_1 L_1}{\mu_1} = \frac{\rho_2 V_2 L_2}{\mu_2}$$

$$Re_1 = Re_2$$

أي أن يكون عدد رينولد في الأصل يساوي عدد رينولد في النموذج (التجربة)

النسبة بين قوتي القصور الذاتي والجاذبية (عدد فرويد) :

$$\frac{Ma}{Mg} = \frac{\rho L^2 V^2}{\rho L^3 g} = \frac{V^2}{Lg} = F^2$$

في حالة النماذج يكون :

$$\frac{V_1^2}{L_1 g_1} = \frac{V_2^2}{L_2 g_2}$$

وتسمى الكمية $\frac{V}{\sqrt{Lg}}$ بعدد فرويد .

نسبة قوتي القصور والمرونة (عدد ماخ) :

$$\frac{Ma}{EA} = \frac{\rho L^2 V^2}{E L^2} = \frac{\rho V^2}{E} = \frac{V^2}{E/\rho}$$

الكمية $\frac{V}{\sqrt{E/\rho}}$ تسمى بعدد ماخ M .

وفي حالة النماذج يكون :

$$M_1 = M_2$$

ملاحظة :

العداد أويلر و رينولد و ماخ وغيرهم من الكميات الغير بعدية التي تدخل بمقارنة حدود المعادلات
تسمى بمعايير التشابه .

التشابه الكامل والتشابه الجزئي :

يحدث التشابه الديناميكي الكامل بين النموذج والأصل إذا تساوت جميع معايير التشابه الديناميكي في كل من الأصل والتجربة وعملياً قد يعقد هذا تصميم التجربة وقد لا يتحقق هذا لأي نموذج أو لا تسمح الإمكانيات الموجودة بعمل مثل هذه التجربة المثالية أو تكون غير اقتصادية . لذلك يجب التركيز على نوع واحد من التشابه أو أتنين حسب أهم القوي المؤثرة مع إهمال التشابه بالنسبة لقوى الباقي . ومعايير التشابه نرمز لها بالرموز (أحياناً) :

$$\pi_1, \pi_2, \pi_3, \dots$$

نظريّة π :

إذا كان لدينا معادلة صحيحة كاملة على الصورة :

$$\Phi(Q_1, Q_2, \dots, Q_n) = 0$$

والمشتمل على n من الكميات البعدية التي يمكن التعبير عنها بدلالة K من الوحدات الأساسية . من الممكن كتابة هذه المعادلة على الصورة :

$$\Psi(\pi_1, \pi_2, \dots, \pi_{n-k}) = 0$$

وهي صورة غير بعديّة وجميع متغيراتها كميات غير بعديّة والدوال π هي جميع حواصل الضرب الممكنة اللابعديّة المستقلة التي يمكن تكوينها من n من الكميات البعدية بأية كيفية .

ونستخدم هذه النظرية على نطاق واسع في تصميم التجارب لإنقاص عدد المتغيرات إلى الحد الأدنى ووضع المسائل في صورة رتبية لا تتطلب الادنى مجهود ذهني .

تطبيقات على التحليل البعدى ونظرية π :

مثال(١) :

قوة المقاومة على وحدة السطوح من جدار أنبوبة بفرض أن هذه القوة دالة في معامل الزوجة μ والكثافة ρ والقطر d والسرعة المتوسطة لانسياب v . يمكن وضع القانون على الصورة :

$$\tau = C\mu^x \rho^y d^z v^u, \dots \quad (1)$$

وبأخذ وحدات الطرفين :

$$\begin{aligned} [\tau] &= [C][\mu]^x[\rho]^y[d]^z[v]^u \\ \frac{M}{LT^2} &= \left[\frac{M}{LT} \right]^x \left[\frac{M}{L^3} \right]^y L^z \left[\frac{L}{T} \right]^u \\ ML^{-1}T^{-2} &= M^x L^{-x} T^{-x} M^y L^{-3y} L^z L^u T^{-u} \\ ML^{-1}T^{-2} &= M^{(x+y)} L^{-x-3y+z+u} T^{-z-u} \end{aligned}$$

وشرط تجانس الأبعاد يقتضي أن يكون أى بعد في الطرف الأيسر يساوى نفس البعد في الطرف اليمنى .

$$\begin{array}{ll} (\text{أى بعد } M) & x + y = 1 \\ (\text{أى بعد } L) & -x - 3y + z + u = -1 \\ (\text{أى بعد } T) & -x - u = -2 \end{array}$$

وهي ثلاثة معادلات في أربعة مجاهيل – أي يمكن التعبير عن ثلاثة بدالة الرابع ولتكن u وعليه يكون

$$x = 2 - u$$

$$y = u - 1$$

$$z = u - 2$$

والمعادلة (1) تأخذ الصورة :

$$\tau = C \frac{\mu^2}{\rho d^2} \left(\frac{\rho v d}{\mu} \right)^u$$

or

$$\frac{\tau}{(\mu^2 / \rho d^2)} = C \left(\frac{\rho v d}{\mu} \right)^u$$

$$\pi_1 = C \pi_2^u \quad , \quad \rho = \frac{M}{V}$$

$$\pi_1 = C \text{Re}^u$$

حيث أن :

$$\pi_1 = \frac{\tau}{(\mu^2 / \rho d^2)} \quad , \quad \text{Re} = \frac{\rho v d}{\mu}$$

ملاحظة هامة :

في المثال السابق توصلنا إلى قانون القوة على الصورة :

$$\pi_1 = C\pi_2^u, \dots \quad (2)$$

حيث C, u مجاهيل .

لتعيين كلا من C, u نلجأ إلى التجربة وتمثيل النتائج بيانيا ، ويستخدم ورق بياني من النوع اللوغاريتمي . بأخذ لوغاريتيم طرفي المعادلة (2) نحصل على :

$$\log \pi_1 = u \log \pi_2 + \log C, \dots \quad (3)$$

المعادلة السابقة (3) تمثل خط مستقيم ميله u والجزء الذي يقطعه من محور الصادات C وبذلك يتحدد القانون الجديد تحديدا تماما .

مثال (٢) :

إيجاد قانون المقاومة في المثال السابق باستخدام نظرية π . العلاقة بين المتغيرات يمكن وضعها على الصورة :

$$F(\tau, \rho, v, d, \mu) = 0$$

وحيث أن :

$$[\tau] = \frac{M}{LT^2} \quad , \quad [\rho] = \frac{M}{L^3} \quad , \quad [v] = \frac{L}{T} \quad , \quad [d] = L \quad , \quad [\mu] = \frac{M}{LT}$$

وحيث أن عدد الوحدات الأساسية هي ثلاثة M, L, T فان الكميات الغير بعديه يكون عددها اثنين فقط وهما :

$$\pi_1 = \frac{\tau}{\rho v^2} \quad , \quad \pi_2 = \frac{\rho v d}{\mu}$$

ويصبح القانون :

$$\Psi(\pi_1, \pi_2) = 0$$

or

$$\frac{\tau}{\rho v^2} = F\left(\frac{\rho v d}{\mu}\right) = C\left(\frac{\rho v d}{\mu}\right)^u$$

مثال (٣) :

استنتاج علاقة تربط بين إجهاد القص في مائع يمر خلال ماسورة بفرض أن الإجهاد دالة في قطرها وخشونتها وكثافة المائع ولزوجته وسرعته .

الحل :

يمكن وضع العلاقة على الصورة :

$$\tau = f(v, d, \rho, \mu, K)$$

حيث K تمثل خشونة الماسورة وهي النسبة بين ارتفاع النتوءات الخشنـة إلى قطر الماسورة $\frac{\varepsilon}{d}$ وهي رقم غير بعدى .

$$\tau = Cv^a d^b \rho^c \mu^d K^e$$

وبأخذ وحدات الطرفين واعتبار القوة وحدة أساسية بدلا من الكتلة :

$$F^1 L^{-2} T^0 = (L^a T^{-a}) (L^b) (F^c T^{2c} L^{-4c}) (F^d T^d L^{-2d}) (L^e L^{-e})$$

وبمقارنة الطرفين :

$$\begin{aligned} 1 &= c + d \\ -2 &= a + b - 4c - 2d + e - e \\ 0 &= -a + 2c + d \end{aligned}$$

وبوضع جميع المتغيرات بدلالة d ينتج أن :

$$c = 1 - d$$

$$a = 2 - d$$

$$b = -d$$

وبالتعويض نحصل على :

$$\tau = Cv^{2-d}d^{-d}\rho^{L-d}\mu^dK^e$$

$$\frac{\tau}{K^e\rho v^2} = C \left(\frac{vd\rho}{\mu} \right)^{-d} = \frac{C}{Re^d}$$

الباب السادس

أ- نظرية الطبقة الجدارية الرفائية

Laminar Boundary Layer Theory

(١) السريان الجهدي :

في حالة المائع الغير قابل للانضغاط و إهمال حدود اللزوجة من معادلات الحركة نحصل على ما يسمى بمعادلات أويلر كما سبق أن ذكرنا في الباب الثاني . وفي حالة الحركة الغير دورانية يسمى السريان بالسريان الجهدي كما ذكرنا في الباب الثالث و عند كتابة معادلات حركة المائع اللزج في صورة غير بعيدة نجد أن حدود اللزوجة تحتوي على المعامل $\frac{1}{Re}$ ولقيم Re الكبيرة تصبح هذه الحدود صغيرة القيمة مما يوحي بإهمال هذه الحدود واستخدام الحلول الجهدية للمسائل ولكن هذا المدخل غير سليم نظرا لأن الحل في هذه الحالة يحقق شرط عدم الانزلاق الموجود في حالة المائع اللزجة وغير موجود في المواقع المثلالية أو السريان الجهدي .

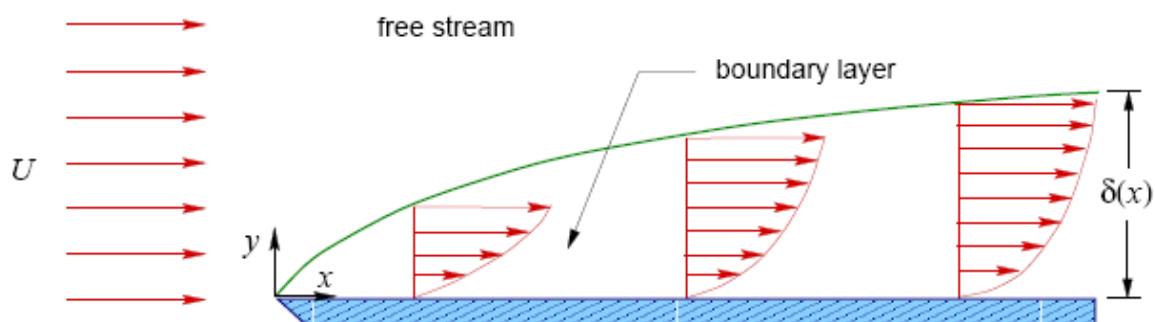
لذا كان لزاما علينا حل معادلات نافير ستوكس بالكامل بالقرب من السطوح واعتبار أن حدود الزوجة وحدود القصور لها نفس الدرجة من الصغر أو الكبر في منطقة سماكتها صغير بالنسبة لأبعاد الجسم وهذا الفرضان هما الفرضان الرئيسيان في نظرية حركة المائع اللزجة بالقرب من السطوح وتسمى بنظرية الطبقة الجدارية .

وخارج الطبقة الجدارية يمكن اعتبار حركة المائع معلومة وإنها حركة ذات جهد (جهدية) . وفي الحياة العملية تحتاج حسابات الطبقة الجدارية في إيجاد مقاومة الهواء حول جسم (ول يكن أجنة الطائرات) وفي هذه الحالة يكون عدد رينولد كبيرا .

(2) الجدارية حول مستوى لانهائي :

استخدم براندل الفرضيين السابقين وهو صغر سمك الطبقة الجدارية δ بالنسبة إلى طول الجسم وتساوي درجة كل من حدود الزوجة والقصور في الصغر أو الكبر في تبسيط شكل معادلات حركة مائع لزج في مستوى .

وأفضل الأمثلة التي يمكن شرح ذلك عليها هو دراسة حركة مائع لزج فوق مستوى لانهائي مثبت ويدخل عليه المائع بسرعة موازية U قد تكون ثابتة وقد تكون دالة في x .



وبفرض أن مركبات السرعة هي (u, v) وإنها تحقق معادلات الحركة :

$$u \frac{\partial u}{\partial x} + v \frac{\partial u}{\partial y} = - \frac{1}{\rho} \frac{\partial P}{\partial x} + v \nabla^2 u, \dots \dots \dots (1)$$

$$u \frac{\partial v}{\partial x} + v \frac{\partial v}{\partial y} = - \frac{1}{\rho} \frac{\partial P}{\partial y} + v \nabla^2 v, \dots \dots \dots (2)$$

بالإضافة إلى معادلة الاتصال وهي :

$$\frac{\partial u}{\partial x} + \frac{\partial v}{\partial y} = 0, \dots \dots \dots (3)$$

تحت الشروط الحدية :

عندما يكون $y = 0$ فإن $u = v = 0$

وعندما يكون $y \rightarrow \infty$ فإن $u = U$ ، $v = 0$

وقد أهملت القوى الحجمية واعتبرنا أن السريان لا يعتمد على الزمن ويمكن اخذ هذه العوامل في الاعتبار بدون التأثير على الخطوات والآن نحاول كتابة المعادلات في صورة غير بعديّة فتضع :

$$\left. \begin{array}{l} u = U u' \\ v = U \frac{\delta}{l} v' \\ x = l x' \\ y = \delta y' \\ P = \rho U^2 P' \end{array} \right\}, \dots \dots \dots (4)$$

بالتعميض في المعادلة (3) تصبح معادلة الاتصال بالصورة :

$$\frac{\partial u'}{\partial x'} + \frac{\partial v'}{\partial y'} = 0, \dots \dots \dots (5)$$

وبالتعميض في المعادلة (1) نجد أن :

$$\begin{aligned} \frac{U^2}{l} u' \frac{\partial u'}{\partial x'} + \frac{U^2 \delta}{l \delta} v' \frac{\partial u'}{\partial y'} &= -\frac{\rho U^2}{\rho l} \frac{\partial P'}{\partial x'} + \frac{\nu U}{l^2} \frac{\partial^2 u'}{\partial x'^2} + \frac{\nu U}{\delta^2} \frac{\partial^2 u'}{\partial y'^2} \\ \frac{U^2}{l} \left(u' \frac{\partial u'}{\partial x'} + v' \frac{\partial u'}{\partial y'} \right) &= -\frac{U^2}{l} \frac{\partial P'}{\partial x'} + \frac{\nu U}{l^2} \frac{\partial^2 u'}{\partial x'^2} + \frac{\nu U}{\delta^2} \frac{\partial^2 u'}{\partial y'^2}, \dots \dots \dots (6) \end{aligned}$$

نلاحظ أن نسبة معامل الحد قبل الأخيرة في الطرف الأيمن $\frac{\nu U}{l^2}$ إلى معامل الحد الأخير فيه $\left(\frac{\nu U}{\delta^2}\right)$

هي $\frac{\delta^2}{l^2}$ ومن ثم يمكن إهمال الحد قبل الأخير بالنسبة إلى الحد الأخير.

وكذلك إذا قارنا حدود الزوجة $\left(\frac{\nu U}{\delta^2}\right)$ وحدود القصور الثاني :

$$\begin{aligned}
 \frac{U^2}{l} &\approx \frac{\nu U}{\delta^2} \\
 \delta^2 &\approx \frac{\nu Ul}{U^2} = \delta^2 \approx \frac{\nu l}{U} \\
 \delta &\approx \sqrt{\frac{\nu l}{U}} = l \sqrt{\frac{\nu}{Ul}} \\
 \therefore \text{Re} &= \frac{Ul}{\nu} \\
 \therefore \delta &\approx l \sqrt{\frac{1}{\text{Re}}} = \frac{l}{\sqrt{\text{Re}}}, \dots\dots\dots(7)
 \end{aligned}$$

وبذلك يمكن تقدير متوسط سمك الطبقة الجدارية بطريقة تقريبية وذلك باستخدام المعادلة (7) .
وبالتعويض من (7) في معادلة (2) نجد أن :

$$\frac{U^2 \delta}{l^2} \left(u' \frac{\partial u'}{\partial x'} + v' \frac{\partial v'}{\partial y'} \right) = -\frac{1}{\rho} \frac{\rho U^2}{\delta} \frac{\partial P'}{\partial y'} + \frac{\nu U \delta}{l^3} \frac{\partial^2 v'}{\partial x'^2} + \frac{\nu U \delta}{l \delta^2} \frac{\partial^2 v'}{\partial y'^2}, \dots\dots\dots(8)$$

وبقسمة معادلة (8) على $\frac{U^2}{\delta}$

$$\frac{\delta^2}{l^2} \left(u' \frac{\partial u'}{\partial x'} + v' \frac{\partial v'}{\partial y'} \right) = -\frac{\partial P^2}{\partial y^2} + \frac{\nu \delta^2}{Ul^3} \frac{\partial^2 v'}{\partial x'^2} + \frac{\nu}{Ul} \frac{\partial^2 v'}{\partial y'^2}$$

وحيث أن حدود الزوجة والقصور يجب أن تكون لهما نفس الدرجة أي $\frac{\delta^2}{l^2}$ حسب الفرض الثاني
ومعامل التدرج في الضغط هو الوحدة وبذلك يجب إهمال كل من حدود القصور والزوجة بالنسبة
إلى حد التدرج في الضغط وبذلك تؤول المعادلة (8) إلى الصورة :

$$\therefore P' = P'(x), \dots \quad (10)$$

و هذا انجاز ضخم لتقرير الطبقة الجدارية فقد أثبتنا أن الضغط لا يتغير بتغيير الارتفاع سواء كان في داخل الطبقة الجدارية أو خارجها . أي أن الضغط أصبح معلوماً و حذف من المواجهيل وأصبح عددها اثنان بدلاً من ثلاثة وأصبح عدد المعادلات اثنين بدلاً من ثلاثة وتصبح المعادلات هي :

$$u' \frac{\partial u'}{\partial x'} + v' \frac{\partial u'}{\partial y'} = -\frac{\partial P'}{\partial x'} + \frac{vU}{\delta^2} \frac{l}{U^2} \frac{\partial^2 u'}{\partial y'^2}, \dots \quad (12)$$

تحت الشروط الحدية :

عندما يكون $\gamma' = 0$ فان

و عندما يكون $y' \rightarrow \infty$ فان

$$u' = 1 \text{ and } v' = 0, \dots \quad (14)$$

وتسمى المعادلات (11),(12),(13),(14) بمعادلات براندل للطبقة الجدارية في صورتها الغير بعدية .

(٣) الحلول التماضية : Similar Solutions

في كثير من الأحيان ما يسعنا الحظ فنستطيع تحويل المعادلات التفاضلية الجزئية إلى معادلات تفاضلية عادية بتحويل المتغيرات . وطبعا التعامل مع المعادلة التفاضلية العادية أسهل بكثير جدا من التعامل مع المعادلة التفاضلية الجزئية وتسمى حلول هذه المعادلة بالحلول التماضية .

وتلخص هذه الطريقة في اتباع الخطوات الآتية :

نفرض أن لدينا دالة مجهولة $\Psi(x, y)$ تحقق معادلة تفاضلية جزئية واستخدمنا متغيرين

جديدين x, η بدلًا من المتغيرين x, y , بحيث أن :

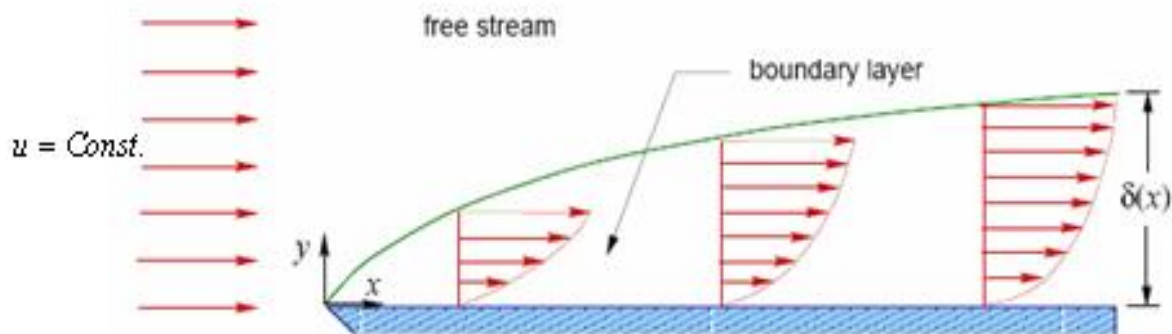
$$\begin{aligned}\eta &= \Phi_1(x)y \\ \Psi &= \Phi_2(x)f(\eta)\end{aligned}$$

و عوضنا في المعادلة التفاضلية فإننا نحصل على معادلة تفاضلية تحتوي على تفاضلات الدالة المجهولة f ومعاملات هذه التفاضلات تكون دوالاً في x . إذا أمكن التعبير عن معاملات هذه المعادلة بمقادير ثابتة تصبح المعادلة التفاضلية عادية ونقول أنه يوجد حل تماذلي f لل المشكلة . وفي بعض الأحيان يمكن التحويل في الصورة :

$$\eta = ax^n y \quad , \quad \Psi = bx^m f(\eta)$$

(٤) المعادلة التماذلية لحالة السريان حول نصف المستوى :

رغم التبسيط الذي حصلنا عليه عند كتابة معادلات براندل للطبقة الجدارية فان المعادلات مازالت بعيدة عن الحل ويلزم تحويل المعادلات إلى معادلات تفاضلية عادية والآن سوف ندرس الحالة عندما تكون السرعة بعيداً عن السطح وتساوي U ثابتة .



في هذه الحالة يكون

$$\frac{\partial P}{\partial x} = 0$$

وتصبح معادلات براندل هي :

$$u \frac{\partial u}{\partial x} + v \frac{\partial u}{\partial y} = v \frac{\partial^2 u}{\partial y^2}, \dots \dots \dots (1)$$

$$\frac{\partial u}{\partial x} + \frac{\partial v}{\partial y} = 0, \dots \dots \dots (2)$$

تحت الشروط الحدية :

عندما يكون $u = v = 0$ فـ $y = 0$

وعندما يكون $u = U$ و $v = 0$ فـ $y \rightarrow \infty$

فإذا أخذنا :

$$u = \frac{\partial \Psi}{\partial y} \quad , \quad v = -\frac{\partial \Psi}{\partial x}$$

فإن المعادلة (2) تحقق أوتوماتيكياً . وتصبح المعادلة (1) على الصورة :

$$\frac{\partial \Psi}{\partial y} \frac{\partial^2 \Psi}{\partial x \partial y} - \frac{\partial \Psi}{\partial x} \frac{\partial^2 \Psi}{\partial y^2} = v \frac{\partial^3 \Psi}{\partial y^3}, \dots \dots \dots \quad (3)$$

والشروط الحدية هي :

عندما يكون $y = 0$ فإن

$$-\frac{\partial \Psi}{\partial x} = \frac{\partial \Psi}{\partial y} = 0$$

وعندما يكون $y \rightarrow \infty$ فإن

$$\frac{\partial \Psi}{\partial y} = U$$

المعادلة (3) يمكن البحث عن حل تماذلي لها وذلك باستخدام التعويض :

$$\begin{aligned} \eta &= y \sqrt{\frac{U}{2ux}} = \left(\frac{U}{2ux} \right)^{1/2} y \\ \Psi &= \sqrt{2Uux} f(\eta) = (2Uux)^{1/2} f(\eta) \\ \therefore u &= \frac{\partial \Psi}{\partial y} = (2Uux)^{1/2} \frac{df}{d\eta} \frac{d\eta}{dy} \end{aligned}$$

$$\begin{aligned}
 u &= (2Uvx)^{1/2} \left(\frac{U}{2vx} \right)^{1/2} \frac{df}{d\eta} = U \frac{df}{d\eta} \\
 v &= -\frac{\partial \Psi}{\partial x} = -\frac{1}{2} \left(\frac{2yU}{x} \right)^{1/2} f + (2vUx)^{1/2} \frac{1}{x} \left(\frac{U}{2vx} \right)^{1/2} \frac{y}{x} \frac{df}{d\eta} \\
 v &= \left(\frac{Uv}{2x} \right) \left(\eta \frac{df}{d\eta} - f \right) \\
 \frac{\partial u}{\partial y} &= u \left(\frac{U}{2vx} \right)^{1/2} \frac{d^2 f}{d\eta^2} \quad , \quad \frac{\partial u}{\partial x} = -\frac{1}{2} \frac{U}{x} \eta \frac{d^2 f}{d\eta^2} \\
 \frac{\partial^2 u}{\partial y^2} &= U \left(\frac{U}{2vx} \right) \frac{d^3 f}{d\eta^3}
 \end{aligned}$$

بالتعميض في المعادلة (3) نحصل على :

$$f''' + ff' = 0, \dots \dots \dots \quad (4)$$

تحت الشروط :

عندما يكون $\eta = 0$ فان

$$f = 0 \quad , \quad f' = 0$$

وعندما يكون $\eta \rightarrow \infty$ فان

$$f' = 1$$

ولقد قام بلازيس Blasius بإجراء تكامل عددي لهذه المعادلة وأعطى الحل في صورة جداول نظرا لان المعادلة (4) معادلة غير خطية ولا يوجد حل تحليلي مضبوط لها وفي حالة ما إذا كانت U

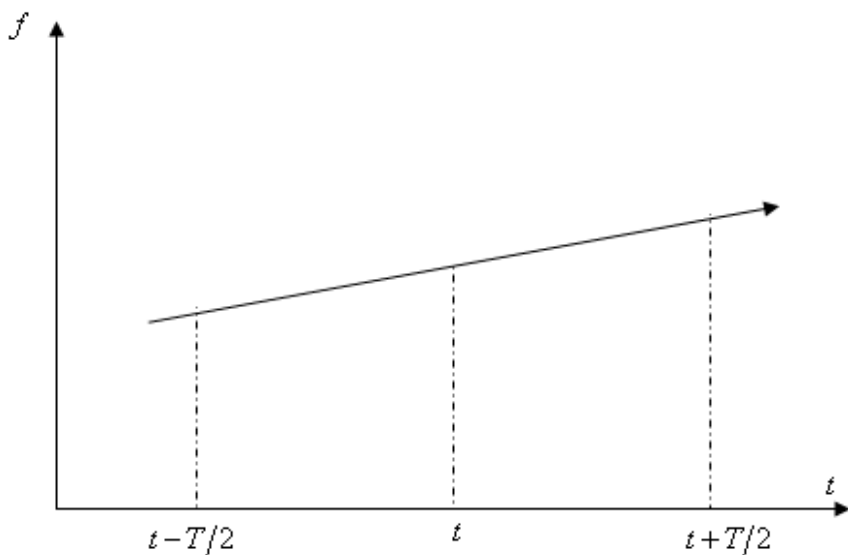
دالة في x فان $\frac{dP}{dx}$ لا يساوي الصفر ومعادلات براندل يكون لها حل تشابهي فقط إذا وضعت :

$$U = \alpha x^m$$

المعادلة (4) تسمى بمعادلة بلازيس .

بـ. الحركة الاضطرابية Turbulent Flow

عند دراسة حركة المائع في الأنابيب لأعداد رينولد متفاوتة لوحظ أن الحركة تفقد استقرارها بعد عدد رينولد الحرج الذي يساوي تقريبا ($Re = 2300$) والذي تكون الحركة عشوائية لجسيمات المائع وسرعة ومعدل تغير السرعة بالنسبة للزمن تكون في صورة مشتتة في جميع الاتجاهات . وقد بينت التجارب المعملية أن متغيرات الحركة المختلفة مثل السرعة والضغط والكتافة عند أي نقطة ليست متغيرات عادية وإنما متغيرات عشوائية . وفي حالة إجراء تجربة وتكرارها تحت نفس الظروف لا نحصل على نفس النتائج . لذلك الحديث عن المتغيرات نفسها لا يكون ذات معنى (عند نقطة معينة أو لحظة معينة) ولذلك يجب التعامل مع متوسطات هذه الكميات سواء أخذ المتوسط بالنسبة للزمن أو بالنسبة للفراغ نظرا لأن الخواص الإحصائية للظاهرة هي التي يمكن قياسها وبالبحث والتجربة وجد من المفيد أخذ المتوسطات بالنسبة للزمن وذلك لقياسات النظرية والتجريبية . فمثلا بدلا من المنحني المبين بالشكل لداة مثل السرعة يمكن استبداله بمنحنى أملس يمثل المتوسط كما هو موضح بالشكل التالي :



والمتوسط \bar{f} لدالة f خلال فترة زمنية T يعطي من :

$$\bar{f}(x, y, z, t) = \frac{1}{T} \int_{t - \frac{T}{2}}^{t + \frac{T}{2}} f(x, y, z, t) dt$$

ويمكن وضع القيمة الحقيقة f على صورة مجموع كميتين الأولى المتوسط \bar{f} والثانية

الانحراف عن المتوسط f' :

$$f = \bar{f} + f'$$

خواص المتوسطات والانحراف:

(1) $\bar{f}' = 0$

(2) $\bar{\bar{f}} = \bar{f}$

(3) $\bar{\bar{ff}}_1 = \bar{f} \bar{f}_1$

(4) $\overline{\frac{\partial f}{\partial x}} = \frac{\partial \bar{f}}{\partial x}$

(5) $\overline{\frac{\partial f}{\partial t}} = \frac{\partial \bar{f}}{\partial t}$

(6) $\overline{fg} = \bar{f} \bar{g} + \bar{f'} \bar{g}', \bar{f'} \bar{g}' \neq 0, \bar{f'} \bar{g}' \neq 0$

(7) $\overline{f^2} = \bar{f}^2 + \bar{f}'$

معادلات الحركة الاضطرابية :

يمكن اعتبار أن القيم الحقيقية أو اللحظية للمتغيرات تتحقق معادلات حركة المائع اللزج ولكن يفضل وضعها في صورة متغيرات عاديّة وليس متغيرات عشوائية أي لابد من التعامل مع المتوسطات . وعلى هذا الأساس يفضل وضع أي دالة f على الصورة :

$$f_1 = \bar{f} + f'$$

في معادلات الحركة ثم أخذ المتوسطات وبذلك تكون جميع الكميات الموجودة في المعادلات هي متوسطات وبالطبع المتوسطات هي متغيرات عاديّة يمكن قياسها والتعامل معها . بفرض أن مركبات السرعة الحقيقية (u, v, w) والضغط P تحقق المعادلات :

$$\frac{\partial u}{\partial t} + u \frac{\partial u}{\partial x} + v \frac{\partial u}{\partial y} + w \frac{\partial u}{\partial z} = -\frac{1}{\rho} \frac{\partial P}{\partial x} + v \nabla^2 u, \dots \quad (1)$$

وذلك يفرض اهمال القوى الخارجية.

يُعاد كتابة المعادلات السابقة بعد استخدام قانون تفاضل حاصل ضرب دالتين وتصبح على

الصورة :

$$\frac{\partial u}{\partial t} + \frac{\partial}{\partial x}(u^2) + \frac{\partial}{\partial y}(uv) + \frac{\partial}{\partial z}(uw) = -\frac{1}{\rho} \frac{\partial P}{\partial x} + v \nabla^2 u, \dots \quad (1)'$$

$$\frac{\partial v}{\partial t} + \frac{\partial}{\partial x}(uv) + \frac{\partial}{\partial y}(v^2) + \frac{\partial}{\partial z}(vw) = -\frac{1}{\rho} \frac{\partial P}{\partial y} + v \nabla^2 V, \dots \quad (2)'$$

$$\frac{\partial w}{\partial t} + \frac{\partial}{\partial x}(uw) + \frac{\partial}{\partial y}(vw) + \frac{\partial}{\partial z}(w^2) = -\frac{1}{\rho} \frac{\partial P}{\partial z} + v\nabla^2 w, \dots \quad (3)'$$

حيث استخدمت معادلة الاتصال للموائع الغير قابلة للانضغاط باعتبار المتوسطات لا تعتمد على الزمن والتعويض بالكميات :

$$\left. \begin{array}{l} u = \bar{u} + u' \\ v = \bar{v} + v' \\ w = \bar{w} + w' \\ P = \bar{P} + P' \end{array} \right\}, \dots \otimes$$

في المعادلات $\left((1)' - (2)' \right)$ لتأخذ الصورة :

$$\frac{\partial}{\partial x}(\bar{u})^2 + \frac{\partial}{\partial y}(\bar{u}\bar{v}) + \frac{\partial}{\partial z}(\bar{u}\bar{w}) + \frac{\partial}{\partial x}(\bar{u}'^2 v) + \frac{\partial}{\partial y}(\bar{u}'\bar{v}') + \frac{\partial}{\partial z}(\bar{u}'\bar{w}') = -\frac{1}{\rho} \frac{\partial \bar{P}}{\partial x} + \nu \nabla^2 \bar{u}, \dots \dots \dots (4)$$

والتي يمكن كتابتها على الصورة :

$$\frac{\partial}{\partial x}(\bar{u})^2 + \frac{\partial}{\partial y}(\bar{u}\bar{v}) + \frac{\partial}{\partial z}(\bar{u}\bar{w}) = -\frac{1}{\rho} \frac{\partial \bar{P}}{\partial x} + \nu \nabla^2 \bar{u} - \left(\frac{\partial}{\partial x}(\bar{u}'^2 v) + \frac{\partial}{\partial y}(\bar{u}'\bar{v}') + \frac{\partial}{\partial z}(\bar{u}'\bar{w}') \right)$$

أو على الصورة :

$$\bar{u} \frac{\partial \bar{u}}{\partial x} + \bar{v} \frac{\partial \bar{u}}{\partial y} + \bar{w} \frac{\partial \bar{u}}{\partial z} = -\frac{1}{\rho} \frac{\partial \bar{P}}{\partial x} + \nu \nabla^2 \bar{u} - \left(\frac{\partial}{\partial x}(\bar{u}'^2 v) + \frac{\partial}{\partial y}(\bar{u}'\bar{v}') + \frac{\partial}{\partial z}(\bar{u}'\bar{w}') \right), \dots \dots \dots (5)$$

وبالمثل يمكن كتابة المعادلات في اتجاهي y, z على الصورة :

$$\bar{u} \frac{\partial \bar{v}}{\partial x} + \bar{v} \frac{\partial \bar{v}}{\partial y} + \bar{w} \frac{\partial \bar{v}}{\partial z} = -\frac{1}{\rho} \frac{\partial \bar{P}}{\partial x} + \nu \nabla^2 \bar{v} - \left(\frac{\partial}{\partial x}(\bar{u}'\bar{v}') + \frac{\partial}{\partial y}(\bar{v}'^2) + \frac{\partial}{\partial z}(\bar{v}'\bar{w}') \right), \dots \dots \dots (6)$$

$$\bar{u} \frac{\partial \bar{w}}{\partial x} + \bar{v} \frac{\partial \bar{w}}{\partial y} + \bar{w} \frac{\partial \bar{w}}{\partial z} = -\frac{1}{\rho} \frac{\partial \bar{P}}{\partial x} + \nu \nabla^2 \bar{w} - \left(\frac{\partial}{\partial x}(\bar{u}'\bar{w}') + \frac{\partial}{\partial y}(\bar{v}'\bar{w}') + \frac{\partial}{\partial z}(\bar{w}'^2) \right), \dots \dots \dots (7)$$

ومعادلة الاتصال تأخذ الصورة :

المعادلات (8-5) تحتوي على عشرة مجاهيل هي $\bar{u}, \bar{v}, \bar{w}, \bar{P}, \bar{u}^2, \bar{v}^2, \bar{w}^2, \bar{u}'\bar{v}', \bar{u}'\bar{w}', \bar{v}'\bar{w}'$ ولذلك يلزم إضافة معادلات أخرى كي يكون عدد المعادلات مساو لعدد المجاهيل . ويمكن اعتبار فروض مماثلة لفرض قانون نيوتن المعمم لربط بين متوسطات الانحرافات من الرتبة الثانية بتفاضلات السرعة المتوسطة حيث تمثل هذه الانحرافات مضروبة في الكثافة اجهادات جديدة تسمى اجهادات رينولد للحركة الاضطرابية أي أن الإجهاد يكون من جزئيين جزء P^T للحركة الاضطرابية وجزء P^I للحركة الرقائقية (المتوسطة) حيث :

$$\begin{aligned} P_{xx}^T &= -\rho \bar{u}^2 & P_{xy}^T &= -\rho \bar{u} \bar{v}' \\ P_{yy}^T &= -\rho \bar{v}^2 & P_{xz}^T &= -\rho \bar{u} \bar{w}' \\ P_{zz}^T &= -\rho \bar{w}^2 & P_{yz}^T &= -\rho \bar{v} \bar{w}' \end{aligned}$$

ويكون الإجهاد الكامل في الحركة الاضطرابية على الصورة :

$$\begin{aligned}
 P_{xx} &= -\bar{P} + 2\mu \frac{\partial \bar{u}}{\partial x} - \rho \bar{u}'^2 \\
 P_{yy} &= -\bar{P} + 2\mu \frac{\partial \bar{v}}{\partial x} - \rho \bar{w}'^2 \\
 P_{zz} &= -\bar{P} + 2\mu \frac{\partial \bar{w}}{\partial x} - \rho \bar{w}'^2 \\
 P_{xy} &= \mu \left(\frac{\partial \bar{u}}{\partial y} + \frac{\partial \bar{v}}{\partial x} \right) - \rho \bar{u}' \bar{v}' \\
 P_{xz} &= \mu \left(\frac{\partial \bar{w}}{\partial y} + \frac{\partial \bar{u}}{\partial z} \right) - \rho \bar{u}' \bar{w}' \\
 P_{yz} &= \mu \left(\frac{\partial \bar{w}}{\partial y} + \frac{\partial \bar{v}}{\partial z} \right) - \rho \bar{v}' \bar{w}'
 \end{aligned}$$

وبإدخال معامل التزوجة الإضطرابي ε في الفرض الإضافية السابقة يمكن أن تكتب على الصورة

$$\begin{aligned}
 \rho \bar{u}'^2 &= -2\varepsilon \frac{\partial \bar{u}}{\partial x}, \\
 \rho \bar{v}'^2 &= -2\varepsilon \frac{\partial \bar{v}}{\partial y}, \\
 \rho \bar{w}'^2 &= -2\varepsilon \frac{\partial \bar{w}}{\partial z}, \\
 \rho \bar{u}' \bar{v}' &= -\varepsilon \left(\frac{\partial \bar{u}}{\partial y} + \frac{\partial \bar{v}}{\partial x} \right), \\
 \rho \bar{u}' \bar{w}' &= -\varepsilon \left(\frac{\partial \bar{u}}{\partial z} + \frac{\partial \bar{w}}{\partial x} \right), \\
 \rho \bar{v}' \bar{w}' &= -\varepsilon \left(\frac{\partial \bar{v}}{\partial z} + \frac{\partial \bar{w}}{\partial y} \right),
 \end{aligned}$$

وبذلك المعادلات (٥ - ٧) تأخذ الصورة :

$$\begin{aligned}\bar{u} \frac{\partial \bar{u}}{\partial x} + \bar{v} \frac{\partial \bar{u}}{\partial y} + \bar{w} \frac{\partial \bar{u}}{\partial z} &= -\frac{1}{\rho} \frac{\partial \bar{P}}{\partial x} + (\nu + \varepsilon) \nabla^2 \bar{u}, \\ \bar{u} \frac{\partial \bar{v}}{\partial x} + \bar{v} \frac{\partial \bar{v}}{\partial y} + \bar{w} \frac{\partial \bar{v}}{\partial z} &= -\frac{1}{\rho} \frac{\partial \bar{P}}{\partial y} + (\nu + \varepsilon) \nabla^2 \bar{v}, \\ \bar{u} \frac{\partial \bar{w}}{\partial x} + \bar{v} \frac{\partial \bar{w}}{\partial y} + \bar{w} \frac{\partial \bar{w}}{\partial z} &= -\frac{1}{\rho} \frac{\partial \bar{P}}{\partial z} + (\nu + \varepsilon) \nabla^2 \bar{w},\end{aligned}$$

والمعادلات السابقة يطلق عليها معادلات رينولد للحركة الاضطرابية في حالة عندما $\varepsilon = 0$ تؤول إلى معادلات نافير - ستوكس للحركة الطبقية .

معامل الزوجة الاضطرابي ε :

معامل الزوجة الاضطرابي ε يختلف عن معامل الزوجة في الحركة الرقائقية (الطبقية) حيث لا يعتبر مقدارا ثابتا . ويكون مقدارا صغيرا بالقرب من الجدار في حالة الأنابيب ثم يزداد حتى يصل إلى نهاية عظمى في منتصف قطر ثم يقل حتى نهاية صغرى عند محور الأنبوة .

الاجهادات الاضطرابية وتفاضلات متواسطات السرعة :

فرض براندل :

افتراض براندل في حالة السريان في بعد واحد أن العلاقة بين إجهاد القص الإضطرابي وتفاصل السرعة المتوسطة على الصورة :

$$\tau = \rho \chi^2 y^2 \left(\frac{d\bar{u}}{dy} \right)^2, \dots \dots \dots \quad (1)$$

حيث χ مقدار ثابت .

أي أن معامل الزوجة الإضطرابي هو $\rho \chi^2 y^2$ والثابت χ يتعين من التجربة . وبما أن الحركة في بعد واحد وهو السريان بجوار السطح لانهائي وفي هذه الحالة نجد أن $\bar{u} = \bar{u}(y)$ ومعادلة الحركة تصبح :

$$\frac{d\tau}{dy} = 0 \Rightarrow \tau = \tau_o = Const.$$

حيث τ_o الإجهاد على الجدار . بفرض أن :

$$u^* = \sqrt{\frac{\tau_o}{\rho}} \quad , \quad \bar{u} = u^* u^+ \quad , \quad y = \frac{v}{u^*} y^+$$

بالتعمويض في المعادلة (1) نحصل على :

$$\frac{du^+}{dy^+} = \frac{1}{\chi y^+}, \dots \dots \dots \quad (2)$$

$$u^+ = \frac{1}{\chi} \ln y^+ + C_o, \dots \dots \dots \quad (3)$$

نلاحظ انه عندما $y^+ \rightarrow 0$ تكون $u^+ \rightarrow -\infty$ وهذا غير وارد لأن القانون (3) صالح فقط في منطقة تلامس الجدار وعليه لا يجب افتراض وجود الحركة الاضطرابية في هذه المنطقة وبذلك نفترض أن السريان في منطقة قريبة من الجدار رقائق ثم يليه بعد ذلك الطبقة الجدارية الاضطرابية التي يصلح لها القانون اللوغاريتمي وتسمى الطبقة الرقائقية بالطبقة الرقائقية التحتية ($y^* < 5$) وتوزيع السرعة فيها هو توزيع خطي . واقرب مثال يطبق فيه القانون اللوغاريتمي للسرعة هو حركة الهواء فوق سطح الأرض . المنطقة الصغيرة التي ارتفاعها عدة أمتار هي سريان رقائق تحتي وما فوقها بعد ذلك سريان اضطرابي يخضع للتوزيع اللوغاريتمي . وبالنسبة للثوابت فقد وجد أن :

$$\frac{1}{\chi} = 2.5 \quad , \quad C_o = 5.5$$

أي أن :

$$\begin{aligned} u^* &= 2.5 \ln y^+ & y^+ > 30 \\ u^+ &= 5 \ln y^+ - 3.05 & 5 < y^+ < 30 \end{aligned}$$

في حالة السريان في الأنابيب فإن معامل الزوجة الاضطرابي يؤخذ بحيث يتفق مع التوزيع النوني للسرعة .

$$\frac{u}{u_{\max}} = \left(\frac{y}{R}\right)^n$$

حيث R نصف القطر ، y ، $n = \frac{1}{7}$ بعد عن الجدار .

بفرض أن u^* وباستخدام المعادلة (1) نحصل على :

$$\frac{d\bar{u}}{dy} = \frac{u^*}{\chi y}$$

وتكميل هذه المعادلة يعطي :

$$\bar{u} = \frac{u^*}{\chi} \ln y + \ln C_o$$

حيث C_o ثابت . وبوضع في المعادلة (1) فإنها تأخذ الصورة :

$$\frac{du^+}{dy^+} = \frac{1}{\chi y^+}$$

$$u^+ = \frac{1}{\chi} \ln y^+ + C_o$$

المراجع

- ١ - " الهيدروديناميكا و المرونة " - أ.د/ عفاف صبّري .
- ٢ - " ميكانيكا الموائع و تطبيقاتها الهندسية " - د. روبرت ل دوجرتى و جوزيف فرانزينى - دار ماكجروهيل للنشر - م ١٩٨٣ .

-
- 3- Advanced hydrodynamics and fluid dynamics by M. D. Raisinghania and R. S. Aggarwal S Chandand Company LTD , Ram Nagar, New Delhi, 1982.**
 - 4- Viscous fluid dynamics, J. L. Bansal, (1977).**
 - 5- Fluid mechanics, Boher and Kenyon, (1980).**
 - 6- Mechanics of fluid by SHAMES, McGraw-Hill, 2002.**
 - 7- Fluid Mechanics, by Streeter, McGraw-Hill, 1998.**
 - 8- Theory and applications of fluid mechanics by Subramanya, McGraw-Hill, 1993.**
 - 9- Fundament mechanics of fluids, By I. G. Currie,1974**
 - 10- Fluid Dynamics by R. Von Mises.**
 - 11- Fluid Dynamics by Rutherford.**
 - 12- Hydrodynamics by A. S .Ramsey.**
 - 13- Theoretical Hydrodynamics by Melne-Tomson.**
 - 14- Boundary - Layer Theory by Hermann Schlichting.**

تم بحمد الله ،،
مع خالص تمنياتي بالنجاح وال توفيق
د/ رمضان عبد الله محمد